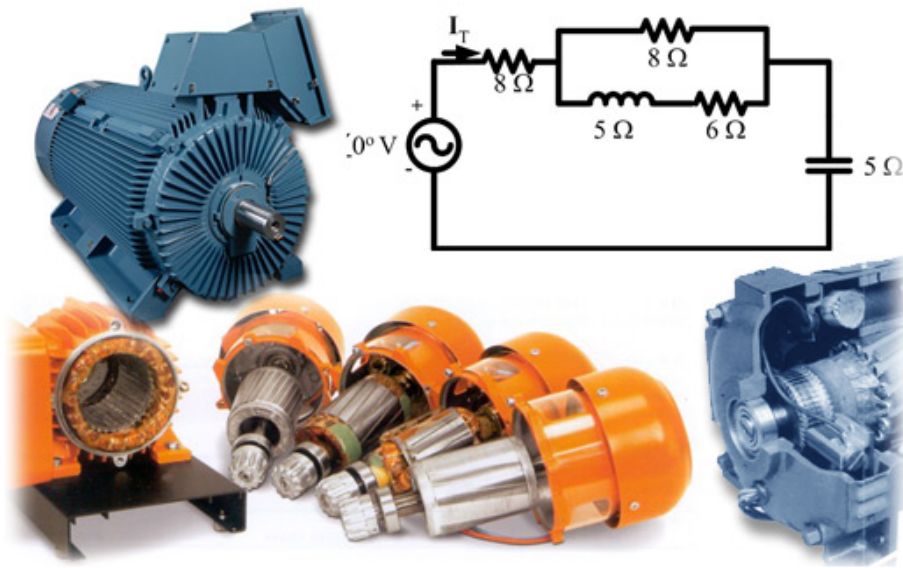




## قوى كهربائية - آلات و معدات كهربائية

### تقنية التحكم الآلي

233 كهر



**مقدمة**

الحمد لله وحده، والصلوة والسلام على من لا نبي بعده، محمد وعلى آله وصحبه، وبعد :

تسعى المؤسسة العامة للتعليم الفني والتدريب المهني لتأهيل الكوادر الوطنية المدرية القادرة على شغل الوظائف التقنية والفنية والمهنية المتوفرة في سوق العمل، ويأتي هذا الاهتمام نتيجة للتوجهات السديدة من لدن قادة هذا الوطن التي تصب في مجملها نحو إيجاد وطن متكامل يعتمد ذاتياً على موارده وعلى قوة شبابه المسلح بالعلم والإيمان من أجل الاستمرار قدماً في دفع عجلة التقدم التنموي؛ لتصل بعون الله تعالى لمصاف الدول المتقدمة صناعياً.

وقد خططت الإدارة العامة لتصميم وتطوير المناهج خطوة إيجابية تتفق مع التجارب الدولية المتقدمة في بناء البرامج التدريبية، وفق أساليب علمية حديثة تحاكي متطلبات سوق العمل بكافة تخصصاته لتلبي متطلباته ، وقد تمثلت هذه الخطوة في مشروع إعداد المعايير المهنية الوطنية الذي يمثل الركيزة الأساسية في بناء البرامج التدريبية، إذ تعتمد المعايير في بنائها على تشكيل لجان تخصصية تمثل سوق العمل والمؤسسة العامة للتعليم الفني والتدريب المهني بحيث تتوافق الرؤية العلمية مع الواقع العملي الذي تفرضه متطلبات سوق العمل، لتخرج هذه اللجان في النهاية بنظرة متكاملة لبرنامج تدريسي أكثر التوافقاً بسوق العمل، وأكثر واقعية في تحقيق متطلباته الأساسية.

وتتناول هذه الحقيقة التدريبية " تقنية التحكم الآلي " لمتدربى قسم "آلات ومعدات كهربائية" للكليات التقنية موضوعات حيوية تتناول كيفية اكتساب المهارات الالزمة لهذا التخصص.

والإدارة العامة لتصميم وتطوير المناهج وهي تضع بين يديك هذه الحقيقة التدريبية تأمل من الله عز وجل أن تسهم بشكل مباشر في تأصيل المهارات الضرورية الالزمة، بأسلوب مبسط يخلو من التعقيد، وبالاستعانة بالتطبيقات والأسئلة التي تدعم عملية اكتساب هذه المهارات.

والله نسأل أن يوفق القائمين على إعدادها والمستفيدون منها لما يحبه ويرضاه، إنه سميع مجيب الدعاء.

## تمهيد

الحمد لله رب العالمين، والصلوة والسلام على سيدنا محمد وآلـه وصحبه، أما بعد ، فهذه حقيقة تعليمية بعنوان: "تقنية التحكم الآلي" نقدمها لأبنائنا متدربي الكليات التقنية التابعة للمؤسسة العامة للتعليم الفني والتدريب المهني، تخصص "تقنية كهربائية".

الهدف من دراسة هذا المقرر تمكين المتدرب من معرفة أساسيات التحكم الآلي ، ونظم التحكم الصناعية وخواصها كما تمكـن المتدرب من تحليل منظومة التحكم ، وتحليل إشارة الخطأ التي تتولد في أنظمة التحكم في حالة استخدام أنواع الحاكمـات.

وقد تم توزيع محتوى المادة العلمية على أربع وحدات تعليمية هي:

الوحدة الأولى بعنوان أساسيات التحكم الآلي وتناول في هذه الوحدة مكونات منظومة التحكم الأساسية ، ونعرض كيفية بناء المخطط الصندوقـي ، نظريات تحويل المخطط الصندوقي ، مخطط تدفق الإشارة ، وتصنيف أنظمة التحكم الآلي.

الوحدة الثانية بعنوان نظم التحكم الصناعية وخواصها ونـتـعـرـفـ فيـ هـذـهـ الـوـحـدـةـ إـلـىـ نـظـريـاتـ تحـوـيلـ لـابـلاـسـ وـلـابـلاـسـ العـكـسـيـ وكـذـلـكـ التـعـرـفـ عـلـىـ طـرـقـ نـمـذـجـةـ الـأـنـظـمـةـ الـمـيكـانـيـكـيـةـ الـأـنـتـقـالـيـةـ وـالـدـورـانـيـةـ كـمـاـ يـتـمـ التـعـرـفـ عـلـىـ الصـمـامـاتـ وـأـنـوـاعـ الـحـاـكـمـاتـ.

الوحدة الثالثة بعنوان تحليل منظومة التحكم ونـتـطـرـقـ فيـ هـذـهـ الـوـحـدـةـ إـلـىـ كـيـفـيـةـ الحصولـ عـلـىـ دـالـةـ التـحـوـيلـ لـلـنـظـامـ وـكـذـلـكـ مـعـرـفـةـ التـحـلـيلـ الزـمـنـيـ لـأـنـظـمـةـ التـحـكـمـ.

الوحدة الرابعة بعنوان منظومة التحكم ذات الدائرة المغلقة ونـتـاـولـ فيـ هـذـهـ الـوـحـدـةـ تـحـلـيلـ إـشـارـةـ الخطـأـ فيـ النـظـامـ المـغـلـقـ باـسـتـخـدـامـ حـاـكـمـاتـ مـخـلـفـةـ.

وقد روعي عند إعداد هذه الحقيقة البساطة في تقديم المادة العلمية بحيث لا نلجأ إلى التحليل الرياضي إلا عند الضرورة ولقد زودت كل الوحدات التعليمية بأمثلة لتسهيل استيعاب المتدرب للمادة العلمية العملية والمفاهيم الأساسية. كما تم وضع أسئلة وتمارين في نهاية كل وحدة تعليمية ليتمكن المتدرب من اختبار ما اكتسبه من جدارـةـ ، وتـغـرسـ فـيـهـ عـادـةـ التـعـلـمـ الذـاتـيـ.



## تقنية التحكم الآلي

### أساسيات التحكم الآلي

## الوحدة الأولى: أساسيات التحكم الآلي

1- 1. مقدمة	1
1- 2. مكونات منظومة التحكم الأساسية	1
1- 3. أمثلة توضيحية لأنظمة التحكم	1
1- 4. المخطط الصنودقي	1
4- 1. المخطط الصنودقي	1
4- 2. كيفية بناء المخطط الصنودقي في أنظمة التحكم	1
4- 3. نظريات تحويل المخطط الصنودقي	1
4- 4. مخطط تدفق الإشارة	1
4- 5. قاعدة ماسون لمخططات التدفق	1
5. تصنیف أنظمة التحكم الآلي	1
5- 1. أنظمة التحكم ذو الدائرة المفتوحة	1
5- 2. أنظمة التحكم ذو الدائرة المغلقة	1
6. مقارنة بين أنظمة التحكم ذات الدائرة المفتوحة والمغلقة	1
6- 1. التحكم ذو التغذية الخلفية (أو المرتدة)	1
6- 2. أنظمة التحكم ذات التغذية الخلفية	1
7. المخطط الصنودقي لنظام التحكم ذو الدائرة المغلقة	1
8. نظام التحكم ذو الدائرة المغلقة والعرض لاضطراب	1
9. تبسيط المخططات الصنوديقية المعقدة	1

تمارين

### الأهداف:

بعد انتهاءك من دراسة هذه الوحدة تكون قادرًا على:

- تعريف تكنولوجيا أنظمة التحكم الآلي.
- ذكر بعض مجالات تطبيق تكنولوجيا أنظمة التحكم الآلي.
- معرفة مكونات منظومة التحكم الأساسية.
- معرفة المخطط الصندوقي ومكوناته
- معرفة كيفية بناء المخطط الصندوقي
- التعرف على نظريات تحويل المخطط الصندوقي
- معرفة مخطط تدفق الاشارة وكذلك معرفة أساسياته.
- التعرف على قواعد مخطط تدفق الاشارة (قاعدة ماسون)
- معرفة تصنيف أنظمة التحكم الآلي والمقارنة بينهما.
- معرفة تبسيط المخططات الصندوقية المعقدة.

## 1-1. مقدمة- Introduction-

نظام التحكم (Control-System) هو عبارة عن عدة عناصر تعمل معاً لتشكل وظيفة معينة. أي أنه يمكن القول بأن نظام التحكم عبارة عن مجموعة من المكونات التي تستجيب للإشارة. استجابة هذه المكونات تعطى لأداء الوظيفة المعينة. في معظم الحالات تكون هذه الوظيفة تحكم في متغير طبيعي مثل (السرعة - درجة الحرارة - الإزاحة - الجهد أو الضغط). وتكون الإشارة التي تجعل هذه المكونات تعمل للقيام بالوظائف المطلوبة منها تسمى إشارة التشغيل.

إن للتحكم الآلي دوراً أساسياً في تقدم الهندسة والعلوم الحديثة. وبالإضافة إلى أهمية القصوى في سفن الفضاء وتوجيه الصواريخ والطيران، فإن تطبيقات التحكم الآلي أصبحت جزءاً هاماً ومكملاً ل مختلف الصناعات الهندسية، مثل:

محطات توليد الطاقة الكهربائية وتحلية المياه،

مصافي تكرير النفط،

مصنع تعبئة قارورات الغاز،

مصنع تعبئة المواد الغذائية،

صناعة السيارات،

مصنع الإسمنت،

الملاحة الجوية والبحرية

التطبيقات العسكرية...

كما أن لنظم التحكم دوراً كبيراً في أنظمة القوى الكهربائية والتي تعتبر من أكبر الأنظمة الصناعية التي صنعها الإنسان، فالتحكم في الشبكات والآلات والأعمال يعتبر عاملًا أساسياً لضمان تشغيل هذه الأنظمة التشغيل الاقتصادي والأمثال. ومن الأمثلة لتطبيقات نظم التحكم في مجال الكهرباء :

التبريد والتكييف،

التدفئة الأفران،

الفسالات والنشافات....

ولقد أصبحت مفاهيم التحكم الآلي التي كانت حكراً على التقنيين والمهندسين، تستخدم في شتى مجالات المعرفة مثل علوم الأحياء والاقتصاد والاجتماع والتربية فضلاً عن أنظمة النقل

Urban Planning) والتخطيط العمراني (Transportation Systems). ومن الجدير بالذكر أن التطور الكبير الذي نشهده حالياً في تكنولوجيا الحاسوبات الإلكترونية (Computers) والإنسان الآلي (Robot) له أثر كبير على تزايد تطبيقات أنظمة التحكم المتقدمة في كثير من المجالات.

## ١-٢. مكونات منظومة التحكم الأساسية (Common Control System's Components)

الدخل (Input): هو المتغير الذي يعطى إلى النظام بقصد التحكم فيه أو تغيير حالته.

الخرج (Output): هو الكمية أو المتغير المراد التحكم فيه والذي يتاثر بتغير الدخل.

الخطأ (Error): هو عبارة عن كمية الفرق بين إشارة الدخل (Input) وإشارة الخرج (Output). ويسمى كذلك بعنصر المقارنة لأنّه يقوم بمقارنة الإشارتين السابقتين.

المرجع (Reference): هي إشارة خارجية تطبق على نظام التحكم وذلك لغرض اختبار النظام المتحكم فيه ووصوله إلى هذه الإشارة.

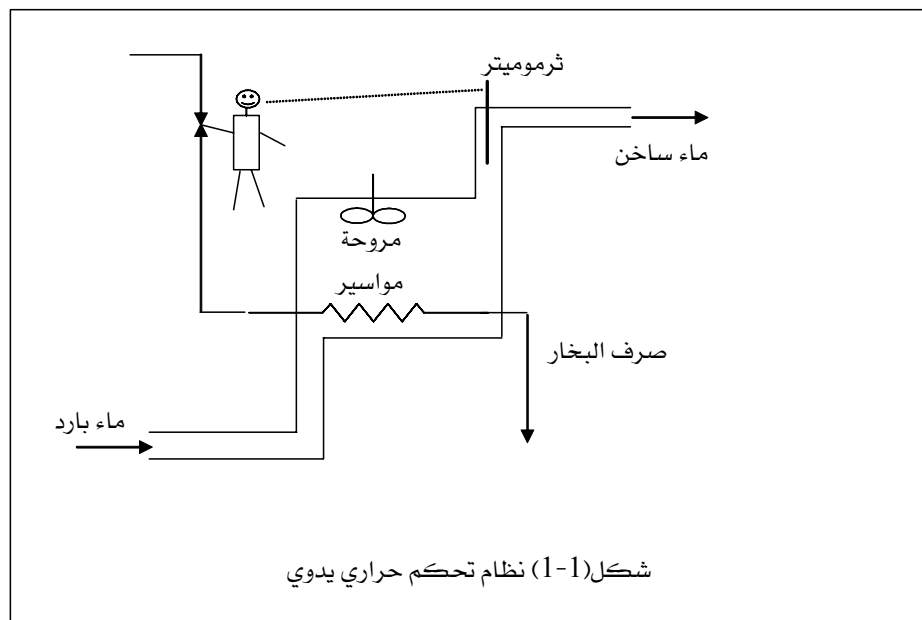
## ١-٣. أمثلة توضيحية لأنظمة التحكم Illustrative Examples of Control Systems

فيما يلي نعطي وصفاً مبسطاً لبعض أنظمة التحكم بهدف توضيح فكرة التحكم ذو التغذية الخلفية:

### مثال (١ - ١) التحكم اليدوي لنظام حراري:

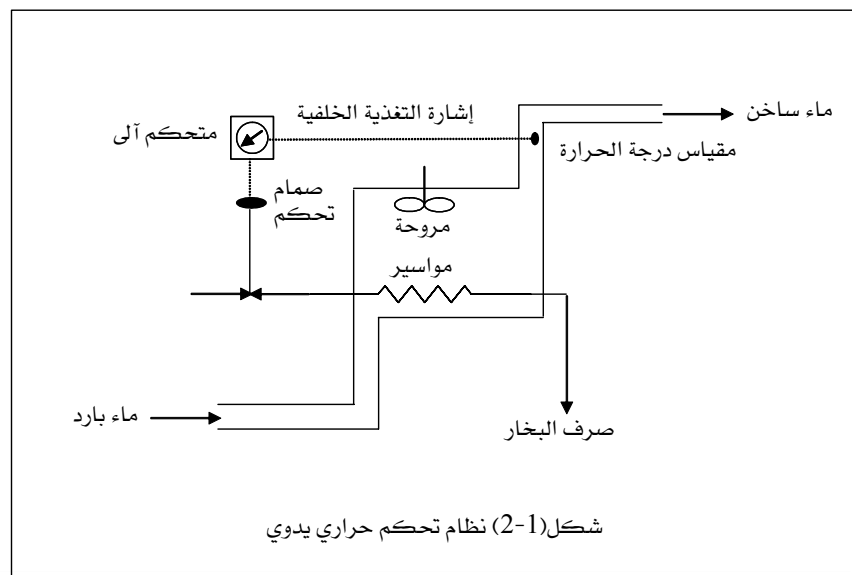
شكل (١ - ١) يبين نظام تحكم يدوياً ذو تغذية خلفية للتحكم في درجة حرارة نظام حراري عبارة عن عملية تسخين مياه عن طريق إمدادها في وعاء يحتوي على مواسير يمر بها بخار ماء ساخن بدرجة حرارة عالية حيث يتم في هذا الوعاء عملية تبادل حراري بين البخار الساخن والمياه الباردة فترتفع درجة حرارة المياه. وتستخدم المروحة المبينة في الشكل لتقليل المياه داخل الوعاء لرفع كفاءة التبادل الحراري وضمان توزيع درجة الحرارة بانتظام خلال المياه.

ويتم قياس درجة حرارة المياه عن طريق الترمومتر ويقوم الإنسان بمراقبة درجة الحرارة ومقارنتها بدرجة الحرارة المطلوبة. فإذا وجد أن درجة الحرارة المقاسة (خرج نظام التحكم) أقل من المطلوب يقوم بزيادة فتحة صمام البخار ليسمح بمرور كمية أكبر من البخار الساخن



وبذلك ترتفع درجة حرارة المياه . وإذا لوحظ أن درجة حرارة المياه أكثر من اللازم يقوم بتنقیل فتحة صمام البخار. وبذلك يتم التحكم هنا عن طريق الإنسان ولهذا يسمى تحكم يدوي.

### مثال (1-2) التحكم الآلي للنظام الحراري:

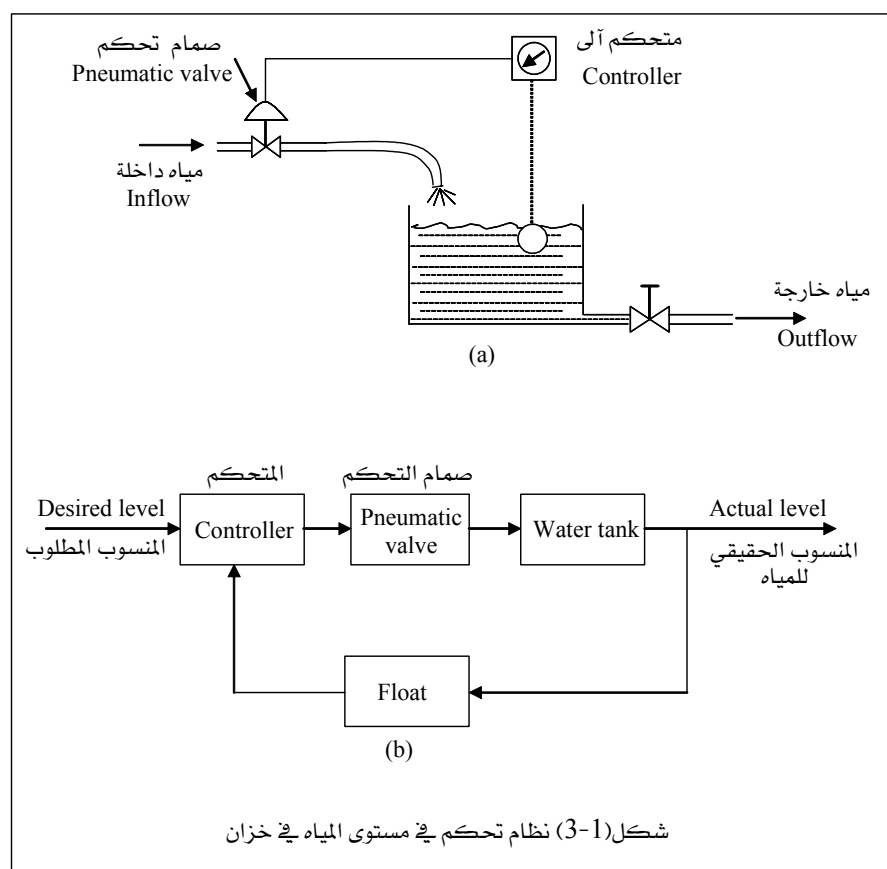


حيث تم هنا استخدام آلات للقيام بعمليات التحكم بدلاً من الإنسان كما هو موضح في الشكل رقم (1-2). والمطلوب من الآلات هنا تحديد درجة حرارة المياه . ومقارنتها بدرجة الحرارة المطلوبة وإذا وجد أي خلاف يقوم المتحكم الآلي بتحريك صمام البخار لإعادة ضبط درجة الحرارة إلى القيمة المطلوبة.

ويلاحظ أن مقياس الحرارة هنا يختلف عن الترمومتر العادي الذي يبين درجة الحرارة ويمكن معرفتها بالنظر. ففي التحكم الآلي تفاصي درجة الحرارة وتحول إلى إشارة يمكن مقارنتها بالدخل المقارن ( وهو درجة الحرارة المطلوبة ). ويمكن أن يتم ذلك عن طريق تحويل درجات الحرارة المقاومة والمطلوبة إلى فروق جهد يمكن مقارنتها مباشرة والفرق بينهما يمكن استخدامه بواسطة المتحكم للتحكم في فتحة صمام البخار عن طريق محرك كهربائي مثلا.

### مثال (1-3) نظام تحكم في مستوى المياه في خزان:

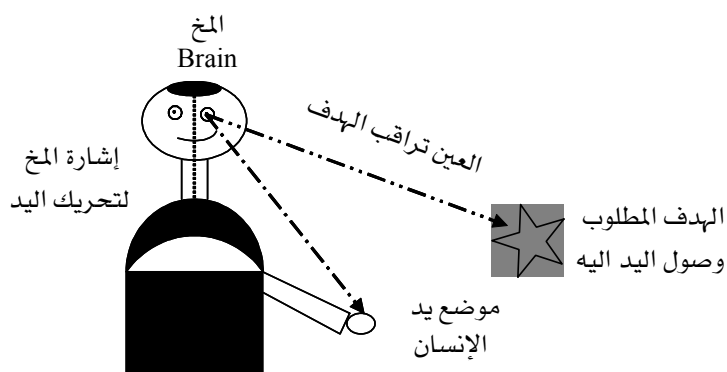
كما هو مبين بالشكل (1-3) يتم قياس منسوب المياه (خرج النظام) عن طريق عوامة ويقوم المتحكم بمقارنه المنسوب الحقيقي للمياه بالمنسوب المطلوب (الدخل المقارن) وفي حالة وجود أي خزان يتم فتح صمام التحكم في دخول المياه. وإذا كان لدينا ارتفاع معين للماء في الخزان وأن كمية المياه الخارجة للمستهلكين متساوية لكمية المياه الداخلة فإن النظام يكون مستقر في هذه الحالة. وإذا حدث تغير في كمية المياه الخارجة مثلاً (اضطراب خارجي) يتغير ارتفاع منسوب المياه في الخزان وعليه يتغير وضع العوامة وبذلك يعمل المتحكم على تغيير فتحة صمام التحكم في المياه الداخلة لإعادة ضبط ارتفاع المياه في الخزان.



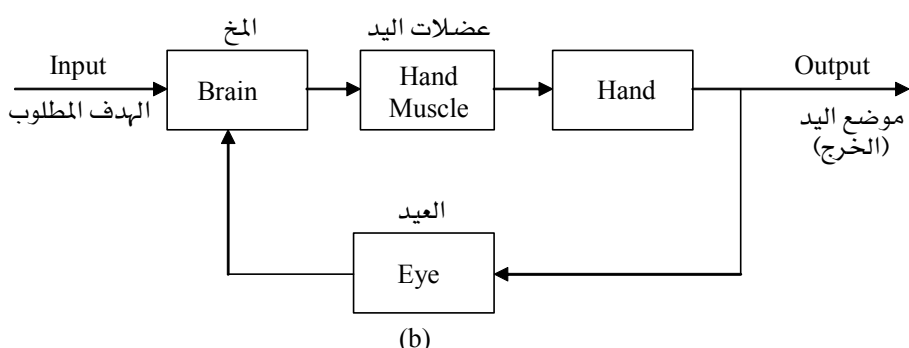
الشكل (1-3ب) يبين رسمًا تخطيطيًّا لنظام التحكم في منسوب المياه المبين في الشكل (1-3). وهذا النظام ذو التغذية الخلفية يمثل كل جزء منه بصندوق وبين خطوط التوصيل والأسهم مسارات إشارات التحكم والدخل والخرج والتغذية الخلفية.

#### مثال (1-4) نظام تحكم بيولوجي (تحكم طبيعي في جسم الإنسان):

يبين هذا النظام في الشكل (1-4) والمطلوب فيه هو وصول اليد إلى التقاط شيء معين (هدف) يتم تحديد مكان الهدف في المخ ويقوم المخ بإرسال إشارات تحكم إلى اليد والعضلات حيث تقوم العضلات بتكبير إشارات التحكم وتتحرك اليد للوصول للهدف حيث تراقب العين حركة اليد وتغذى هذه المعلومة إلى المخ الذي يتم فيه مقارنة الخرج (وهو موضع اليد) بالدخل (وهو الهدف المطلوب الوصول إليه) وفي حالة وجود فرق بين الدخل والخرج يرسل المخ إشارات تحكم لليد عن طريق العضلات وتستمر هذه الحركة حتى يتم الوصول إلى الهدف. ويبين الشكل (1-4ب) رسم تخططيٍّ لهذا النظام.



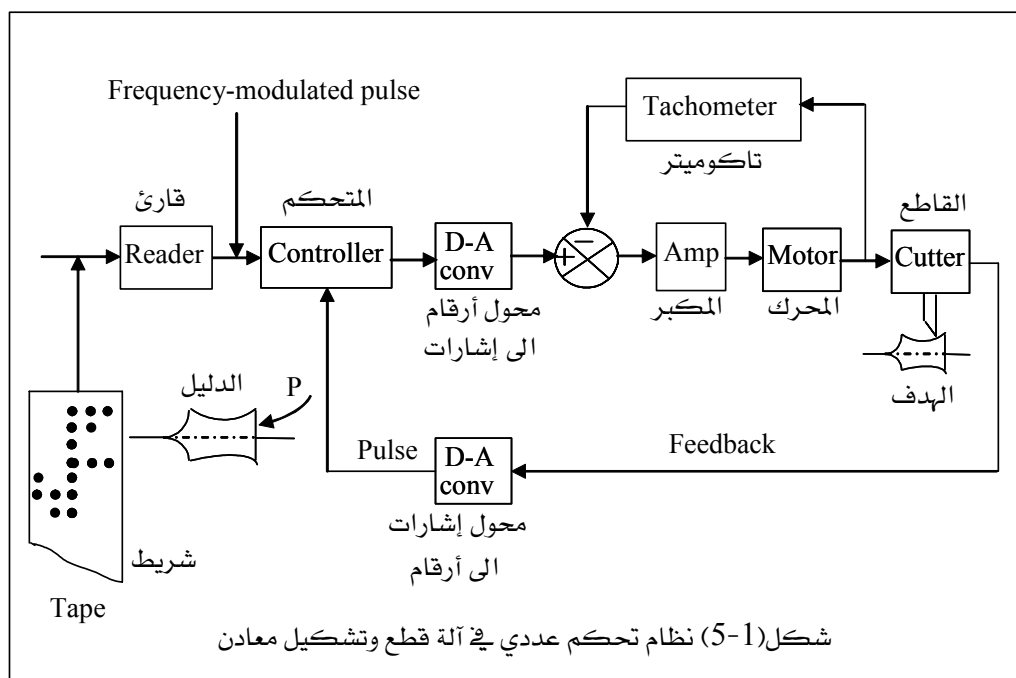
شكل(1-4أ) نظام تحكم طبيعي في جسم الإنسان



شكل(1-4) رسم تخططيٍّ لنظام تحكم طبيعي في جسم الإنسان

### مثال (1-5) نظام تحكم في آلة قطع وتشكيل معادن:

يبين الشكل (1-5) التحكم العددي (Numerical Control) في آلة قطع وتشكيل معادن وهو طريقة للتحكم في حركة أجزاء الماكينات باستخدام الأعداد (Numbers). ويتم التحكم في حركة رأس القطع عن طريق بيانات (أعداد ثنائية) محفوظة على شريط. وبعد إعداد الشريط ليمثل الشكل المطلوب لمعدن يغذي هذا الشريط إلى القارئ (Reader). يقوم نظام التحكم بمقارنة هذا الدخل المطلوب بإشارة التغذية الخلفية الممثلة للموضع الحقيقي لرأس القطع. ويقوم المتحكم بإجراء حسابات خاصة على الفرق بين الخرج والدخل (والمقصود بالخرج هنا هو موضع رأس القطع) ثم يرسل المتحكم إشاراته بعد تكبيرها إلى المحرك الذي يقوم بدوره بتحريك رأس القطع.



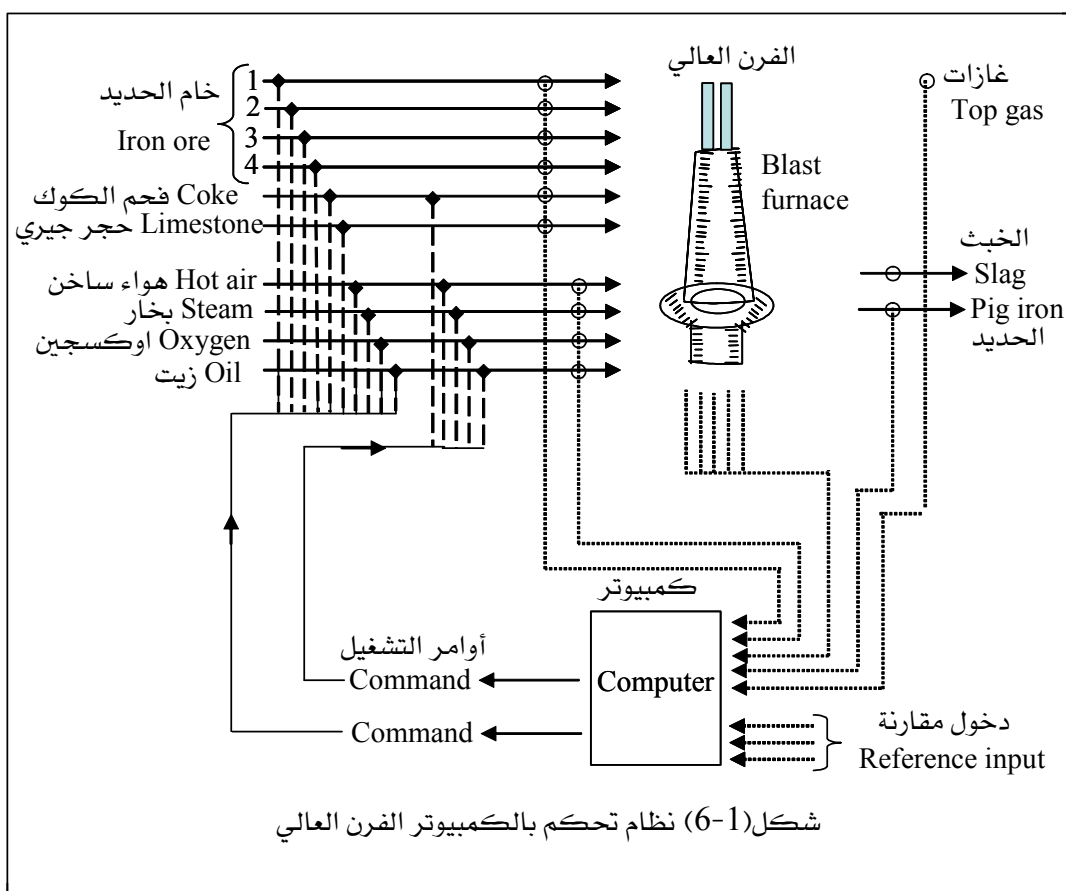
ونظرا لأن المتحكم هنا عددي فإن إشارات التغذية الخلفية تحول أولاً إلى أعداد قبل تغذيتها إلى المتحكم وذلك عن طريق (Analog to Digital Converter) وخرج المتحكم العددي يحول كذلك إلى إشارات عن طريق جهاز (Digital to Analog Converter) ويلاحظ في هذا الرسم وجود خط تغذية خلفية داخلي لمتحكم في سرعة دوران المحرك. ويتميز هذا النوع من التحكم العددي بأن الأجزاء المعقدة يمكن إنتاجها وتشكيلها بمواصفات دقة موحدة وبأعلى سرعة لماكينات القطع.

**مثال (1-6) نظام التحكم في إشارات المرور:**

التحكم في مرور السيارات بالشوارع عن طريق إشارات المرور التي تعمل على أساس توقيت زمن محدد يعتبر نظام تحكم ذو دائرة مفتوحة. أما إذا تم تحديد عدد السيارات التي تنتظر عند الإشارات وتغذية هذه المعلومات إلى كمبيوتر تحكم مركزي فإنه يمكن تنظيم حركة المرور بطريقة أفضل وذلك بتغيير زمن فتح و إغلاق الإشارات عن طريق إشارات تحكم تأتي من مركز التحكم.

**مثال (1-7) نظام تحكم بالكمبيوتر الفرن العالي:**

يُبين الشكل (1-6) رسمًا تخطيطياً لنظام تحكم بالكمبيوتر الفرن العالي. ويُعتبر الفرن العالي (blast furnace) منشأ ضخم يصل ارتفاعه إلى 35 متراً ويصل إنتاج الأفران الحديثة من الحديد لأكثر من 4000 طن في اليوم ونظرًا لطبيعة هذه الصناعة فإن تشغيل الفرن يكون مستمراً لأوقات طويلة (عدة سنوات).



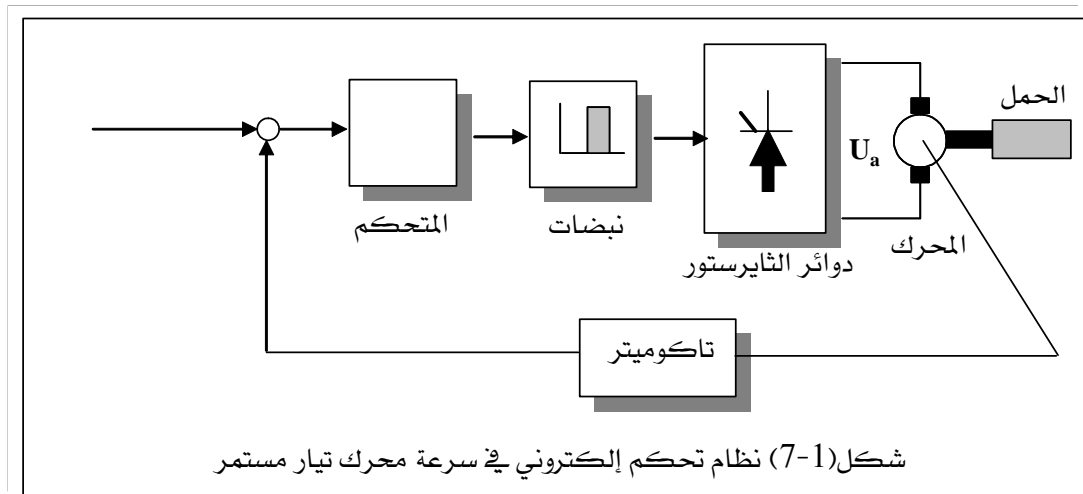
شكل(1-6) نظام تحكم بالكمبيوتر الفرن العالي

تعتمد نظرية عمل هذا النظام على تعبئة المكونات الأساسية (الحديد الخام والحجر الجيري وفحم الكوك) من أعلى الفرن بكميات ونسب محددة. كذلك يسخن الهواء ويدفع إلى الفرن وتنتج الحرارة في الفرن بحرق فحم الكوك حيث ينتج عنه غاز أول أكسيد الكربون. ولكن هذا الغاز وكذلك فحم

الكوك يعملان على تقليل عملية انصهار الحديد الخام بينما يعمل الحجر الجيري كمساعد للنصهر ويقوم بإزالة الخبث والشوائب ويتجمع الحديد المنصهر في قاع الفرن بينما يتجمع الخبث السائل على السطح. ويتم تصريف الحديد المنصهر والخبث السائل بصفة دورية من فتحات خاصة ونظراً لأن تواجد الكربون والمنجنيز والسلبيكون والكبريت والفسفور وخلافه يعتمد على نسب ومكونات الحديد الخام والفحm والجير المستخدم، فإنه من الصعب جداً على الإنسان أن يقوم بالتحكم في هذه العملية الصناعية الكيميائية المعقدة. لذلك فإنه في مثل هذه الحالات يستخدم الكمبيوتر للتحكم حيث يتم تجميع البيانات والمعلومات عن تركيبة الحديد الناتج والخبث والغازات الأخرى ودرجة الحرارة والضغط داخل الفرن. بالإضافة إلى مكونات ونسب الحديد الخام وفحm الكوك والحجر الجيري. وتغذى هذه البيانات والمعلومات إلى الكمبيوتر عند فترة زمنية محددة. ويقوم الكمبيوتر من خلال برامج التحكم المخزنة فيه بتحديد النسب المثلث لمكونات أو كميات المواد الخام التي تدخل إلى الفرن لإنتاج نوعية معينة من الحديد. وبالتالي يمكن التشغيل المستقر للفرن بحالة مرضية.

#### مثال (1) - 8) نظام تحكم إلكتروني في سرعة محرك تيار مستمر:

يبين الشكل (1 - 7) رسمًا مبسطًا لنظام تحكم إلكتروني في سرعة محرك تيار مستمر يدير حمل ميكانيكي. ويقوم المتحكم بإنتاج نبضات Pulses بتوقيتات معينة لإشعال دوائر الثايرستور التي تقوم بدورها بإنتاج جهد موحد  $U_a$  متحكم - هذا الجهد ناتج من توحيد التيار المتعدد ثلاثي الطور عن طريق دوائر الثايرستور. ويتم قياس سرعة المحرك بواسطة مولد صغير (تاكوميتر) يولّد جهد يتناسب مع السرعة ويتم مقارنة هذا الجهد بالدخل المقارن وهو عبارة عن جهد أيضًا يتتناسب مع السرعة المطلوبة، والفرق بين الجهدتين يغذي المتحكم.



#### 4-1. المخطط الصندوقي (Block Diagram) ومخيط السريان (Flow Graph) :

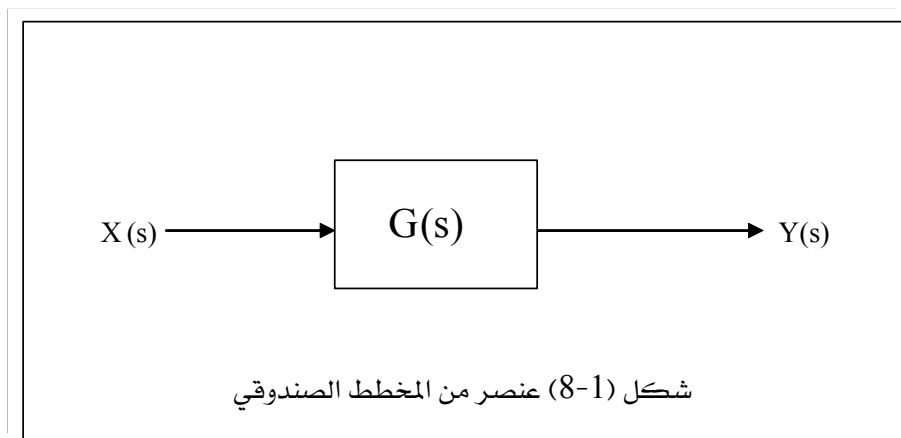
**المخطط الصندوقي:** تتكون أنظمة التحكم من عدة مكونات مرتبطة بعضها وتوضيح وظيفة كل من هذه المكونات وسريان الإشارات المختلفة بالإضافة إلى العلاقة بين المكونات وبعضها، فإن رسم معين يستخدم لذلك. هذا الرسم يسمى المخطط الصندوقي.

وعند رسم المخطط الصندوقي يتم استخدام صناديق كل صندوق يرمز لعملية رياضية تجري.

##### 4-1-1. المخطط الصندوقي (Block Diagram)

ت تكون أنظمة التحكم من عدة مكونات elements مرتبطة بعضها وتوضيح وظيفة كل من هذه المكونات وسريان الإشارات المختلفة بالإضافة إلى العلاقة بين المكونات وبعضها فإن رسم معين يستخدم لذلك . هذا الرسم يسمى المخطط الصندوقي Block diagram.

وعند رسم المخطط الصندوقي يتم استخدام صناديق blocks كل صندوق يرمز لعملية رياضية تجري على إشارة الدخول input signal لإنتاج إشارة الخرج output signal وعادة تكتب دالة التحويل transfer function داخل كل صندوق وترسم أسمهم لبيان سريان الإشارات المختلفة . هذا مع الأخذ في الاعتبار أن اتجاه سريان الإشارات يكون فقط في اتجاه الأسهم وليس العكس. والشكل (1-8) يبين عنصر من عناصر المخطط الصندوقي مع ملاحظة أن السهم المتجه إلى الصندوق يبين إشارة الدخول أما السهم الخارج من الصندوق فإنه يبين إشارة الخرج لهذا العنصر.



حيث أن:

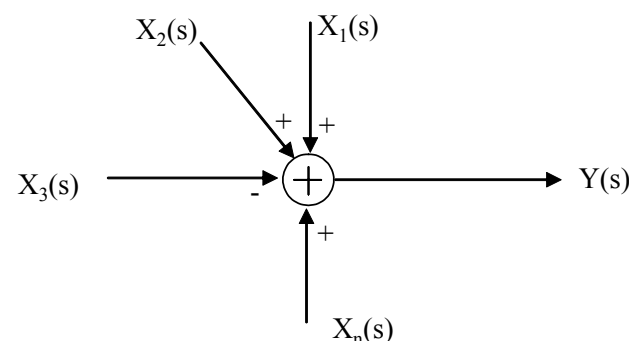
$$Y(s) = G(s)X(s)$$

$$G(s) = \frac{Y(s)}{X(s)}$$

وتتميز طريقة استخدام المخطط الصندوقي لتمثيل أنظمة التحكم بأنه يمكن الحصول على الرسم التخطيطي الكامل لنظام التحكم بتوصيل الصناديق الممثلة للمكونات حسب سريان إشارات التحكم . وكذلك فإنه يمكن تحديد ومعرفة تأثير كل جزء على خصائص نظام التحكم الكلي. وبصفة عامة فإنه قد يكون من الأسهل متابعة طريقة عمل نظام التحكم بفحص المخطط الصندوقي للنظام بدلاً من فحص النظام الحقيقي نفسه . ويحتوي الرسم التخطيطي للمخطط الصندوقي على سلوك الديناميكي للأنظمة وليس على تركيبها الطبيعي. ويجب ملاحظة أن المنبع الرئيسي للطاقة لا يظهر بطريقة واضحة في المخطط الصندوقي لنظام التحكم وكذلك فإن الرسم التخطيطي للمخطط الصندوقي لنظام معين يمكن أن يختلف حسب طريقة تحليل النظام.

## أ - عنصر التجميع Summing Element

عنصر التجميع أو نقطة التجميع هو عنصر الإشارة الخارجية من هي عبارة عن المجموع الجبري للإشارات الداخلة له كل حسب نوع إشارته (موجبة أو سالبة ) كما هو مبين في الشكل ( 1 - 9).



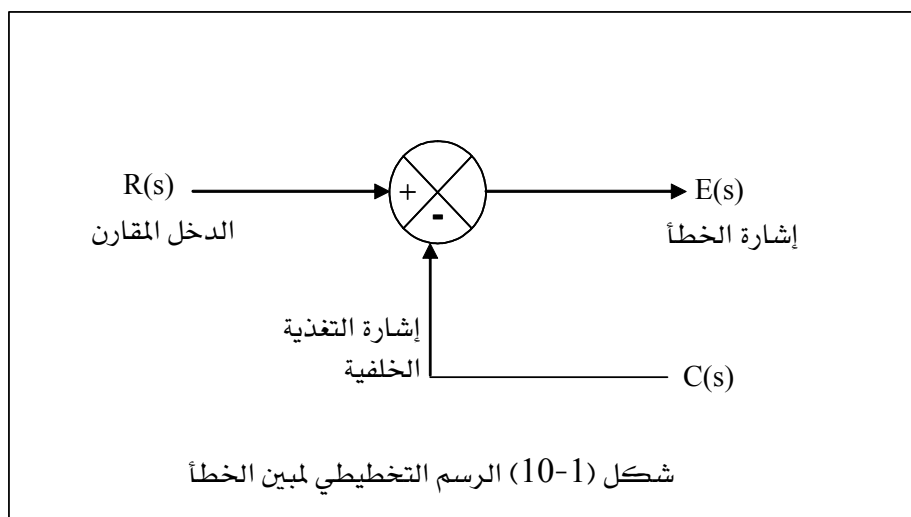
شكل (1-9) عنصر التجميع

أي أن:

$$Y(s) = X_1(s) + X_2(s) - X_3(s) + \dots + X_n(s)$$

**ب - مبين الخطأ Error Detector**

مبين أو كاشف الخطأ ينتج إشارة هي عبارة عن الفرق بين إشارة الدخل  $R(s)$  وإشارة التغذية الخلفية  $C(s)$ . ويسمى مبين الخطأ أيضاً بعنصر المقارنة comparing element لأنّه يقوم بمقارنة نفس الإشارتين السابقتين ويكون خرج عنصر المقارنة هو الفرق بين الإشارتين المذكورتين كما هو موضح بالشكل (1-10).

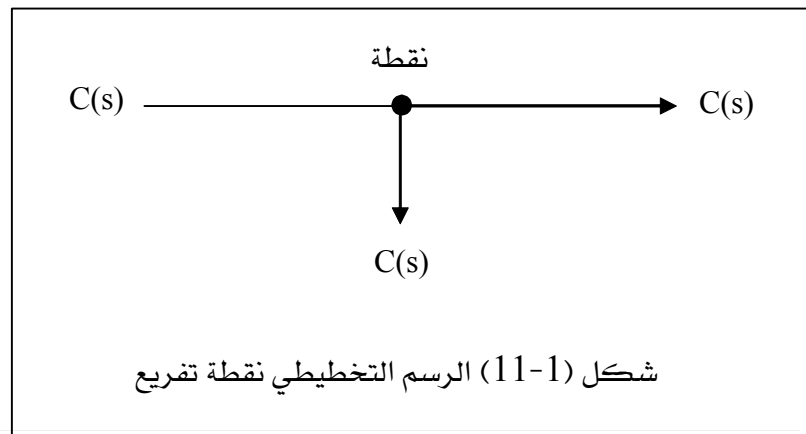


وبذلك تكون إشارة الخطأ هي:

$$E(s) = R(s) - C(s) \quad (3-3)$$

**ج - نقطة التفريع Branch point**

نقطة التفريع هي نقطة يتم عندها تفريع الإشارة  $C(s)$  إلى فرعين بحيث أن الفرع الإضافي يكون من نفس نوع الإشارة وله نفس الكميات والوحدات كما هو مبين بالشكل (1-11). ويمكن خروج أكثر من فرع للإشارة من نفس نقطة التفريع.



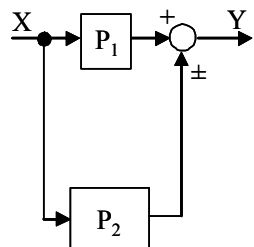
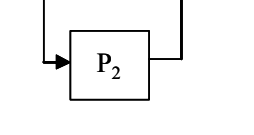
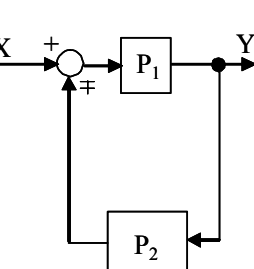
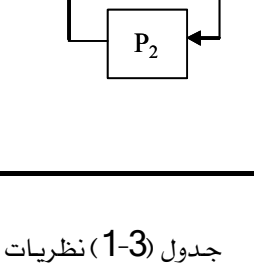
### • كيفية بناء المخطط الصندوقي في أنظمة التحكم Construction of Block Diagram

تتكون أنظمة التحكم من مجموعة مكونات أو أجزاء مرتبطة بعضها للقيام بوظيفة معينة. وهناك عدة خطوات يجب أن تتبع لرسم المخطط الصندوقي كالتالي:

- يتم كتابة المعادلات التفاضلية أو الجبرية التي تصف أجزاء النظام كل جزء على حده.
- يتم إجراء التحويل اللابلاسي لهذه المعادلات مع الأخذ في الاعتبار أن جميع القيم الابتدائية تكون صفر.
- يتم إيجاد دالة التحويل التي تصف كل جزء من أجزاء النظام .
- يتم رسم صندوق ليمثل كل جزء مع كتابة دالة التحويل الخاصة به بداخله مع بيان إشارات الدخول والخرج لكل صندوق .
- يتم تجميع هذه الصناديق عن طريق توصيلها مع بعضها بأسهم لبيان إشارات الدخول والخرج لجميع الأجزاء للحصول على الرسم التخطيطي النهائي للنظام .

### • نظريات تحويل المخطط الصندوقي Block Diagram Transformation Theorems

في المخططات الصندوقية لأنظمة التحكم الكبيرة تحتاج إلى بعض التحويلات التي تخضع لقواعد معينة. هذه القواعد مبينة بالتفصيل في الجدول ( 3 - 1 ) حيث يبين الرسم التخطيطي الأصلي والمكافئ له في كل حالة . ويلاحظ أن الحرف  $P$  مستخدم لتمثيل الدالة الانتقالية و الأحرف  $H,X,Y,Z$  ترمز إلى أي إشارات دالة في المتغير  $S$ .

Transformation		Equation	Block Diagram	Equivalent Block Diagram
1	Combining Blocks in Cascade	$Y = (P_1 P_2)X$	$X \rightarrow P_1 \rightarrow P_2 \rightarrow Y$	$X \rightarrow P_1 P_2 \rightarrow Y$
2	Combining Blocks In parallel; or Eliminating a Forward Loop	$Y = P_1 X \pm P_2 X$		$X \rightarrow P_1 \pm P_2 \rightarrow Y$
3	Removing a block From a Forward Path	$Y = P_1 X \pm P_2 X$		$X \rightarrow P_2 \rightarrow \frac{P_1}{P_2} \rightarrow Y$
4	Eliminating a Feedback loop	$Y = P_1(X \mp P_2 Y)$		$X \rightarrow \frac{P_1}{1 \pm P_1 P_2} \rightarrow Y$
5	Removing a Block From a Feedback Loop	$Y = P_1(X \mp P_2 Y)$		$X \rightarrow \frac{1}{P_2} \rightarrow P_1 P_2 \rightarrow Y$

جدول (3-1) نظريات تحويل المخطط الصندوقى

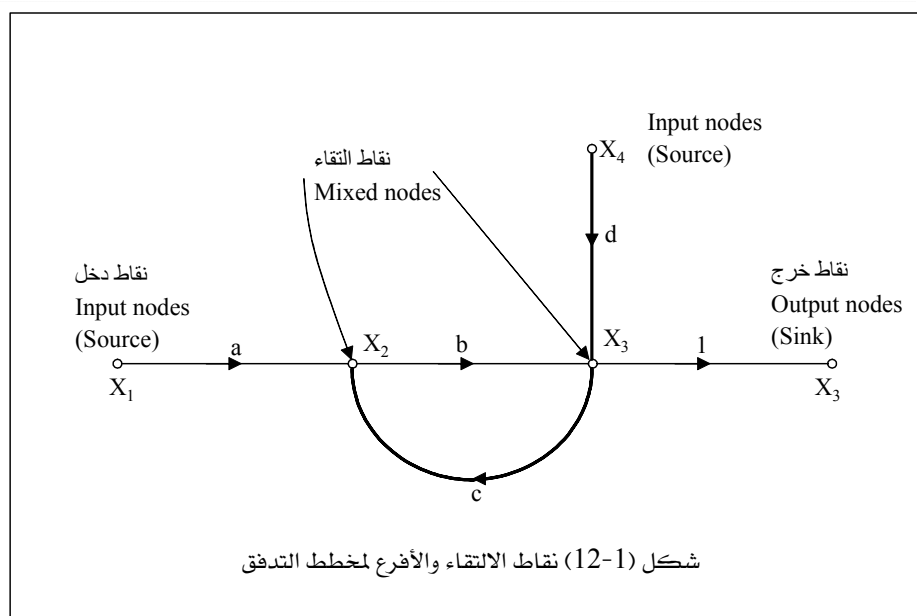
Transformation		Equation	Block Diagram	Equivalent Block Diagram
6a	Rearranging Summing Points	$Z = W \pm X \pm Y$		
6b	Rearranging Summing Points	$Z = W \pm X \pm Y$		
7	Moving a Summing Point Ahead of a Block	$Z = PX \pm Y$		
8	Moving a Summing Point Beyond of a Block	$Z = P(X \pm Y)$		
9	Moving a Takeoff Point Ahead of a Block	$Y = PX$		
10	Moving a Takeoff Point Beyond a Block	$Y = PX$		
11	Moving a Takeoff Point Ahead of a Summing point	$Z = X \pm Y$		
12	Moving a Takeoff Point Beyond a Summing point	$Z = X \pm Y$		

## • مخطط تدفق الإشارة Signal Flow Graph

كما سبق فإن المخطط الصندوقي يكون مفيدا في التمثيل بالرسم لأنظمة التحكم. وفي بعض أنظمة التحكم المعقدة جدا حيث تكون طريقة اختصار أو تبسيط المخطط الصندوقي تأخذ من الوقت كثيرا هناك طريقة أخرى لإيجاد العلاقة بين الدخل والخرج ومتغيرات النظام المعقد تسمى مخطط تدفق الإشارة.

### أ - أساسيات مخطط تدفق الإشارة Fundamental of Signal Flow Graph

يعرف مخطط تدفق الإشارة بأنه الرسم التخطيطي الذي يمثل مجموعة من المعادلات الجبرية الخطية والتي يجب عند تطبيق هذه الطريقة على أنظمة التحكم أولا تحويل المعادلات التفاضلية الخطية إلى معادلات جبرية . ويكون مخطط التدفق من عدة نقاط التقاء متصلة بواسطة عدة أفرع وكل نقطة اتصال تمثل متغير من متغيرات النظام وكل فرع متصل بين نقطتي التقاء يعتبر كإشارة بالإضافة إلى نقطة دخل وأخرى الخرج. كما هو مبين بالشكل(1-12).

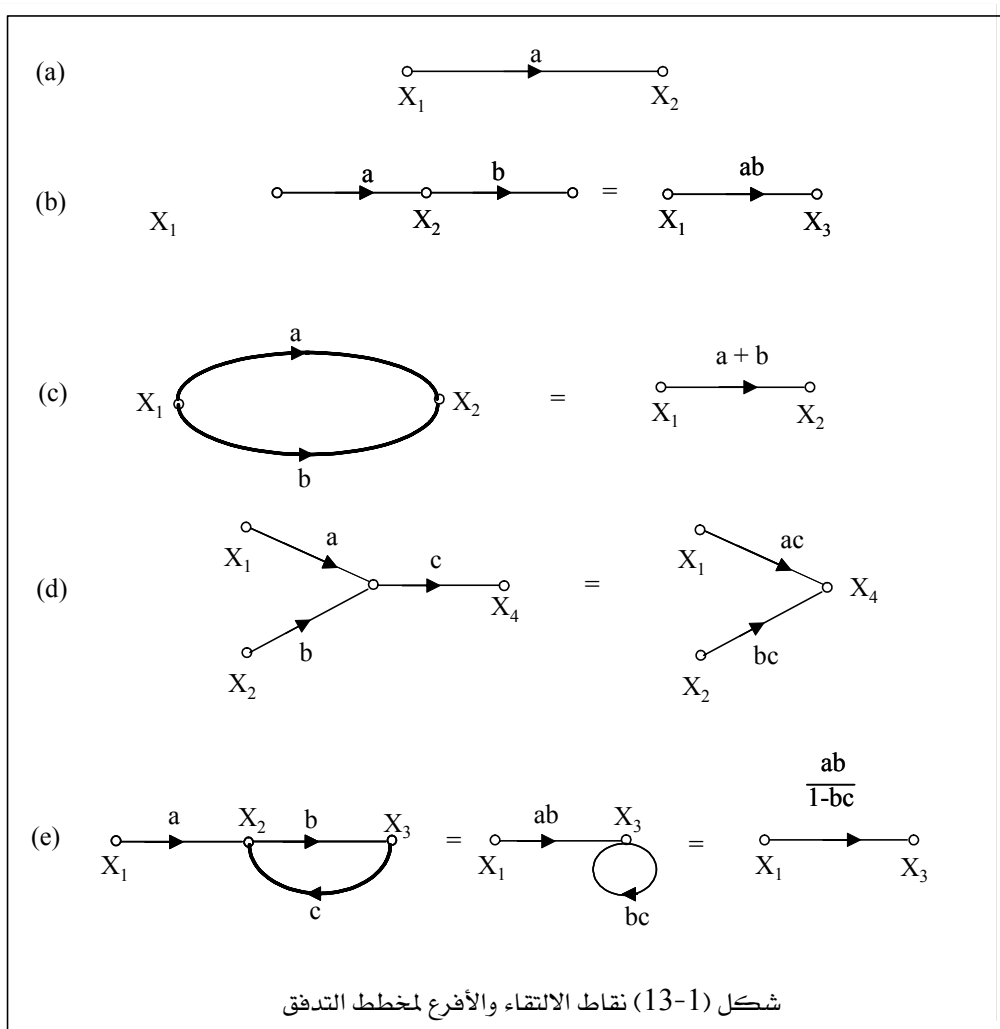


ويلاحظ أن مخطط التدفق لابد أن يكون في اتجاه واحد ويحدد اتجاه سريان الإشارة بأسهم توضع على الأفرع في منتصفها وليس في أولها. أما معامل ضرب الإشارة فيبين على الفرع نفسه. وعلى ذلك فإن مخطط تدفق الإشارة يوضح عن طريق الرسم سريان أو تدفق الإشارات من نقطة معينة في النظام إلى نقطة أخرى لكي يعطى العلاقات المختلفة بين الإشارات. ويمكن القول بأن مخطط التدفق للإشارات يحتوى على نفس المعلومات التي يحتوى عليها المخطط الصندوقي ولكن الميزة في استخدام مخطط

التدفق لتمثيل أنظمة التحكم هو أن هناك صيغة كسب تسمى قاعدة ماسون Masons rule التي يمكن تطبيقها للحصول على العلاقة بين متغيرات النظام والخرج والدخل دون الحاجة إلى تبسيط أو اختصار المخطط.

### ب - قواعد مخطط تدفق الإشارة Basics of Signal Flow Graph

لإيجاد العلاقة بين الدخل والخرج لنظام تحكم عن طريق مخطط التدفق فإن قاعدة ماسون من أسهل الطرق التي تستخدم لذلك. أو استخدام عملية الاختصار لمخطط التدفق الكبير إلى مخطط تدفق آخر يحتوي فقط على نقطة التقائه واحدة للدخل وأخرى للخرج. وفيما يلي سوف نعرض القواعد المستخدمة لذلك كما هو مبين بالشكل (13-1).



وبدراسة الشكل (13-1) نجد الآتي:

1 - قيمة نقطة الخرج  $X_2$  والمبينة بالشكل (13-1) تساوي  $aX_1$

2 - مجموع الإشارات الخاصة بالأفرع المتصلة على التوالي تساوي حاصل ضربهم كما في **شكل (b13-1)**.

3 - مجموع الإشارات الخاصة بالأفرع المتصلة على التوازي تساوي مجموعهم كما في **شكل (c13-1)**

4 - نقطة الالتقاء يمكن أن تزدف كما في **شكل (d13-1)**

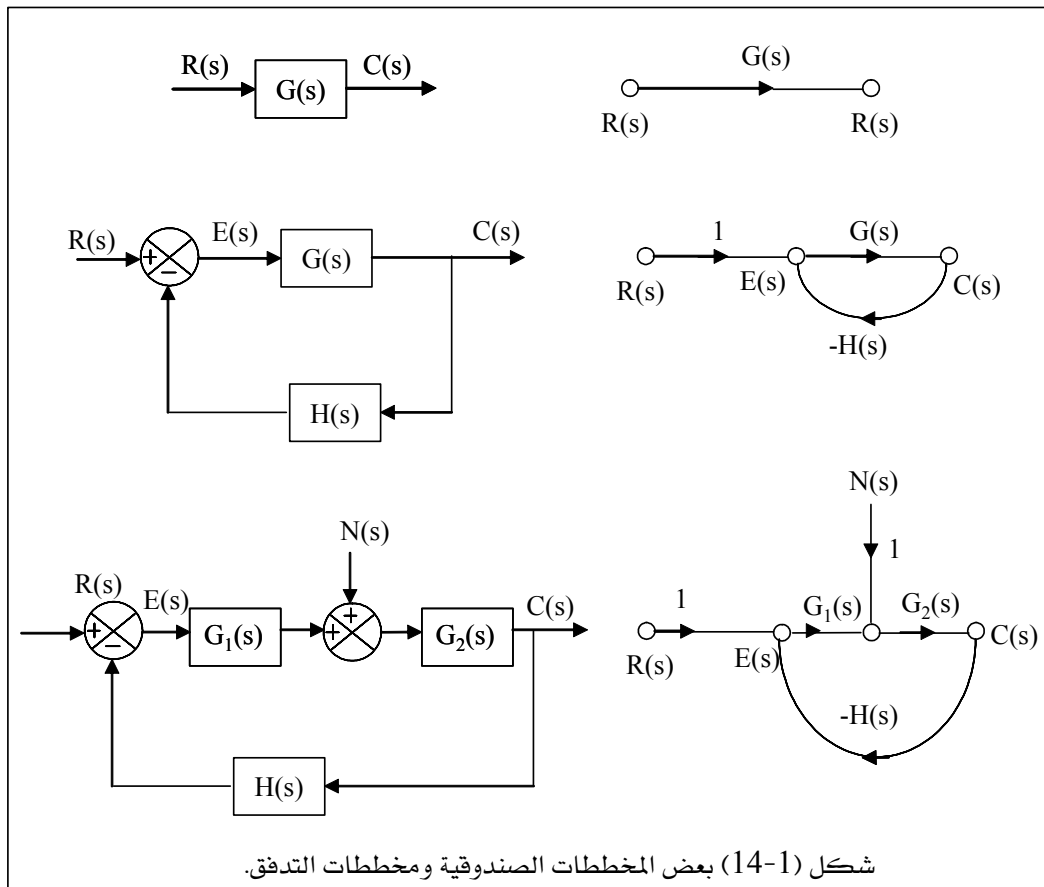
5 - نقطة الالتقاء يمكن أن تزدف كما في **شكل (e13-1)** مع ملاحظة أن :

$$x_3 = bx_2, \quad x_2 = ax_1 + cx_3$$

أي أن :  $x_3 = abx_1 + bcx_3$

أو :  $x_3 = [ab / (1 - bc)]x_1$

والشكل (1-14) يوضح بعض المخططات الصندوقية ومخلطات التدفق التي تكافؤها.



## • قاعدة ماسون لمخططات التدفق Mason's Rule For Signal Flow Graphs

في معظم الأحيان التي يكون مطلوب فيها حساب العلاقة بين خرج النظام ودخله (دالة التحويل) وعندما يكون مخطط التدفق معقد يكون استخدام قاعدة ماسون مفيدة في توفير الوقت. وتعرف قاعدة ماسون بالمعادلة التالية :

$$P = \frac{1}{\Delta} \sum_k P_k \Delta_k \quad (3-15)$$

$P_k$  = path gain of  $k$ th forward path

المسار الأمامي

$\Delta$  = determinant of graph

يتم حسابها من المخطط

= 1 - (مجموع حاصل ضرب كل مسارين غير متامسين) + (مجموع جميع المسارات) - (مجموع حاصل ضرب كل ثلاثة مسارات غير متامة) - ..... + (مجموع حاصل ضرب كل ثلاثة مسارات غير متامسين) - ..... .

$$1 - \sum_a L_a + \sum_{b,c} L_b L_c - \sum_{d,e,f} L_d L_e L_f + \dots$$

حيث إن:

$$\sum_a L_a = \text{مجموع جميع المسارات المختلفة}$$

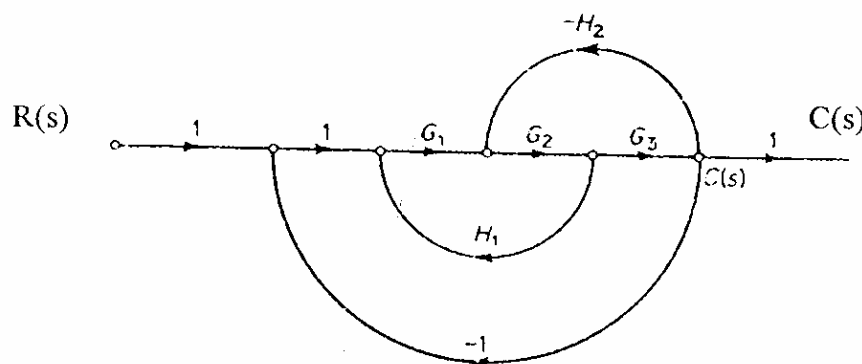
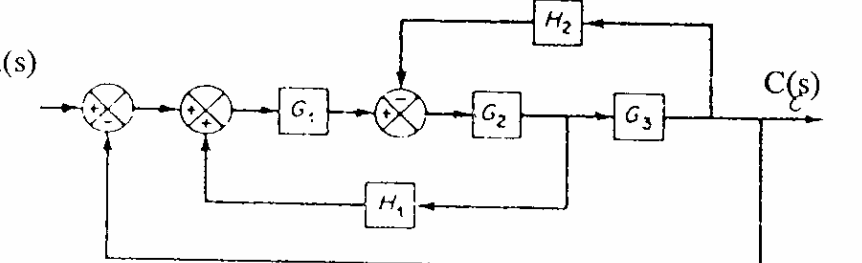
$$\sum_{b,c} L_b L_c = \text{مجموع حاصل ضرب كل مسارين غير متامسين}$$

$$\sum_{d,e,f} L_d L_e L_f = \text{مجموع حاصل ضرب كل ثلاثة مسارات غير متامسين}$$

$$\Delta_k = \text{قيمة } \Delta \text{ لكل المسارات ماعدا } k \text{ التي تمس المسار}$$

### مثال (1-9):

الشكل التالي يبين المخطط الصندوقي لنظام تحكم مخطط التدفق المكافئ له. باستخدام قاعدة ماسون أوجد دالة التحويل الكلية  $\frac{C(s)}{R(s)}$ .



في هذا المثال يوجد مسار واحد أمامي هي:

$$P_1 = G_1 G_2 G_3$$

وكذلك يوجد ثلاثة مسارات مغلقة هم:

$$L_1 = G_1 G_2 H_1$$

$$L_2 = -G_2 G_3 H_2$$

$$L_3 = -G_1 G_2 G_3$$

ويلاحظ أن جميع المسارات المغلقة تماس بعضها البعض فتكون  $\Delta$  كالتالي:

$$\begin{aligned} \Delta &= 1 - (L_1 + L_2 + L_3) \\ &= 1 - G_1 G_2 H_1 + G_2 G_3 H_2 + G_1 G_2 G_3 \end{aligned}$$

ويلاحظ أن جميع المسارات المغلقة تماس المسار الأمامي  $P_1$  فتحسب  $\Delta_1$  بحذف جميع المسارات المغلقة من معادلة  $\Delta$  كالتالي:

$$\Delta_1 = 1$$

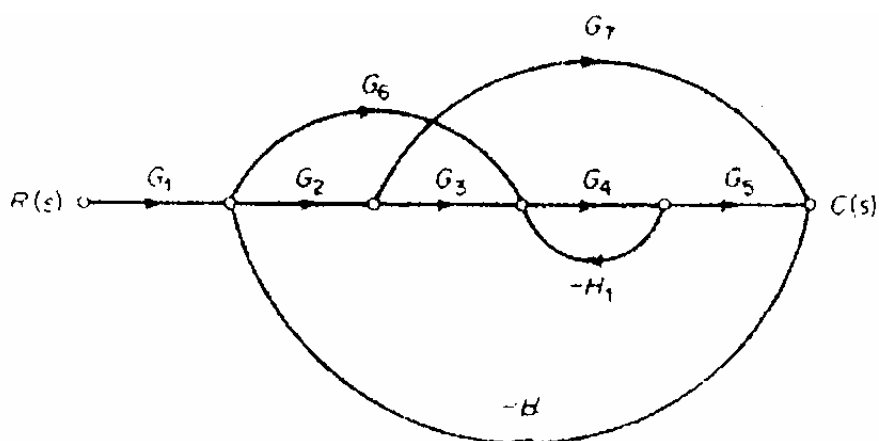
وبذلك تكون دالة التحويل الكلية والتي تمثل العلاقة بين الدخل والخرج  $\frac{C(s)}{R(s)}$  كالتالي:

$$\frac{C(s)}{R(s)} = P = \frac{P_1 \Delta_1}{\Delta}$$

$$= \frac{G_1 G_2 G_3}{1 - G_1 G_2 H_1 + G_2 G_3 H_2 + G_1 G_2 G_3}$$

**مثال (1-10):**

أوجد دالة التحويل الكلية لنظام التحكم التالي باستخدام قاعدة ماسون.

**الحل:**

في هذا المثال يوجد ثلاثة مسارات أمامية هي:

$$P_1 = G_1 G_2 G_3 G_4 G_5$$

$$P_2 = G_1 G_6 G_4 G_5$$

$$P_3 = G_1 G_2 G_7$$

وكذلك يوجد أربع مسارات مغلقة هي:

$$L_1 = -G_4 H_1$$

$$L_2 = -G_2 G_7 H_2$$

$$L_3 = -G_6 G_4 G_5 H_2$$

$$L_4 = -G_2 G_3 G_4 G_5 H_2$$

ويوجد المسار المغلق  $L_1$  والمسار المغلق  $L_2$  متامسين فتحسب  $\Delta$  كالتالي:

$$\Delta = 1 - (L_1 + L_2 + L_3 + L_4) + L_1 L_2$$

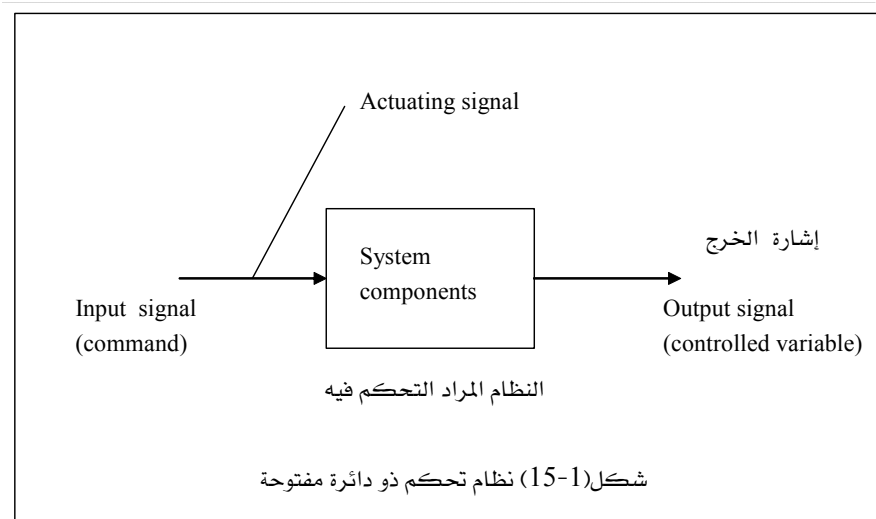
و كذلك  $\Delta$  تحسب بحذف المسارات المغلقة التي تمس المسار الأمامي  $P_1$  كالتالي:

## 5-1. Classification of Control Systems

تقسم أنظمة التحكم إلى نوعين أساسيين من التحكم، التحكم ذو الدائرة المفتوحة open loop والتحكم ذو الدائرة المغلقة closed loop control system.

### 5-1-1. أنظمة التحكم ذو الدائرة المفتوحة

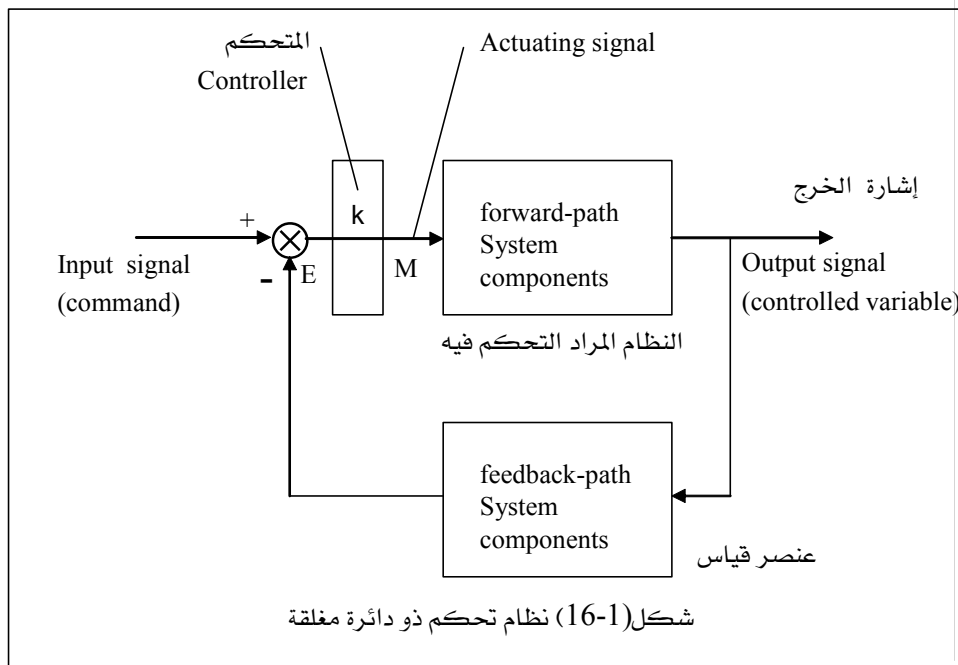
في أنظمة التحكم ذات الدائرة المفتوحة لا يؤثر الخرج على عملية التحكم، أي لا يوجد بها تغذية خلفية ولا عنصر مقارنة بين الدخل والخرج.



بين شكل (15-1) العلاقة بين الخرج والدخل لهذه الأنظمة. وكمثال على أنظمة التحكم ذو الدائرة المفتوحة الفسالة الكهربائية التي تعمل بالتوقيت الزمني حسب برنامج معين وفيها لا يتم قياس الخرج وهو درجة نظافة الملابس و كمثال آخر لذلك إشارات المرور وتعتمد دقة هذه الأنظمة على معايرتها و الخبرة بتشغيلها وهي لا تعمل بدقة حين تعرضها إلى تشويش ولا توجد اضطرابات داخلية أو خارجية في النظام المراد التحكم فيه.

## 5-2. أنظمة التحكم ذو الدائرة المغلقة Closed-loop Control

نظام التحكم ذو الدائرة المغلقة هو نظام تكون فيه إشارة الخرج لها تأثير مباشر على عملية التحكم. بمعنى أن أنظمة التحكم ذات الدائرة المغلقة هي أنظمة تحكم ذات تغذية خلفية.



ويبيّن شكل (1-16) الرسم التخطيطي block diagram لتمثيل نظام تحكم ذو دائرة مغلقة، وفيه فان إشارة الفرق بين الدخل وإشارة التغذية الخلفية E تقوم بتشغيل المتحكم controller K ليؤثر على الوحدة أو النظام المراد التحكم plant للعمل على تقليل الخطأ بين الدخل والخرج ضبط الخرج عند القيمة المطلوبة. ويجب ملاحظة أن عنصر القياس هنا (أو جهاز القياس) يقوم بقياس الخرج وتحويله إلى إشارة تماثل إشارة الدخل في الوحدات والكميات حتى يمكن مقارنة الدخل والخرج في عنصر المقارنة. ويسمى الدخل هنا عادة الدخل المقارن وذلك لأنّه يتم مقارنته مع إشارة التغذية الخلفية التي هي الخرج بعد قياسه وتحويله إلى إشارة ممكّن مقارنتها بالدخل. ومن أمثلة عناصر المقارنة هو المكّبر الإلكتروني operational amplifier وأجهزة الهواء المضغوط وخلافه.

ونظرا لأن إشارة التحكم M الخارجة من المتحكم تكون عادة قيمتها صفرية فإننا نستخدم مكّبر قدرة (كهربائي أو ميكانيكي) ليستطيع التأثير على النظام المراد التحكم فيه plant . وهذا المكّبر غير مبين في الرسم.

## ٦-١. مقارنة بين أنظمة التحكم ذات الدائرة المفتوحة والمغلقة

- أ - تميز أنظمة التحكم ذات الدائرة المغلقة باستخدام التغذية الخلفية التي تجعل النظام المتحكم فيه قليل الحساسية للاضطرابات الخارجية والتغيرات الداخلية في معاملات النظام. وعلى ذلك فإنه يمكن استخدام مكونات رخيصة وأقل دقة نسبياً للحصول على نظام تحكم دقيق، وهذا غير ممكן في حالة التحكم ذو الدارة المفتوحة.
- ب - ومن ناحية استقرار وتوازن الأنظمة فإن التحكم ذو الدائرة المفتوحة يعتبر أسهل في بنائه عن التحكم ذو الدائرة المغلقة، حيث يتطلب التحكم ذو الدائرة المغلقة تصميماً خاصاً لحفظ على الاستقرار مع الدقة.
- ج - يستخدم نظام التحكم ذو الدائرة المفتوحة عندما يكون الدخل معروفاً ومحدد وليس هناك أية اضطرابات متوقعة. وتظهر أهمية وأفضلية نظام التحكم ذو الدائرة المغلقة عند احتمال وجود اضطرابات غير محددة أو تغيرات غير معروفة في معاملات المكونات. بعض الحالات يستخدم التحكم ذو الدائرة المفتوحة لتقليل النفقات، وفي حالات أخرى يكون الجمع بين التحكم ذو الدائرة المفتوحة والتحكم ذو الدائرة المغلقة أقل تكلفة مع إعطاء نتائج وخصائص مرضية لنظام التحكم.

### ٦-١.١. التحكم ذو التغذية الخلفية (أو المرتدة) Feedback Control

التحكم ذو التغذية الخلفية هو عملية تؤدي إلى تقليل الفرق بين خرج النظام output والدخل المقارن reference input وذلك عند تعرض نظام التحكم إلى اضطرابات . وتم هذه العملية على أساس تحديد الفرق بين الدخل والخرج والعمل على تقليله. والمقصود بالاضطرابات هنا هو النوع غير المعروف مسبقاً.

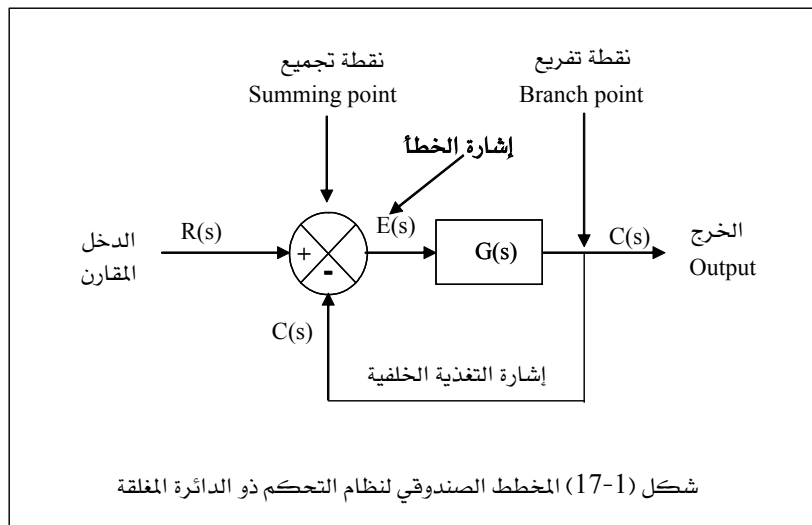
### ٦-١.٢. أنظمة التحكم ذات التغذية الخلفية Feedback Control Systems

نظام التحكم ذو التغذية الخلفية هو نظام يؤدي إلى الحفاظ على علاقة محددة بين الخرج والدخل وذلك بمقارنتها واستخدام الفرق بينهما كوسيلة للتحكم. وأنظمة التحكم ذات التغذية الخلفية منتشرة في جميع المجالات الهندسية وال مجالات الأخرى. ويعتبر الإنسان أرقى وأعقد نظام تحكم ذو تغذية خلية.

## 7-1. المخطط الصندوقي لنظام التحكم ذو الدائرة المغلقة

### Block Diagram of a Closed-loop Control System

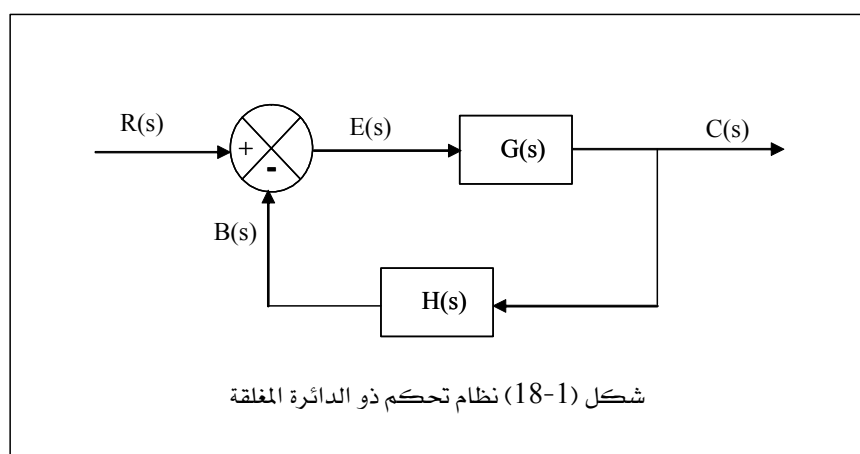
المخطط الصندوقي لنظام التحكم ذو الدائرة المغلقة كما هو مبين بالشكل (1-17) تؤخذ فيه إشارة الخرج ( $C(s)$ ) وتغذى تغذية خلفية إلى عنصر المقارنة وخرج عنصر المقارنة هو إشارة الخطأ (أو الانحراف) بين الدخل المقارن والخرج أي أن:



و من الضروري ملاحظة أن تكون كمية وحدات الخرج من نفس نوع الكمية ووحدات الدخل قبل دخولها إلى عنصر المقارنة.

أما إذا كانت كمية وحدات الخرج مختلفة عن كمية وحدات الدخل فإنه يلزم وضع وسيلة (أو عنصر) ربما يكون جهازاً لتحويل إشارة الخرج لكي تكون من نفس نوع الدخل والذي يمثل بدالة التحويل ( $H(s)$ ) كما هو مبين بالشكل (3 - 6). ويكون دخل هذا العنصر هو خرج نظام التحكم ( $C(s)$ ) أما خرجه فيكون إشارة التغذية الخفية ( $B(s)$ ) أي أن:

$$B(s) = H(s)C(s) \quad (3-5)$$



وبدراسة الشكل (1-18) يمكن إيجاد دوال التحويل الآتية:



1 - دالة التحويل الأمامية Direct or forward transfer function

$$G(s) = \frac{C(s)}{E(s)} \quad (3-6)$$

2 - دالة التحويل الخلفية feedback transfer function

$$H(s) = \frac{B(s)}{C(s)} \quad (3-7)$$

3 - دالة التحويل للدائرة المفتوحة transfer function open-loop

$$G(s)H(s) = \frac{B(s)}{E(s)} \quad (3-8)$$

4 - دالة التحويل للدائرة المغلقة transfer function closed-loop

إذا كانت دالة التحويل الخلفية في الشكل (1-18) مساوية لواحد  $H(s) = 1$  فإن معادلة (3-7) ومعادلة (3-8) تعطى الآتي:

$$\begin{aligned} C(s) &= G(s)E(s) \\ E(s) &= R(s) - B(s) \end{aligned} \quad (3-9)$$

بالتعويض عن المعادلة (3-5) في المعادلة (3-9) ينتج:

$$E(s) = R(s) - H(s)C(s)$$

وعليه فإن:

$$C(s) = G(s)E(s)$$

$$C(s) = G(s)[R(s) - H(s)C(s)]$$

$$C(s) = G(s)R(s) - G(s)H(s)C(s)$$

$$C(s) + G(s)H(s)C(s) = G(s)R(s)$$

$$[1 + G(s)H(s)]C(s) = G(s)R(s)$$

بذلك تكون دالة التحويل للدائرة المغلقة كالتالي:

$$\frac{C(s)}{R(s)} = \frac{G(s)}{1 + G(s)H(s)} \quad (3-10)$$

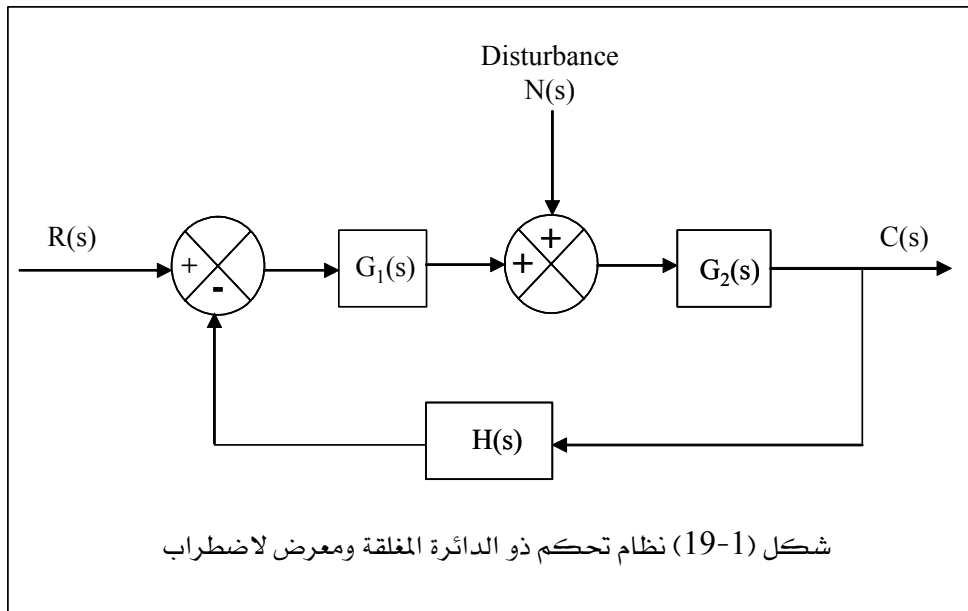
ويكون خرج نظام التحكم ذو الدائرة المغلقة كالتالي:

$$C(s) = \frac{G(s)}{1 + G(s)H(s)} R(s) \quad (3-11)$$

## 8-1. نظام التحكم ذو الدائرة المغلقة والمعرض لاضطراب Closed-loop Control System Subjected to a disturbance

في نظام التحكم ذو الدائرة المغلقة والمعرض إلى اضطراب والذي يرمز له بالرمز  $D(s)$  كما هو مبين بالشكل (1-19) فيكون في هذه الحالة خرج النظام يتكون من جزئين، أولهما نتيجة الدخل  $R(s)$  وثانيهما نتيجة الاضطرابات  $D(s)$  ولإيجاد هذا الخرج نتبع الآتي:

- أ - نفرض أولاً أن النظام يتعرض إلى الدخل  $R(s)$  فقد وان إشارة الاضطرابات = صفر ونجد الجزء من الخرج نتيجة الدخل  $R(s)$ .
- ب - ثم نفرض أن الدخل =  $R(s)$  صفر وان النظام يتعرض فقد إلى الاضطراب  $D(s)$  ، ونجد الجزء من الخرج نتيجة  $D(s)$ .



وبفرض أن  $C_R(s)$  هو جزء الخرج نتيجة الدخل  $R(s)$  فقط . وأن  $C_D(s)$  هو جزء الخرج نتيجة الدخل  $D(s)$  فقط . وعلى ذلك فإن الجزئين من الخرج يمكن إيجادهما من المعادلتين (3-12) و (3-13) كالتالي:

$$\frac{C_n(s)}{N(s)} = \frac{G_2(s)}{1 + G_1(s)G_2(s)H(s)} \quad (3-12)$$

$$\frac{C_R(s)}{R(s)} = \frac{G_1(s)G_2(s)}{1 + G_1(s)G_2(s)H(s)} \quad (3-13)$$

وعلى ذلك فإن الخرج الكلى يكون عبارة عن مجموع الجزأين من الخرج نتيجة كل من الدخل  $R(s)$  والاضطراب  $D(s)$  كالتالي:

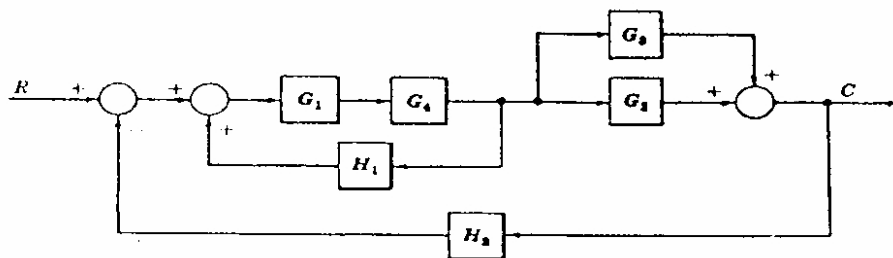
$$\begin{aligned} C(s) &= C_R(s) + C_N(s) \\ &= \frac{G_2(s)}{1 + G_1(s)G_2(s)H(s)} [G_1(s)R(s) + N(s)] \end{aligned} \quad (3-14)$$

## 9-1. تبسيط المخططات الصندوقية المعقدة Reduction of Complicated Block Diagrams

في معظم أنظمة التحكم الكبيرة ذات التغذية الخلفية يكون المخطط الصندوقي الناتج كبير ومعقد لأنه يحتوي مجموعة كبيرة من المسارات الأمامية والخلفية وعدد كبير من إشارات الدخول والخرج لجميع أجزاء النظام . ولتبسيط واختصار هذه المخططات الكبيرة يجب استخدام القواعد المبينة بالجدول (3 - 1) والذي يبين الرسم الأصلي للمخطط الصندوقي والرسم المكافئ له في جميع الحالات المتوقعة . وفي جميع الأحوال يكون الهدف في كل اختصار هو الوصول إلى الشكل المعتمد والقانوني لمخطط التغذية الخلفية والمبين في الشكل (1 - 18) وهذا يتطلب دراسة كل جزء من أجزاء النظام الأصلي ومحاولة الوصول بهذا الجزء إلى تحويلة من التحويلات المذكورة بالجدول (3 - 1).

## مثال (11-1):

اختصر المخطط الصندوقي الآتي إلى أبسط صورة

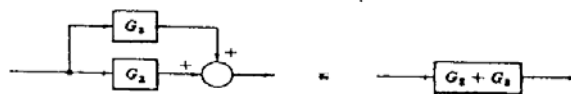


الحل

Step 1:



Step 2:

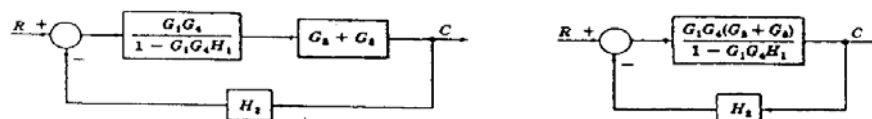


Step 3:



Step 4: Does not apply.

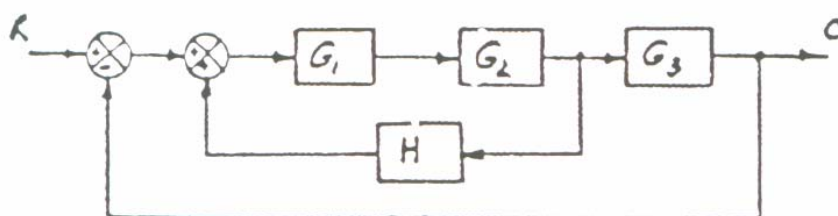
Step 5:



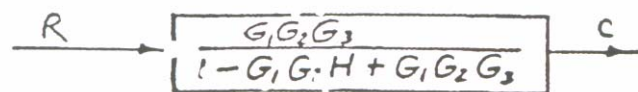
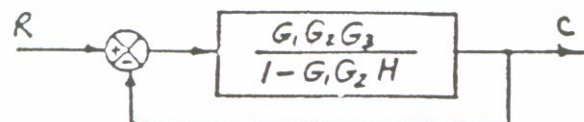
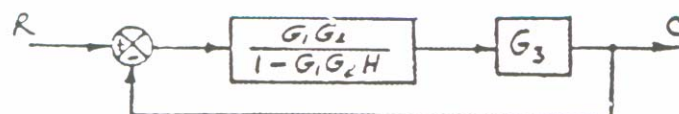
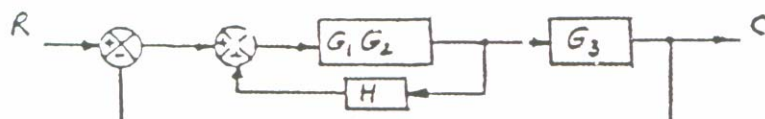
Step 6: Does not apply.

## مثال (12-1):

في المخطط الصندوقي المبين احسب العلاقة بين  $C$  ،  $R$  باستخدام قواعد التبسيط والاختصار لأبسط صورة.



الحل:



وقد تم الحصول على الشكل (د) من الشكل (ج) كالتالي:

$$\frac{C(s)}{R(s)} = \frac{\frac{G_1 G_2 G_3}{1 - G_1 G_2 H}}{1 + \frac{G_1 G_2 G_3}{1 - G_1 G_2 H}}$$

بضرب البسط والمقام في (1 - G<sub>1</sub>G<sub>2</sub>H) نجد أن:

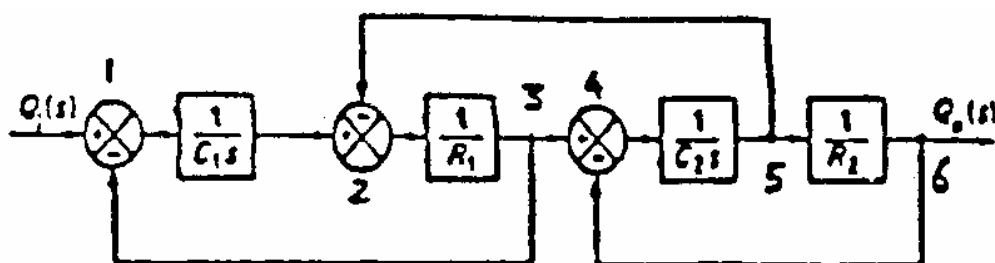
$$\frac{C(s)}{R(s)} = \frac{G_1 G_2 G_3}{1 + G_1 G_2 H + G_1 G_2 G_3}$$

**مثال (13-1):**

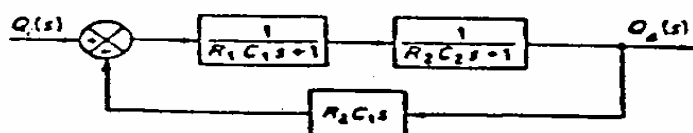
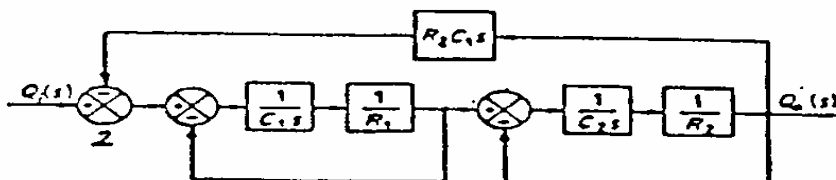
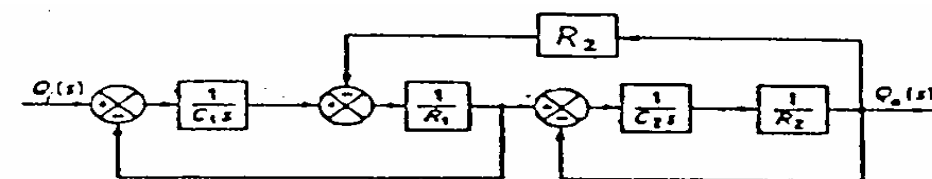
يبين المخطط الصندوقي لنظام تحكم ذو تغذية خلفية. اختصر هذا المخطط إلى أبسط صورة.

**مثال (14-1):**

اختصر المخطط المبين في الشكل إلى أبسط صورة.



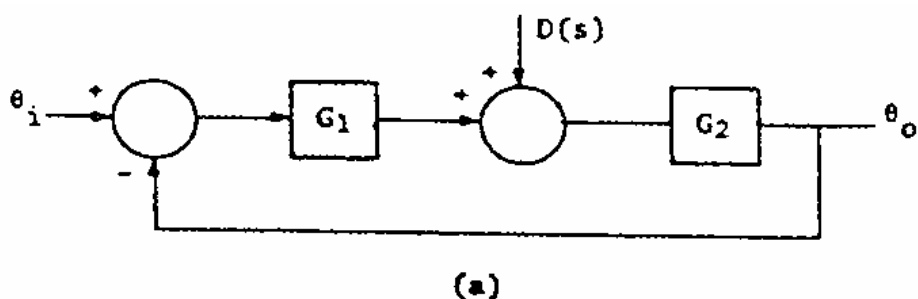
**الحل:**



$$\frac{Q_o(s)}{Q_i(s)} = \frac{1}{R_1 C_1 s + 1 + R_2 C_1 s + (R_1 C_2 + R_2 C_2) s + 1}$$

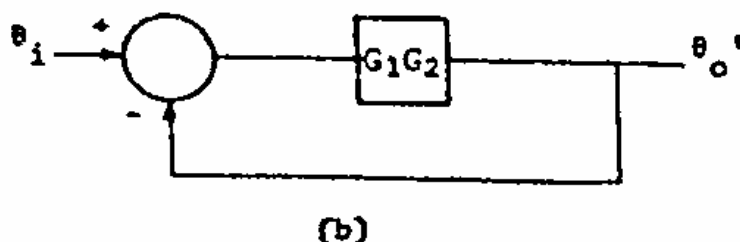
**مثال 1-15:**

اختصر المخطط المبين بالشكل التالي إلى أبسط صورة ثم احسب دالة التحول.

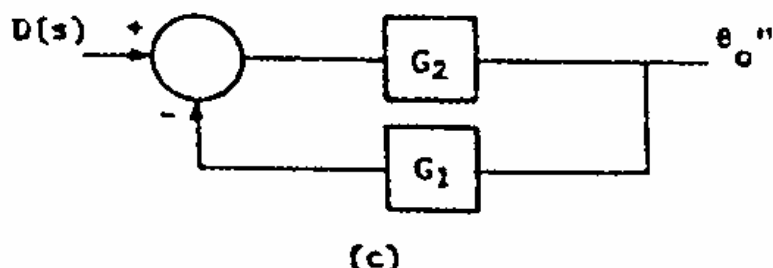


(a)

الحل:



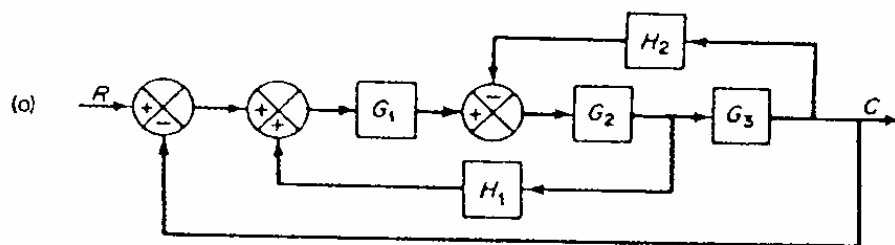
(b)



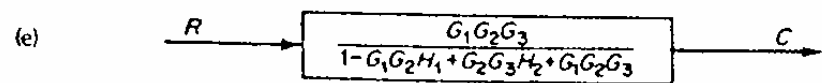
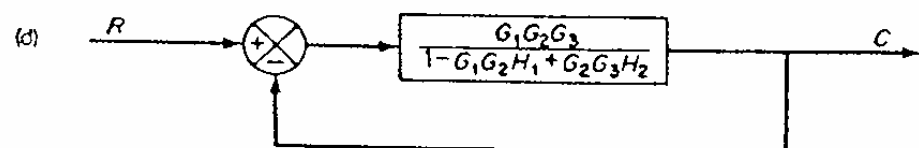
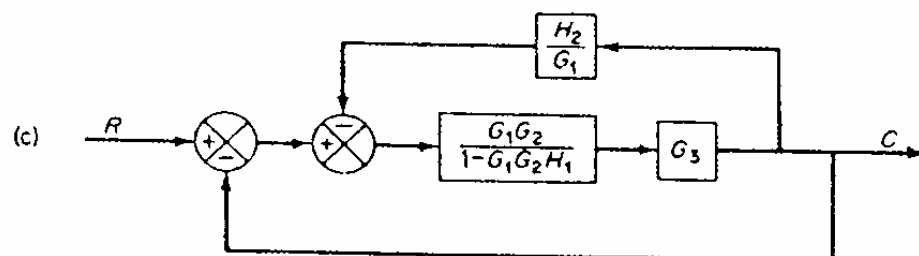
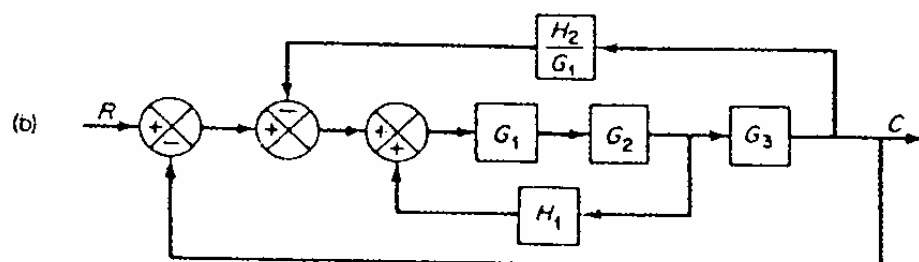
(c)

مثال (16-1) :

اختصر المخطط المبين في الشكل إلى أبسط صورة ثم احسب دالة التحويل  $\frac{C}{R}$

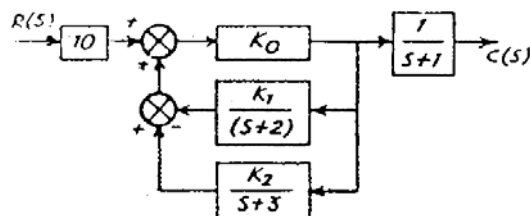


الحل:

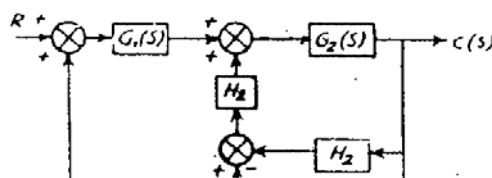


## تمارين

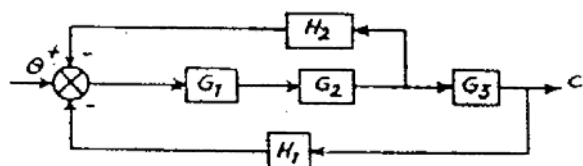
- 1 - اذكر الأنواع الرئيسية لأنظمة التحكم وما الفرق بينهم؟
- 2 - اذكر مميزات وعيوب أنظمة التحكم ذو الدائرة المفتوحة؟
- 3 - قارن بين أنظمة التحكم ذات الدائرة المفتوحة والمغلقة؟
- 4 - هل نظام التحكم ذو الدائرة المغلقة أكثر دقة من مثيله ذو الدائرة المفتوحة؟
- 5 - اذكر أمثلة لأنظمة التحكم ذو الدائرة المفتوحة والمغلقة في الحياة العملية بالمنازل؟
- 6 - اختصر المخطط الصندوقي التالي إلى أبسط صورة ثم أوجد دالة التحويل.



(a)

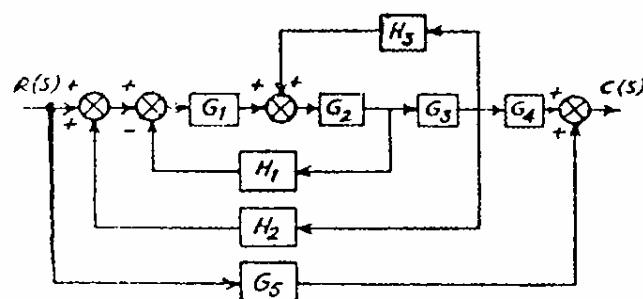


(b)

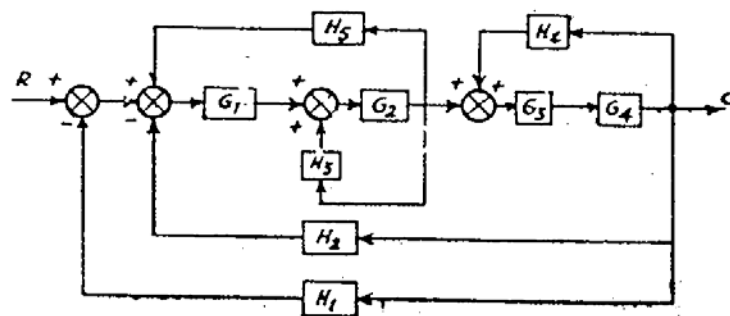


(c)

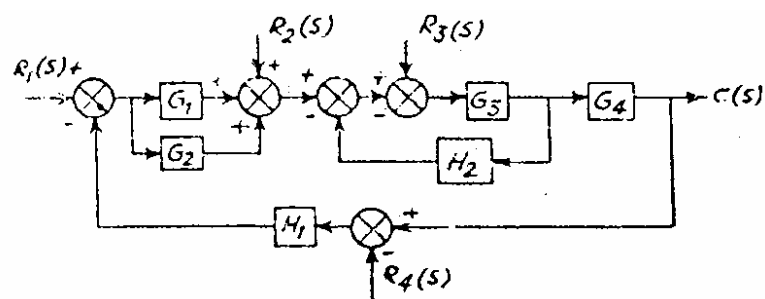
- 7 - في نظام التحكم ذو التغذية الخلفية المبين بالشكل أوجد دالة التحويل بعد تبسيط المخطط.



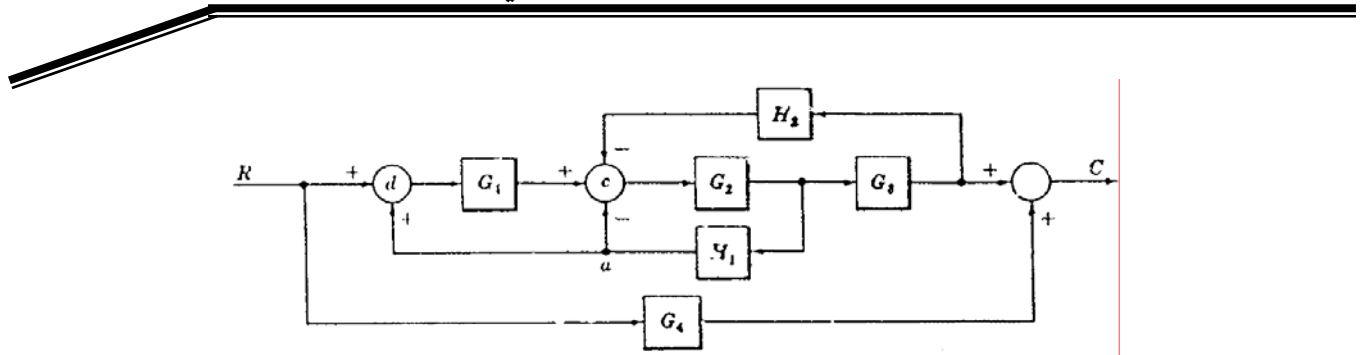
8 - اختصر المخطط الصندوقي التالي ثم احسب  $\frac{C(s)}{R(s)}$



9 - في نظام التحكم متعدد الدخل بالشكل أوجد الخرج  $C(s)$ .

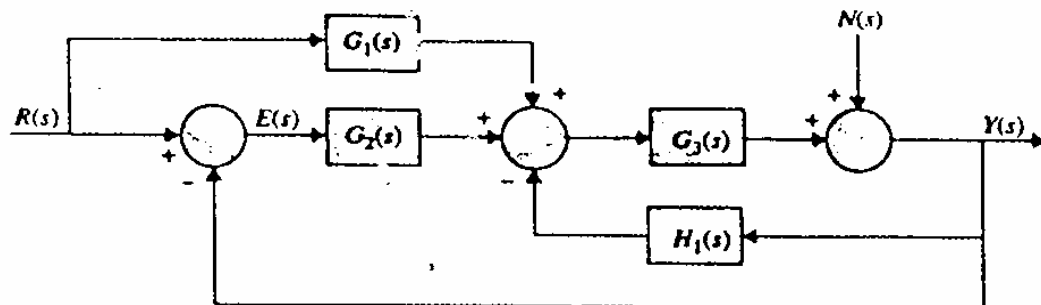


10 - اختصر المخطط الصندوقي المبين بالشكل الى مخطط صندوقي ذو دائرة مفتوحة.



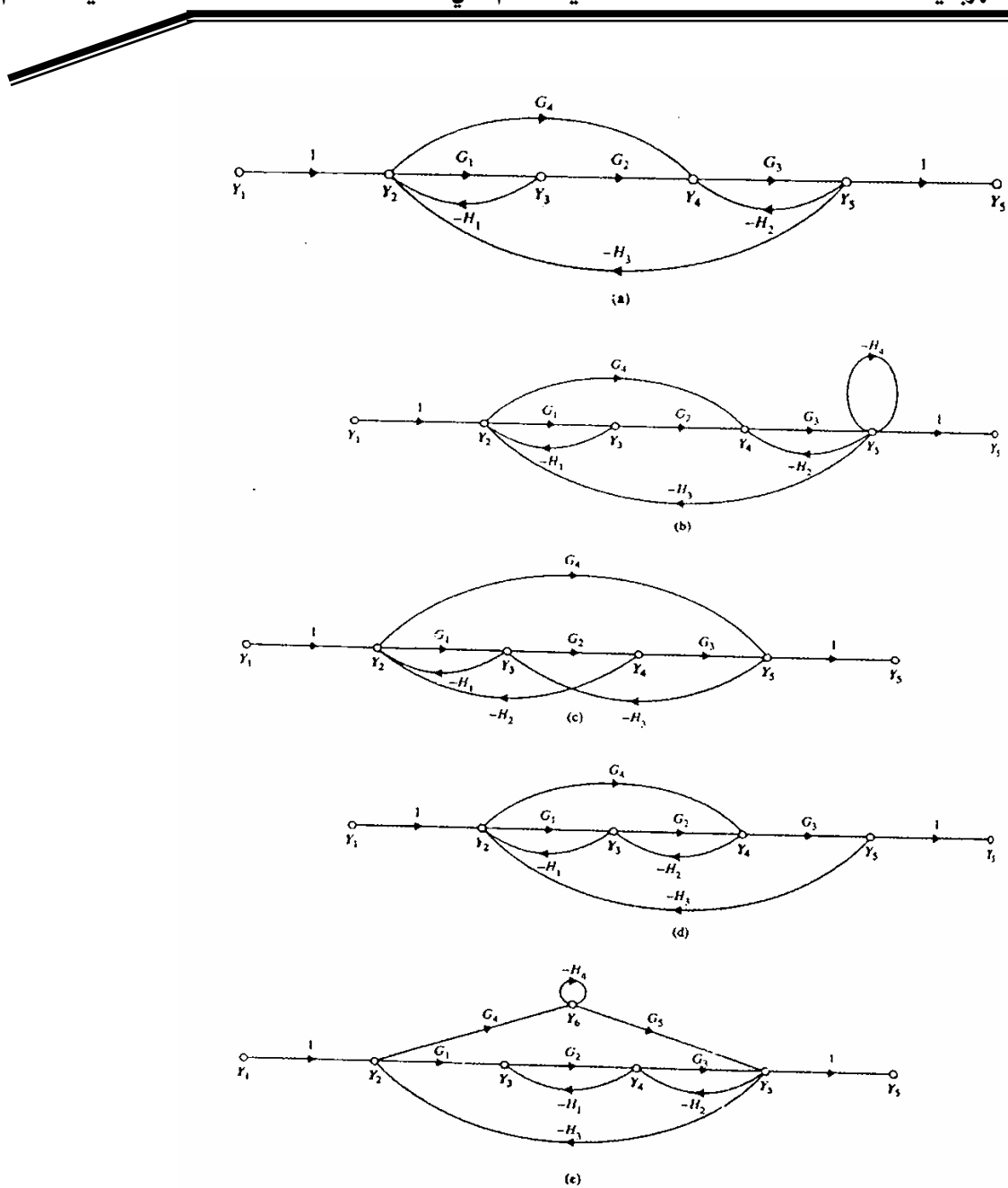
11 - ارسم مخطط التدفق للمخطط الصندوقى المبين بالشكل ثم أوجد دوال التحويل الآتية  
باستخدام قاعدة ماسون:

$$\frac{Y(s)}{R(s)} \Big|_{N=0}, \quad \frac{Y(s)}{N(s)} \Big|_{R=0}, \quad \frac{E(s)}{R(s)} \Big|_{N=0}, \quad \frac{E(s)}{N(s)} \Big|_{R=0}$$



12 - الشكل التالي يبين عدد من مخططات التدفق لعدة أنظمة. استخدم قاعدة ماسون لإيجاد دوال التحويل الآتية:

$$\frac{Y_5}{Y_1}, \quad \frac{Y_4}{Y_1}, \quad \frac{Y_2}{Y_1}, \quad \frac{Y_5}{Y_2}$$





## تقنية التحكم الآلي

### نظم التحكم الصناعية وخواصها

## الوحدة الثانية : نظم التحكم الصناعية وخواصها

1- 1. مقدمة	2
2- 2. تحويل لابلاس	2
2- 2- 1. مقدمة	2
2- 2- 2. المستوى المركب إس	2
2- 2- 3. تحويل لابلاس	2
2- 2- 4. نظريات التحويل اللاابلاسي	2
2- 2- 5. تحويل لابلاس العكسي	2
2- 2- 6. نمذجة الأنظمة الميكانيكية الانقلالية	2
2- 2- 7. نمذجة الأنظمة الميكانيكية الدورانية	2
2- 3. صمامات التحكم	2
2- 4. أنواع المحكمات	2
4- 1. المحكم ذو الموضعين	2
4- 2. المحكم التناصبي	2
4- 3. المحكم التكاملي	2
4- 4. المحكم التفاضلي	2
4- 5. المحكم التناصبي التكاملي	2
4- 6. المحكم التناصبي التفاضلي	2
4- 7. المحكم التناصبي التكاملي التفاضلي	2
تمارين	

**الأهداف :**

بعد انتهاءك من دراسة هذه الوحدة تكون قادرًا على:

شرح الغرض من تحويلات لابلاس،

تعريف تحويل لابلاس،

إيجاد تحويل لابلاس لبعض الإشارات الأساسية مثل إشارة الخطوة،

معرفة نظريات التحويل اللاابلاسي

معرفة نمذجة الأنظمة الميكانيكية

معرفة صمامات التحكم

معرفة أنواع المحكمات الصناعية

## 1-2. مقدمة

في أنظمة التحكم الأوتوماتيكي يتم مقارنة القيمة الحقيقة للخرج وقيمة إشارة الدخل والفرق بينهما يسمى إشارة الخطأ error signal أو الانحراف. وتوصل إشارة الخطأ إلى المتحكم الذي يقوم بعمل فعل معين لهذه الإشارة (أي تعديلها) ثم ينتج إشارة تحكم توصل عادة عن طريق مكبر إلى النظام المراد التحكم فيه بحيث يعمل نظام التحكم ككل على تقليل الخطأ بين الدخل والخرج أو يجعل هذا الخطأ صفر ويصبح الخرج مساوياً للدخل. والطريقة التي يستخدمها المتحكم لإنتاج إشارة التحكم تسمى فعل المتحكم ونظراً لأن إشارة الخطأ تكون عادة ذات قدرة صغيرة فإنه في كثير من الحالات يستخدم مكبر لتكبير قدرة هذه الإشارة لكي تستطيع التأثير على النظام المراد التحكم فيه. وفي معظم أنظمة التحكم الآلي الصناعية تستخدم الكهرباء أو المونع المضغوط مثل الزيت أو الماء للحصول على القدرة اللازمة لتشغيل نظام التحكم. ويمكن تقسيم أنظمة التحكم طبقاً لنوع مصدر القدرة المستخدم في التشغيل مثل:

- 1 - أنظمة التحكم التي تعمل بالهواء المضغوط.
- 2 - أنظمة التحكم الهيدروليكي.
- 3 - أنظمة التحكم الكهربائية.
- 4 - أنظمة التحكم الالكترونية الحديثة.
- 5 - التحكم باستخدام الكمبيوتر.

ويتوقف استخدام نوع معين من أنظمة التحكم على طبيعة الموقع وأحوال التشغيل بالإضافة إلى اعتبارات الأمان والتکالیف والدقة والوزن والحجم وخلافه. وهناك أنواع مختلفة من أنظمة التحكم مثل الأنظمة الكهربائية والميكانيكية والأنظمة الكهربائية الهيدروليكيّة وكذلك الأنظمة الالكترونية الهوائية وخلافه. وفي هذه الأنظمة نستخدم مكونات وأجهزة عديدة متعددة للحصول على مواصفات أداء عالية وتكلفة مناسبة لأنظمة التحكم. وفي الوقت الحاضر يستخدم الكمبيوتر للتحكم في العديد من الصناعات الحديثة وشبكات ومحطات الكهرباء وخلافه نظراً لدقته الفائقة وإمكانياته الكبيرة لتنفيذ متطلبات التحكم المتطورة.

## 2-2. تحويل لابلاس LAPLACE TRANSFORMATION

### 1-2-2. مقدمة Introduction

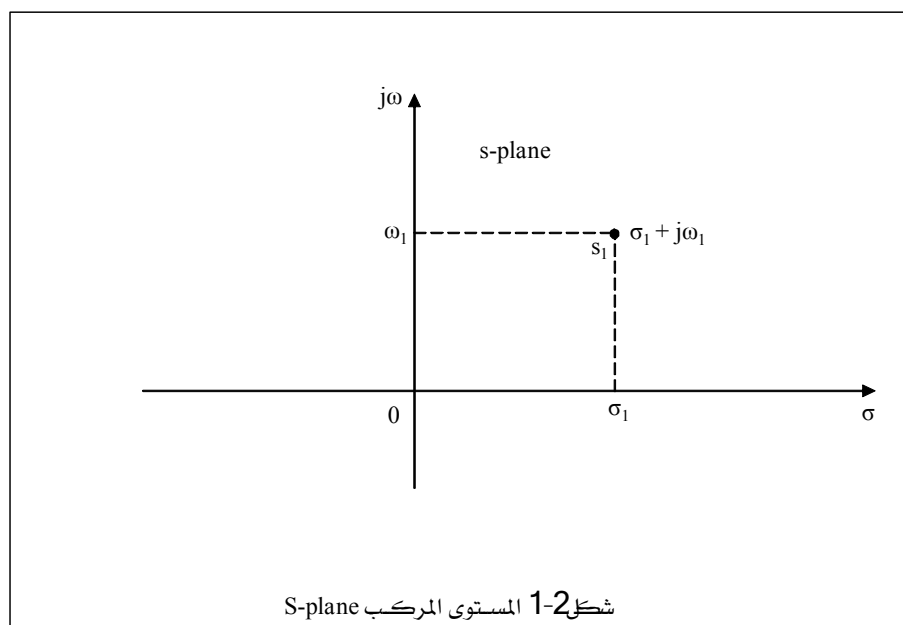
التحويل اللابلاسي Laplace Transform طريقة تستخدم بشكل مفيد لحل الدوال والمعادلات الرياضية والتفاضلية، وباستخدام التحويل اللابلاسي يمكن تحويل دوال مثل الدوال الجيبية Exponential Functions والدوال الآسية Sinusoidal Function وغيرها من الدوال إلى دوال جبرية Algebraic Functions في متغير مركب Complex Variable يرمز له بالرمز (S) والعمليات الرياضية مثل التفاضل، والتكامل يمكن أن تبدل أيضاً بعمليات جبرية في مستوى مركب يسمى S-plane.

### 2-2-2. المستوى المركب إس Complex S-plane

نظرية المتغير المركب complex variable عندما تطبق على نظام التحكم تعطى كل المعلومات المطلوبة لتحليل وتصميم النظام. يتكون المتغير المركب من جزئين:

- جزء حقيقي Real Part ويرمز له بالرمز  $\sigma$ .
- ب جزء تخيلي Imaginary Part ويرمز له بالرمز  $j\omega$ .

يرسم الجزء الحقيقي على الإحداث الأفقي x-axis بينما يرسم الجزء التخيلي على الإحداث الرأسي Y-axis كما هو مبين بالشكل (2-1) والذي يسمى المستوى المركب إس S-plane axis



شكل 2-1 المستوى المركب S-plane

وتكون الدالة التي تحتوى على هذا المتغير المركب هي  $G_{(s)}$  وتسماى دالة المتغير المركب وتحتوى على جزئين إحداهما حقيقي والآخر تخيلي إذا كانت  $S$  تحتوى على نفس الجزئين ويعبر عنها كالتالي:

$$G_{(s)} = \operatorname{Re} G_{(s)} + \operatorname{Im} G_{(s)} \quad (1-2)$$

ويمكن كتابة المعادلة (1-2) كالتالي:

$$G(s) = \frac{b_0 s^m + b_1 s^{m-1} + \dots + b_m}{a_0 s^n + a_1 s^{n-1} + \dots + a_n}$$

وبعد تحليل البسط والمقام تصبح المعادلة كالتالي:

$$G(s) = K \frac{(s - z_1)(s - z_2) \dots (s - z_m)}{(s - p_1)(s - p_2) \dots (s - p_n)} \quad (2-2)$$

وهذه الدالة يمكن أن تمثل على المستوى المركب S-plane بعد حل معادلة البسط والمقام وإيجاد الجذور (قيم المتغير  $s$  المختلفة) فتكون قيم  $s$  للمقام ( $P_1, P_2, \dots, P_m$ ) تسمى أقطاب المعادلة poles ويرمز لها بالرمز (X). أما قيم  $X$  للبسط ( $Z_1, Z_2, \dots, Z_n$ ) فتسمى أصفار المعادلة zero ويرمز لها بالرمز (O). ومن الجدير بالذكر أن القطب pole يلعب دور أساسيا في دراسة نظرية التحكم لأنظمة المختلفة.

### مثال 2-1 :

أوجد قيم الأقطاب والأصفار Poles and Zeros للدالة  $G_s$  مع رسم هذه القيم على المستوى الركـب S-plane حيث:

$$G(s) = \frac{25(s+4)(s+2)}{s(s+3)(s+5)^2}$$

الحل:

نحصل على Poles بمساواة المقام بالصفر كما يلي  
 $s(s+3)(s+5)^2 = 0$

أي أن:

$s_1 = 0$ ,  $s_2 = -3$  (simple poles) and  $s_{3,4}$  second order pole



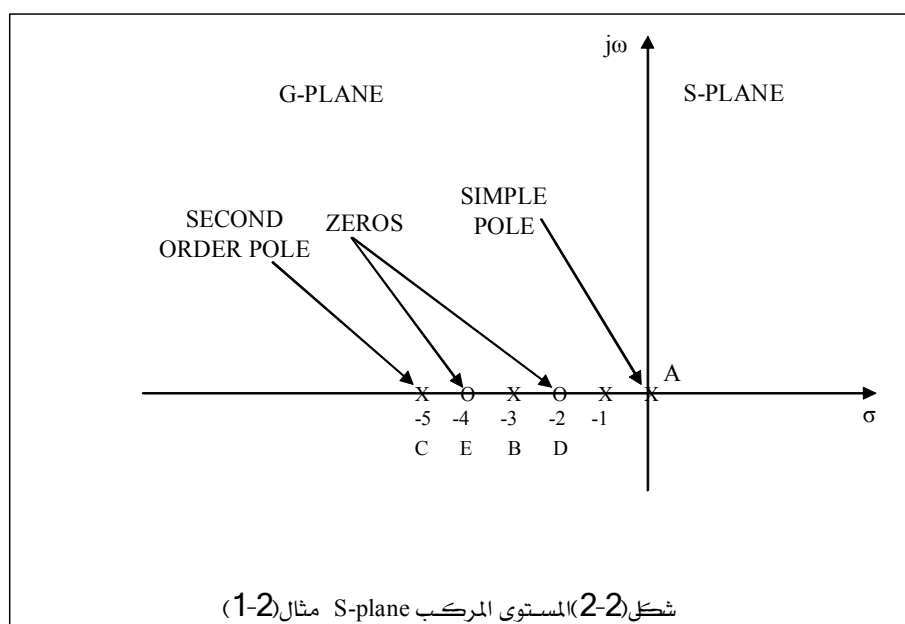
وبمساواة المقام بالصفر نحصل على Zeros كال التالي:

$$25(s + 4)(s + 2) = 0$$

أي إن:

$$s_1 = -4, s_2 = -2 \text{ (simple zeros)}$$

ويمكن تمثيل هذه القيم على المستوى المركب ينتج الشكل (2-2) والذي يوضح لمحة الدالة.



**مثال 2-2:**  
أوجد قيم الأقطاب والأصفار Poles and Zero للدالة  $G_{(s)}$  مع رسم هذه القيم على المستوى المركب S-plane حيث:

$$G(s) = \frac{K(s+4)}{(s+6)(s^2 + 2s - 10)}$$

الحل:

تحليل المقام ينتج:

$$G(s) = \frac{K(s+4)}{(s+6)(s+1+j3)(s+1-j3)}$$

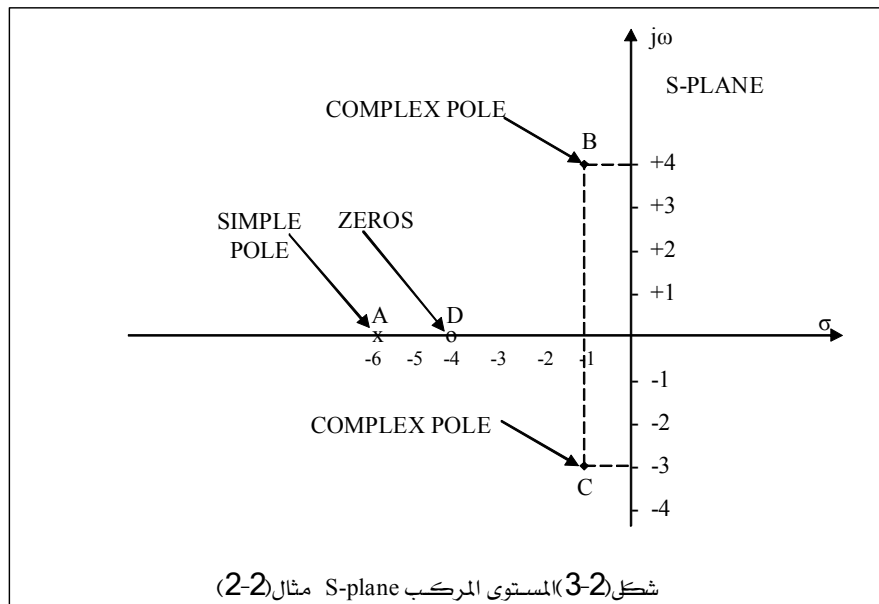
بمساواة المقام بالصفر للحصول على poles كما يلي:

$$(s + 6)(s + 1 + j3)(s + 1 - j3) = 0$$

أي إن:

$$s_1 = -6, s_2 = -1 - j3, s_3 = -1 + j3$$

وبتمثيل هذه القيم على المستوى المركب S-plane ينتج الشكل (2-3) والذي يوضح أماكن poles وبzeros لهذه الدالة.



### 3-2-2. Laplace Transformation تحويل لابلاس

إن التحويل اللابلاسي يعتمد على تحويل الدوال والمعادلات الرياضية التي توصف أنظمه التحكم من  $f(t)$  والتي تكون دوال في الزمن  $(t)$  إلى دوال أخرى  $F(s)$  في متغير مركب  $S$ . أي أن التحويل اللابلاسي يغير الدالة من المستوى الزمني إلى المستوى المركب  $-S$  وبذلك يكون من السهل على المصمم أن يتعامل مع هذه الدوال والمعادلات في تحليل وتصميم أنظمة التحكم الآلي. فإذا عرفنا الآتي:

$f(t) = a$  function of time  $t$  دالة في الزمن  $t$

$s = a$  complex variable متغير مركب

= رمز للتحويل الابلاسي  $L$

= التحويل الابلاسي للدالة  $f(t)$   $F(s) = L[f(t)]$

ويكون التحويل الابلاسي للدالة  $f(t)$  لا بتطبيق المعادلة التالية:

$$L[f(t)] = F(s) = \int_0^{\infty} e^{-st} dt f(t) = \int_0^{\infty} f(t) e^{-st} dt \quad (3-2)$$

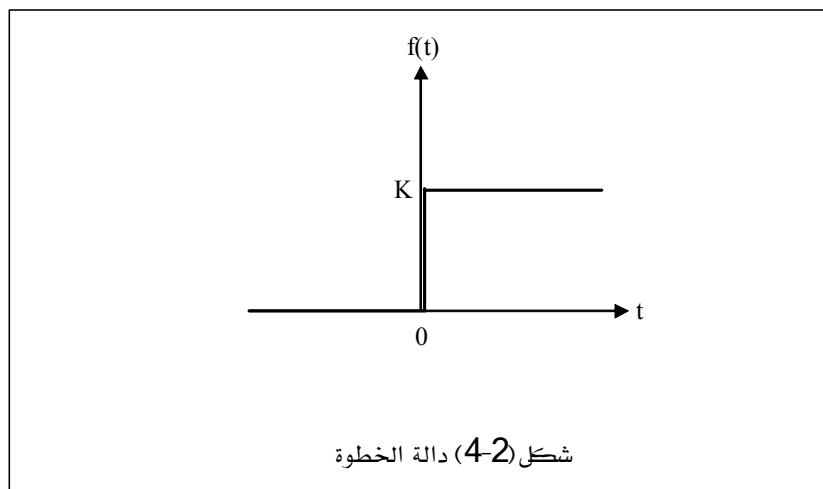
### مثال 2-3 :

التحويل الابلاسي لدالة الخطوة Step Functions

بدراسة خواص دالة الخطوة المبينة في الشكل (2-4) نجد أنها دالة ثابتة ومفاجئة لا تتغير مع الزمن. ويمكن تمثيلها في التطبيقات العملية بإشارة جهد الدخل لنظام تحكم تكون قيمته صفر قبل التشغيل وتصبح له قيمة معينة وثابتة بعد التشغيل ويمكن التعبير رياضيا عن هذه الدالة كالتالي:

$$\begin{aligned} f(t) &= 0 && \text{for } t < 0 \\ f(t) &= K && \text{for } t \geq 0 \end{aligned}$$

حيث إن  $K$  مقدار ثابت أوجد التحويل الابلاسي لهذه الدالة ؟



**الحل:**

التحويل اللاطلاسي لهذه الدالة يكون كالتالي:

$$\ell[f(t)] = \int K e^{-st} dt$$

$$F(s) = \frac{K}{S} e^{-st} \Big|_0^\infty = -\frac{K}{S} [e^{-\infty} - e^0] = \frac{K}{S}$$

$$\ell[f(t)] = F(s) = \frac{K}{S} \quad \text{if } K=1 \text{ then } F(s) = \frac{1}{S} \quad (\text{Unit step function})$$

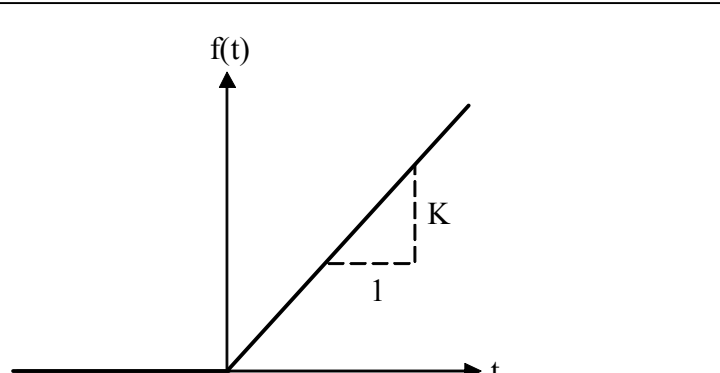
**مثال 2-4:**

التحويل اللاطلاسي لدالة الانحدار Ramp Function

بدراسة خواص دالة الانحدار المبينة في شكل (2-5) نجد أنها تتزايد مع الزمن ( $t$ ) بانتظام ويمكن تمثيلها في التطبيقات العملية في إشارة الدخل للدوائر الالكترونية والتي تتزايد مع الزمن وكذلك تزداد الأحمال على محططات القدرة الكهربائية في فترات ذروة التشغيل. ويمكن التعبير عن هذه الدالة رياضياً كالتالي:

$$\begin{aligned} f(t) &= 0 && \text{for } t < 0 \\ f(t) &= Kt && \text{for } t \geq 0 \end{aligned}$$

حيث إن  $K$  مقدار ثابت. أوجد التحويل اللاطلاسي لهذه الدالة؟



شكل (2-5) دالة الانحدار

**الحل:**

التحويل اللاطلاسي لهذه الدالة يكون كالتالي:

$$F(s) = \frac{K}{s^2}$$

ويneath حاله ما تكون ( $k=1$ ) فإن التحويل اللاطلاسي يكون:

$$F(s) = \frac{K}{s^2} \quad (\text{Unit - ramp function})$$

**مثال 2-5 :**

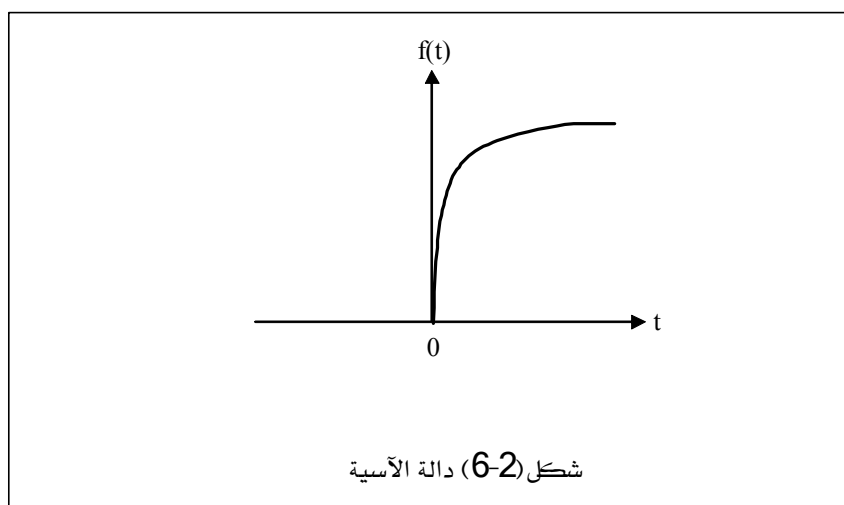
التحويل اللاطلاسي للدالة الأسية Exponential Function

بدراسة خواص الدالة الأسية في شكل (2-6) نجد أن:

$$\begin{aligned} f(t) &= 0 && \text{for } t < 0 \\ f(t) &= e^{-Kt} && \text{for } t \geq 0 \end{aligned}$$

حيث إن  $K$  مقدار ثابت. أوجد التحويل اللاطلاسي لهذه الدالة؟**الحل:**

التحويل اللاطلاسي لهذه الدالة يكون كالتالي:



$$\ell[f(t)] = \int_0^\infty e^{-kt} e^{-st} dt = \int_c^\infty e^{-(s+k)t} dt$$

$$F(s) = -\frac{1}{S+K} e^{-(s+a)t} \Big|_0^\infty = -\frac{1}{S+K} [e^{-\infty} - e^{-0}] = \frac{1}{S+K} [0-1]$$

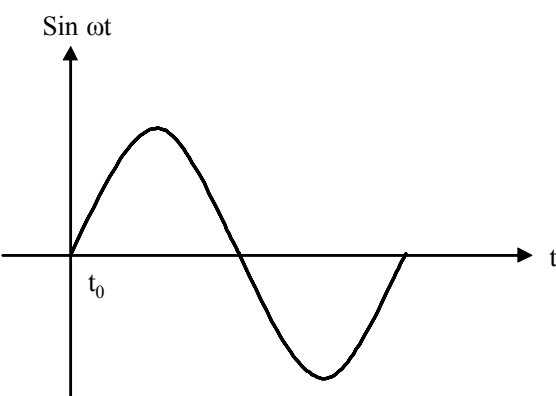
$$\ell[f(t)] = F(s) = \frac{1}{S+K}$$

**مثال 2 - 6 :**

التحويل الlapلاسي للدالة الجيبية Sinusoidal Function

بدراسة خواص الدالة الجيبية المبينة في شكل (2-7) نجد أن :

$f(t) = 0$	for $t < 0$
$f(t) = \sin \omega t$	for $t \geq 0$



شكل (2-7) الدالة الجيبية

حيث إن  $\omega$  السرعة الزاوية. أوجد التحويل الlapلاسي لهذه الدالة ؟

**الحل :**

التحويل الlapلاسي لهذه الدالة يكون كالتالي :

$$L[\sin \omega t] = F(s) = \frac{\omega}{s^2 + \omega^2}$$

وكذلك في حالة الدالة  $(\cos \omega t)$  والتي يعبر عنها كالتالي :



$$\begin{aligned} f(t) &= 0 && \text{for } t < 0 \\ f(t) &= \cos \omega t && \text{for } t \geq 0 \end{aligned}$$

يكون التحويل الابلاسي لهذه الدالة هو:

$$L[\cos \omega t] = F(s) = \frac{s}{s^2 + \omega^2}$$

وهناك جداول لتحويل الابلاسي والتي تستخدم لتحويل الدوال والمعادلات مباشرة من دالة في الزمن ( $t$ ) إلى دالة في المتغير ( $s$ ) كما هو موضح بالأمثلة التالية وكما هو مبين بالجدول رقم (2 - 1)

### مثال 2 - 7 :

أوجد التحويل الابلاسي للدوال الآتية:

$$1 - f(t) = 15$$

$$2 - f(t) = 5 + 4e^{-2t}$$

$$3 - f(t) = t - 2e^{-t}$$

$$4 - x(t) = 20\sin 4t$$

$$5 - y(t) = 2t + \cos t$$

$$6 - h(t) = 100 + 14t + 8\cos t$$

الحل:

بالنظر في الجدول (2 - 1) نجد الآتي:

$$1 - F(s) = L[15] = \frac{15}{s}$$

$$2 - F(s) = L[5 + 4e^{-2t}] = L[5] + L[4e^{-t}]$$

$$= \frac{15}{s} + \frac{4}{s+2} = \frac{9(s+10)}{s(s+2)}$$

$$3 - F(s) = L[t - 2e^{-t}] = L[t] - L[2e^{-t}]$$

$$= \left(\frac{1}{s^2}\right) - \left(\frac{2}{s+1}\right) = \frac{(1+s-2s^2)}{s^2(s+1)}$$

$$4 - X(s) = L[20\sin 4t] = 20 \left[ \frac{4}{s^2 + 4^2} \right] = \frac{80}{s^2 + 16}$$

$$5 - Y(s) = L[2t + \cos 3t] = \frac{2}{s^2} + \frac{s}{s^2 + 9}$$

$$6 - H(s) = L[100 + 14t + 8\cos t] = \frac{100}{s} + \frac{14}{s^2} + \frac{8s}{s^2 + 1}$$

	$f(t)$	$F(s)$
1	unit impulse $\delta(t)$	1
2	Unit step $1(t)$	$\frac{1}{s}$
3	$t$	$\frac{1}{s^2}$
4	$e^{-at}$	$\frac{1}{s+a}$
5	$te^{-at}$	$\frac{1}{(s+a)^2}$
6	$\sin \omega t$	$\frac{\omega}{s^2 + \omega^2}$
7	$\cos \omega t$	$\frac{s}{s^2 + \omega^2}$
8	$t^n \quad (n=1,2,3,\dots)$	$\frac{n!}{s^{n+1}}$
9	$t^n e^{-at} \quad (t=1,2,3,\dots)$	$\frac{n!}{(s+a)^{n+1}}$
10	$\frac{1}{b-a}(e^{-at} - e^{-bt})$	$\frac{1}{(s+a)(s+b)}$
11	$\frac{1}{b-a}(be^{-bt} - ae^{-at})$	$\frac{s}{(s+a)(s+b)}$
12	$\frac{1}{ab} \left[ 1 + \frac{1}{a-b} (be^{-at} - ae^{-bt}) \right]$	$\frac{1}{s(s+a)(s+b)}$
13	$e^{-at} \sin \omega t$	$\frac{\omega}{(s+a)^2 + \omega^2}$
14	$e^{-at} \cos \omega t$	$\frac{s+a}{(s+a)^2 + \omega^2}$
15	$\frac{1}{a^2}(at - 1 + e^{-at})$	$\frac{1}{s^2(s+a)}$
16	$\frac{\omega_n}{\sqrt{1-\zeta^2}} e^{-\zeta\omega_n t} \sin \omega_n \sqrt{1-\zeta^2} t$	$\frac{\omega_n^2}{s^2 + 2\zeta\omega_n s + \omega_n^2}$
17	$\frac{-1}{\sqrt{1-\zeta^2}} e^{-\zeta\omega_n t \sin(\omega_n \sqrt{1-\zeta^2} t - \phi)}$ $\phi = \tan^{-1} \frac{\sqrt{1-\zeta^2}}{\zeta}$	$\frac{s}{s^2 + 2\zeta\omega_n s + \omega_n^2}$

(1 - 2) جدول

## 4-2-2. نظريات التحويل اللاطلاسي Laplace Transform Theorems

وفيما يلي بعض خصائص التحويل اللاطلاسي والشائعة الاستخدام موضحة في النظريات التالية:

نظرية (1): الضرب في مقدار ثابت Multiplication by a Constant

بفرض أن  $k$  مقدار ثابت،  $F(s)$  هو التحويل اللاطلاسي للدالة  $f(t)$  فإن:

$$\mathcal{L}[kf(t)] = kF(s) \quad (4-2)$$

نظرية (2): الجمع والطرح Sum and Difference

بفرض أن  $F_1(s)$  و  $F_2(s)$  هما التحويل اللاطلاسي للدوال  $f_1(t)$  و  $f_2(t)$  على التوالي فان:

$$\mathcal{L}[f_1(t) \pm f_2(t)] = F_1(s) \pm F_2(s) \quad (5-2)$$

نظرية (3): التفاضل Differentiation

بفرض أن  $F(s)$  هي التحويل اللاطلاسي للدالة  $f(t)$  وأن الدالة  $f(0)$  هي قيمتها عند  $t=0$  فإن

$$\mathcal{L}\left[\frac{df(t)}{dt}\right] = sF(s) - f(0) \quad (6-2)$$

حيث إن  $f(0)$  هي القيمة الابتدائية للدالة  $f(t)$  محسوبة عند  $t=0$ . كذلك فإن التحويل اللاطلاسي للتفاضل الثاني للدالة هو:

$$\mathcal{L}\left[\frac{d^2f(t)}{dt^2}\right] = s^2F(s) - sf(0) - f'(0) \quad (7-2)$$

نظرية (4): التكامل Integration

التحويل اللاطلاسي للتكميل الأول للدالة  $f(t)$  هو التحويل اللاطلاسي للدالة مقسوم على  $s$  فان:

$$\mathcal{L}[f(\tau)d\tau] = \frac{F(s)}{s} + \frac{f'(0)}{s} \quad (8-2)$$

حيث إن  $f^{-1}(0)$  هو تكميل الدالة محسوب عند  $t=0$  أي أن:  $f^{-1}(0) = \int f(t)dt$  at  $t=0$

والجدول (2-1) يبين هذه النظريات والتي تستخدم لتبسيط التحويل اللاطلاسي.

## 5-2-2 تحويل لا بلاس العكسي Inverse Laplace Transformation

إن تحويل لا بلاس العكسي يعرف بأنه العملية الرياضية التي تستخدم لتحويل الدالة من دالة في المتغير المركب ( $s$ ) إلى دالة في الزمن ( $t$ ). ويمكن القول بأنه العملية الرياضية التي يتم فيها تحويل الدالة ( $F(s)$ ) إلى الدالة ( $f(t)$ ). ويرمز لهذه العملية بالرمز  $L^{-1}$  فنجد أن:

$$L^{-1}[F(s)] = f(t)(9-2)$$

حيث إن:

$(F(s))$ =Laplace transformation of  $f(t)$

$L^{-1}$  = Inverse laplace transformation تحويل لا بلاس العكسي

### مثال 2-8 :

أوجد تحويل لا بلاس العكسي للدالة  $F(s) = \frac{1}{s+10}$

الحل :

باستخدام جدول تحويل لا بلاس نجد أن التحويل رقم 4 في الجدول (2-1) يتناسب مع هذا المثال حيث:

$a=10$  فيكون:

$$f(t) = L^{-1}\left[\frac{1}{s+10}\right] = e^{-10t}$$

### مثال 2-9 :

أوجد تحويل لا بلاس العكسي للدالة  $F(s) = \frac{27}{s^2 + 81}$

الحل :

بإعادة كتابة الدالة المعطاة كالتالي:

وباستخدام جدول تحويل لابلاس نجد أن التحويل رقم 6 في الجدول (2 - 1) يتاسب مع هذا المثال وأن هذه الدالة هي دالة جيبية مضروبة في عدد ثابت هو 3 حيث  $\omega = 9$  فيكون:

$$f(t) = L^{-1}[F(s)] = 3\sin 9t$$

عمليا يتم إيجاد تحويل لابلاس العكسي مباشرة من الجدول (2 - 1) مما يوفر الوقت المطلوب لحل المعادلات والدوال الرياضية. ولكن في معظم أنظمة التحكم الآلي تكون الدوال معقدة ومركبة ولا يمكن إيجادها مباشرة من جدول تحويل لابلاس. في هذه الحالة فإن الأمر يتطلب تبسيط معادلات الدوال الأصلية وذلك عن طريق تقسيمها إلى أجزاء بسيطة يمكن أن يحول كل جزء مباشرة من جدول تحويل لابلاس ويكون تحويل الدالة الأصلية هو عبارة عن مجموع التحويل اللابلاس لكل جزء على حده. الطريقة المستخدمة لتقسيم هذه الدوال هي طريقة الكسور الجزئية. بالرجوع إلى المعادلة (2 - 2) السابق النكر نجد أن :

$$G(s) = K \frac{(s - z_1)((s - z_2) \dots (s - z_m))}{(s - P_1)(s - P_2) \dots (s - P_n)}$$

حيث إن  $K$  مقدار ثابت وكل من أقطاب المعادلة وكذلك أصفار المعادلة ( $Z_1, Z_2, \dots, Z_m$ ) هي مقادير ثابتة وغير متساوية وكذلك درجة البسط أقل من درجة المقام فإن  $m < n$ . وتقسيم هذه الدالة إلى أجزاء بسيطة ينتهي الآتي:

$$F(s) = \frac{A_1}{s + p_1} + \frac{A_2}{s + p_2} + \dots + \frac{A_n}{s + p_n} \quad (10- 2)$$

حيث إن  $(A_1, A_2, \dots, A_n)$  ثوابت يمكن حسابها من المعادلات الآتية:

$$A_1 = |(s+p_1)F(s)|_{s=-p_1}$$

$$A_2 = |(s+p_2)F(s)|_{s=-p_2}$$

$$A_n = |(s+p_n)F(s)|_{s=-p_n}$$

وبالتعويض عن قيم الثوابت  $A_1, A_2, \dots, A_n$  في المعادلة (2-10) يمكن إيجاد التحويل اللاطلاسي العكسي. لهذه الدالة كما يلي:

$$F(t) = \mathcal{L}^{-1}[F(s)] = A_1 e^{-p_1 t} + A_2 e^{-p_2 t} + \dots + A_n e^{-p_n t}$$

### مثال 2-10 :

أوجد تحويل لاطلاس العكسي للدالة الآتية:

$$F(s) = \frac{(s+3)}{(s+1)(s=2)}$$

الحل:

يتم كتابة هذه الدالة على الصورة الآتية:

$$F(s) = \frac{A_1}{s+1} + \frac{A_2}{s+2}$$

وتحسب قيم الثوابت  $A_1, A_2$  كالتالي:

$$A_1 = \left| (s+1) \frac{s+3}{(s+1)(s+2)} \right|_{s=-1} = \frac{-1+3}{-1+2} = \frac{2}{1} = 2$$

$$A_2 = \left| (s+2) \frac{s+3}{(s+1)(s+2)} \right|_{s=-2} = \frac{-2+3}{-2+1} = \frac{1}{-1} = -1$$

و بالتعويض عن هذه الثوابت في المعادلة الأولى نحصل على:

$$F(s) = \frac{2}{s+1} - \frac{1}{s+2}$$

و بهذه الطريقة فإن الدالة المركبة قد تحولت إلى صورة مبسطة من جزئين ويكون التحويل اللا بلاسي العكسي لها هو:

$$F(t) = \mathcal{L}^{-1}\left[\frac{2}{s+1}\right] - \mathcal{L}^{-1}\left[\frac{1}{s+2}\right]$$

$$f(t) = 2e^{-t} - e^{-2t}$$

### مثال 2 :-

أوجد تحويل لا بلاس العكسي للدالة الآتية:

$$X(s) = \frac{200}{s(s+10)}$$

الحل:

يتم كتابة هذه الدالة على الصورة الآتية:

$$X(s) = \frac{A_1}{s} + \frac{A_2}{s+10}$$

وتحسب قيم الثوابت  $A_1, A_2$  كالتالي:

$$A_1 = \left. s \frac{200}{s(s+10)} \right|_{s=0} = \frac{200}{0+10} = 20$$

$$A_2 = \left. (s+10) \frac{200}{s(s+10)} \right|_{s=-10} = \frac{200}{-10} = -20$$

وبالتعويض عن هذه الثوابت في المعادلة الأولى نحصل على:

$$X(s) = \frac{20}{s} - \frac{20}{s+10}$$

$$\begin{aligned} f(t) &= \mathcal{L}^{-1}[X(s)] = \mathcal{L}^{-1}\left[\frac{20}{s}\right] - \mathcal{L}^{-1}\left[\frac{20}{s+10}\right] \\ f(t) &= 20 - 20e^{-10t} \end{aligned}$$

**مثال 2-12:**

أوجد تحويل لابلاس العكسي للدالة الآتية:

$$Y(s) = \frac{12}{s(s+1)(s+4)}$$

**الحل:**

يتم كتابة هذه الدالة على الصورة الآتية:

$$Y(s) = \frac{A_1}{s} + \frac{A_2}{s+1} + \frac{A_3}{s+4}$$

وتحسب قيم الثوابت  $A_1, A_2, A_3$  كالتالي:

$$A_1 = \left. s \frac{12}{s(s+1)(s+4)} \right|_{s=0} = \frac{12}{(0+1)(0+4)} = \frac{12}{4} = 3$$

$$A_2 = \left. (s+1) \frac{12}{s(s+1)(s+4)} \right|_{s=-1} = \frac{12}{1(-1+4)} = \frac{12}{-3} = -4$$

$$A_3 = \left. (s+4) \frac{12}{s(s+1)(s+4)} \right|_{s=-4} = \frac{12}{-4(-4+1)} = \frac{12}{-12} = 1$$

وبالتعويض عن هذه الثوابت في المعادلة الأولى نحصل على:

$$Y(s) = \frac{3}{s} - \frac{4}{s+1} + \frac{1}{s+4}$$

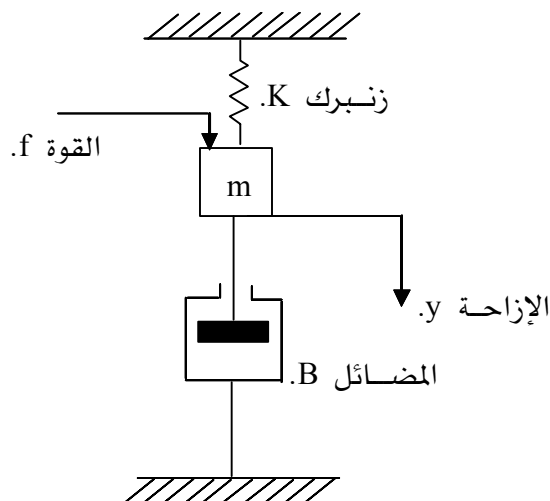
$$y(t) = \mathcal{L}^{-1}[Y(s)] = \mathcal{L}^{-1}\left[\frac{3}{s}\right] - \mathcal{L}^{-1}\left[\frac{4}{s+1}\right] + \mathcal{L}^{-1}\left[\frac{1}{s+4}\right]$$

$$y(t) = 3 - 4e^{-t} + e^{-4t}$$

## 6-2-2. نمذجة الأنظمة الميكانيكية الانتقالية modeling of translational Mechanical systems

تتكون الأنظمة الميكانيكية الانتقالية كما هو مبين بالشكل (2-8) من كتلة mass ومضائق spring وذنبرك dashpot. والمضائق يتكون من مكبس piston واسطوانة مملوءة بالزيت لكي يعطي

احتكاك لزج damping أو إخماد للحركة viscous friction عن طريق مقاومة الزيت عند مروره من إحدى جهتي المكبس إلى الجهة الأخرى.



شكل (2-8) نظام ميكانيكي انتقالى

وعند عمل نموذج رياضي لهذا النظام الميكانيكي أي للحصول على دالة التحويل لابد من تتبع الخطوات الآتية:

- 1 - يتم كتابة المعادلة التفاضلية لهذا النظام.
- 2 - يتم إجراء التحويل اللابلاسي للمعادلة التفاضلية مع فرض أن جميع القيم الابتدائية تساوى صفر.
- 3 - يتم الحصول على دالة التحويل والمعروفة بالنسبة بين الخرج والدخل.

وبتطبيق قانون نيوتن على هذا النظام والذي ينص على أن مجموع القوى المؤثرة على النظام تساوى حاصل ضرب الكتلة في العجلة وتمثل بالمعادلة:

$$\sum F = ma \quad (11-2)$$

حيث إن:

$m=mass$	الكتلة
$a=acceleration$	العجلة
force	القوة



وتكون عناصر النظام الميكانيكي انتقالياً الحركة هي:

A - الكتلة (Mass) M

وتعرف الكتلة بأنها الوزن مقسوم على الجاذبية الأرضية

$$M = \frac{W}{g}$$

حيث أن:

W = weight الوزن

g = gravity الجاذبية الأرضية (g=9.8066)

وتكون معادلة القوة المؤثرة على الكتلة  $f_m(t)$  كالتالي:

$$f_m(t) = Ma(t) = M \frac{d^2y(t)}{dt^2} = M \frac{dv(t)}{dt} (12-2)$$

حيث أن: V(t) هي السرعة.

B - الاحتكاك اللزج (Viscous Friction)

ويعبر عن معادلة القوة الناتجة عن الزبرك  $f_B(t)$  كالتالي:

$$f_B(t) = B \frac{dy(t)}{dt} (13-2)$$

حيث إن

B = viscous friction

معامل الاحتكاك اللزج

y(t) = displacement

الازاحة الخطية التي تحرركها الكتلة

## ج - الزنبرك الخطى (K) Linear Spring

يعبر عن معادلة القوة الناتجة عن الزنبرك  $f_k(t)$  كالتالي:

$$f_k(t) = Ky(t) \quad (14-2)$$

حيث إن (K) ثابت الزنبرك ويتطبيق قانون نيوتن المبين بالمعادلة (4-1) على النظام المبين بالشكل

(4-8) ينتج الآتي:

$$\begin{aligned} f &= B \frac{dy}{dt} - Ky = m \frac{d^2y}{dt^2} \\ \therefore f &= m \frac{d^2y}{dt^2} + B \frac{dy}{dt} + Ky \end{aligned} \quad (15-2)$$

بإجراء التحويل اللابلاسي للمعادلة (15-2) كل جزء على حد ينتج أن:

$$\ell[m \frac{d^2y}{dt^2}] = m[s^2 Y(s) - sy(0) - y'(0)]$$

$$\ell[B \frac{dy}{dt}] = B[sY(s) - y(0)]$$

$$\ell[Ky] = KY(s)$$

$$\ell[f] = F(s)$$

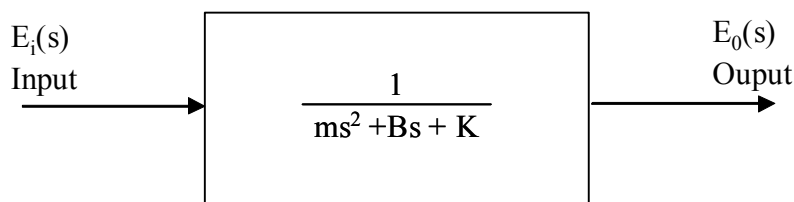
وبفرض أن جميع القيم الابتدائية تساوى صفر أي أن:

$$(ms^2 + Bs + K)Y(s) = F(s) \quad (16-2)$$

وتكون دالة التحويل باعتبار أن القوة المؤثرة على الكتلة هي الدخل وأن الإزاحة التي تتحرك بها الكتلة هي الخرج كما هو مبين بالمعادلة (4-7):

$$T.F. = \frac{Y(s)}{F(s)} = \frac{1}{ms^2 + Bs + K} \quad (17-2)$$

ويكون المخطط الصندوقي لهذا النظام كالتالي:

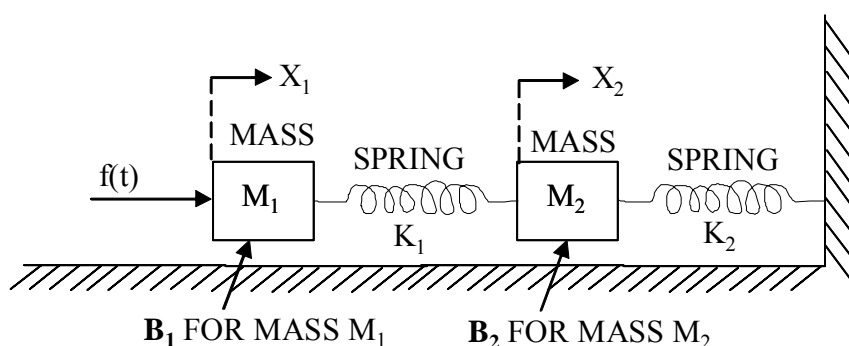


شكل (2-9) المخطط الصندوقي لنظام ميكانيكي انتقالى

مما سبق يتضح أن القوة التي يعطيها الزنبرك  $Ky$  تتناسب مع الإزاحة  $y$  طردياً وتكون بالسالب لأنها تقاوم حركة النظام. كذلك المضائق يعطي قوة  $B(dy/dt)$  تتناسب مع السرعة  $(dy/dt)$  طردياً وتكون أيضاً إشارتها سالبة . وكذلك يمكن إجرا ، التحويل اللاللابسى مباشرة للمعادلات التفاضلية طالما فرضنا أن القيم الابتدائية تساوى صفر وذلك بوضع  $s$  بدلاً من التفاضل الأول  $(d/dt)$  ووضع  $s^2$  بدلاً من التفاضل الثاني  $(d^2/dt^2)$  وهذا كما هو مبين في المعادلة (6-4).

### مثال (2-13):

اكتب المعادلات التفاضلية لنظام الميكانيكي المبين بالشكل (2-10) مع إيجاد دالة التحويل لهذا النظام.



شكل (2-10) نظام ميكانيكي انتقالى



الحل:

المعادلة التفاضلية الأولى بالنسبة إلى نقطة الإزاحة  $x_1$ 

$$f(t) = M_1 \frac{d^2 x_1}{dt^2} + B_1 \frac{dx_1}{dt} + K_1(x_1 - x_2)$$

المعادلة التفاضلية الثانية بالنسبة إلى نقطة الإزاحة  $x_2$ 

$$0 = M_2 \frac{d^2 x_1}{dt^2} + B_1 \frac{dx_1}{dt} + K_1(x_1 - x_2)$$

بإجراء التحويل اللابلاسي للمعادلتين ينتج أن :

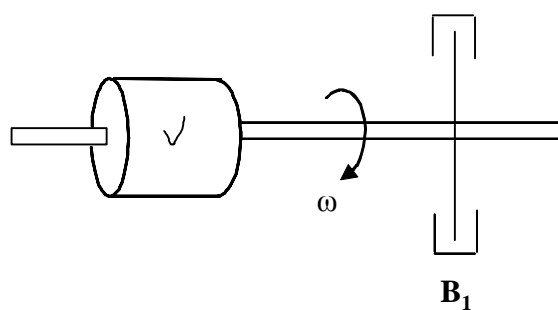
$$F(s) = (M_1 s^2 + B_1 s + K_1) X_1(s) - K_1 X_2(s)$$

$$0 = (M_2 s^2 + B_2 s + K_2) X_2(s) + (K_2 - K_1) X_1(s)$$

وبالتعويض عن  $X_1(s)$  بدلالة  $X_2(s)$  يمكن الحصول على دالة التحويل  $(F(s)/X_2(s))$ 

## 7-2-2. نمذجة الأنظمة الميكانيكية الدورانية Modeling of Rotational Mechanical Systems

بدراسة النظام الميكانيكي الدوار المبين بالشكل (2 - 11) نجد أنه يتكون من عزم قصور ذاتي لحمل ميكانيكي يدار بعمود دوران بسرعة دورية  $\omega$  قدرها  $\omega$  في وجود احتكاك لزج  $T$  وهذا النظام من الناحية العملية يمل الأجزاء الدورانية في المحركات الكهربائية حيث أن  $T$  هو العزم الناتج في المحرك و  $B_1$  هو عزم القصور الذاتي للعضو الدوار وهو معامل الاحتكاك في كراسى المحاور و  $\omega$  هي السرعة الزاوية.



شكل (2 - 11) نظام ميكانيكي دوري

حيث إن:

$J$ =moment of inertia of the load

عزم القصور الذاتي للحمل

$f$ =viscous-friction coefficient

معامل الاحتكاك اللزج

$\omega$  angular velocity (rad/sec)

السرعة الزاوية لدوران العمود

$T$ =torque applied to the system

العزم الميكانيكي للنظام

وبالنسبة للأنظمة الميكانيكية الدوارة يتم تطبيق قانون نيوتن في حالة الحركة الدورانية لتمثيل هذا النظام رياضياً للحصول على دالة التحويل والذي ينص على مجموع العزوم المؤثرة على عمود الدوران تساوي حاصل ضرب عزم القصور الذاتي ( $J \times$  العجلة الزاوية ( $\alpha$ )) أي أن:

$$\sum T = J\alpha \quad (18-2)$$

حيث إن:

$\alpha$ =angular acceleration ( rad/sec<sup>2</sup> )

العجلة الزاوية

وتكون عناصر النظام الميكانيكي الدوراني الحركي هي:

### أ - عزم القصور الذاتي (J) Inertia

تكون معادلة العزم المؤثرة على جسم له عزم قصور ذاتي ( $J$ ) كالتالي:

$$T(t) = J\alpha(t) = J \frac{d\omega(t)}{dt} = J \frac{d^2\theta(t)}{dt^2} \quad (19-2)$$

حيث إن: ( $\theta(t)$  هي الإزاحة الزاوية

**ب - الاحتكاك اللزج (velocity friction)  $B$** 

ويعبر عن معادلة العزم  $T_B(t)$  كالتالي:

$$T_B(t) = B \frac{d(\theta)}{dt} (20 - 2)$$

حيث إن:

$$\begin{aligned} B &= \text{viscous friction} \\ \theta(t) &= \text{angular displacement} \quad = \quad \text{الإزاحة الدورانية} \end{aligned}$$

**ج - الزنبرك الدوراني (K) Torsional Spring**

ويعبر عن معادلة العزم الخاصة بالزنبرك كالتالي:

$$T_k(t) = K\theta(t) (21 - 2)$$

حيث إن  $(K)$  ثابت الزنبرك (spring constant)

وبتطبيق قانون نيوتن المبين بالمعادلة (4-8) على النظام المبين بالشكل (4-10) ينتج الآتي:

$$\begin{aligned} T - B\omega &= J \frac{d\omega}{dt} \quad (22-2) \\ \therefore T &= J \frac{d\omega}{dt} + B\omega \end{aligned}$$

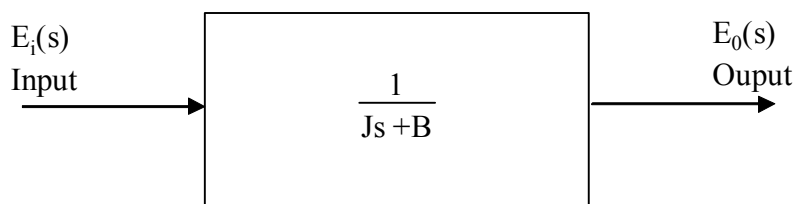
باجراء التحويل اللابلاسي للمعادلة (22-2) بفرض أن القيم الابتدائية تساوى صفر، ينتج أن:

$$T(s) = (J_s + B)\omega(s)(23 - 2)$$

على ذلك فإن دالة التحويل باعتبار السرعة الزاوية هي الخرج والعزم هو الدخل هي:

$$\frac{\omega(s)}{T(s)} = \frac{1}{J_s + B} (24 - 2)$$

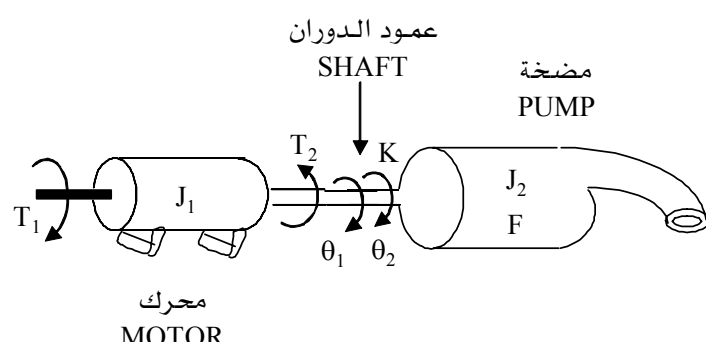
ويكون المخطط الصندوقي لهذا النظام كالتالي:



شكل (2-12) المخطط الصندوقي لنظام ميكانيكي دوار

### مثال (2-13):

اكتب المعادلات التفاضلية للنظام الميكانيكي المبين بالشكل (2-13) مع إيجاد دالة التحويل لهذا النظام.



شكل (2-13) نظام ميكانيكي دوار



الحل:

بكتابه المعادلات التفاضلية بالنسبة ل  $\theta_1$  وبالنسبة ل  $\theta_2$  على التوالي ينتج أن:

$$\begin{aligned} T_1 &= (J_1 s^2 + K)\theta_1 - K\theta_2 \\ \theta &= K\theta_1 + (Js^2 + Fs + K)\theta_2 \end{aligned}$$

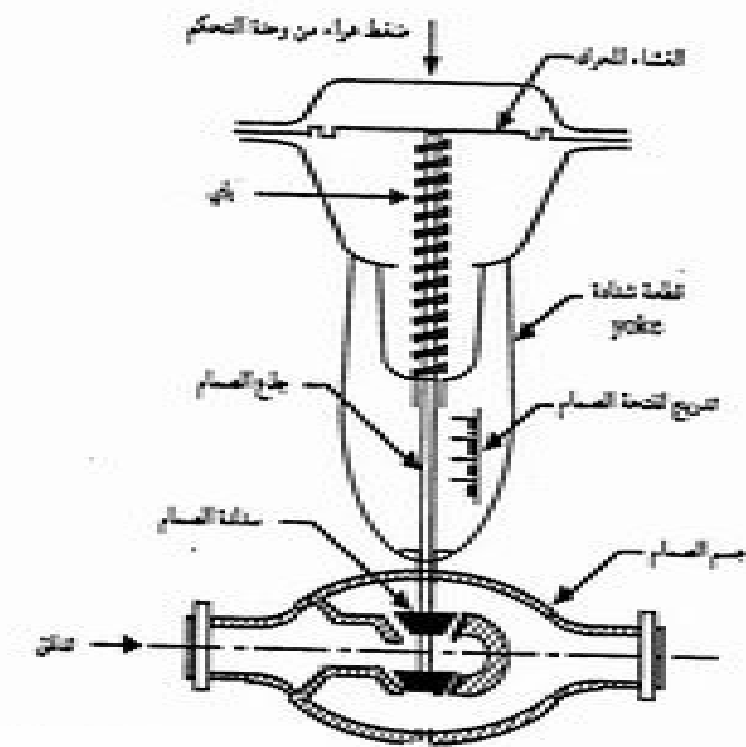
وبالتعويض عن  $\theta_1$  بدلالة  $\theta_2$  نحصل على دالة التحويل.

### 3-2. صمامات التحكم Control Valves

والشكل (2-14) يبين صمام تحكم هوائي، وكما هو واضح من ارسم فإن صمام التحكم الهوائي يتكون من جزئين رئيسيين هما:

المشغل

جسم الصمام Valve Body



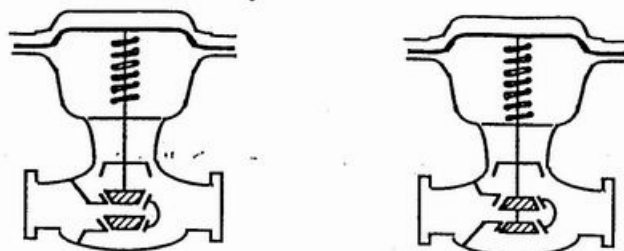
الشكل 2-14 صمام التحكم الهوائي



فالمشغل يقوم بتحويل إشارة ضغط الهواء إلى حركة عمودية، وجسم الصمام يتحكم في فتحة الصمام ومن ثم مقدار معدل تدفق السائل أو الغاز عبر الصمام.

وكما هو مبين في الشكل 2-15 تنقسم صمامات التحكم الهوائية إلى نوعين رئيسين هما صمامات ذات فعل مباشر Direct Action Valves وهي التي تغلق مع زيادة ضغط الهواء

صممات ذات فعل عاكس Reverse Action Valves وهي التي تفتح مع زيادة الضغط



صمام تحكم ذو فعل عاكس مزدوج القاعدة  
(مفتوحا طبيعيا)  
صمام تحكم ذو فعل مباشر مزدوج القاعدة  
(مغلقا طبيعيا)

الشكل 2-15-1 نوعي صمامات التحكم الهوائي

### تحديد الحجم الأمثل لصمام التحكم Control Valve Sizing

تحديد الحجم الأمثل لصمام التحكم طريقة هندسية متبرعة لإيجاد الحجم الصحيح لصمام التحكم اللازم لغرض محدد ، و "معامل تدفق الصمام" الذي عبارة عن كمية السائل التي تمر في الدقيقة عبر الصمام في الوضع المفتوح كاملا مع فرق ضغط 1psi ، وكمثال على ذلك إذا كان معامل تدفق الصمام  $C_v = 5$  فإن ذلك يعني أنه يتدفق خمسة غالونات في الدقيقة من الماء عندما يكون الصمام كاملا ، وفرق الضغط 1psi.

ويوضح الجدول (2-2) قيم معامل تدفق الصمام التقريرية لصممات تحكم ذات أحجام شائعة.

## الجدول (2) حجم الصمام بدلالة معامل التدفق

معامل تدفق الصمام $C_v$	حجم الصمام
0.3	025
3	0.5
14	1
35	1.5
55	2
108	3
174	4
400	6
725	8
1100	10

ويتم تحديد الحجم الأمثل لصمام التحكم حسب نوع المائع كالتالي:

$$Q_L = C_v \sqrt{\frac{P_1 - P_2}{G_L}} \quad \text{للسوائل:}$$

$$Q_G = 960C_v \sqrt{\frac{(P_1 + P_2)(P_1 - P_2)}{G_R(T + 460)}} \quad \text{للغازات:}$$

$$W = 90C_v \sqrt{\frac{P_1 - P_2}{V_1 + V_2}} \quad \text{للبخار:}$$

حيث:

$C_v$ : معامل تدفق الصمام

$G_R$ : معامل الجاذبية للغاز

$G_L$ : معامل الجاذبية للسائل

$W$ : معدل تدفق البخار (lb/hour)

$P_1$ : الضغط عند مدخل الصمام (psi)

$P_2$ : الضغط عند مخرج الصمام (psi)

$Q_G$ : معدل تدفق الغاز ( $\text{ft}^3/\text{hour}$  at  $14.7\text{psia}$  and  $60^\circ\text{F}$ )

$Q_L$ : معدل تدفق السائل (Gallon/min)

$T$ : درجة حرارة الغاز (Degree F)

$V_1$  : الحجم النوعي للبخار عند مدخل الصمام  
( $\text{ft}^3/\text{lb}$ ) Inlet

$V_2$  : الحجم النوعي للبخار عند مخرج الصمام  
( $\text{ft}^3/\text{lb}$ ) Outlet

**مثال:**

أوجد حجم صمام التحكم اللازم للتحكم في تدفق سائل إذا علمت أن  $G_L = 0.92$ , Safety Factor=0.25،  $P_1-P_2=60\text{psi}$ ،  $Q_{\max}=320\text{Galon/lmin}$   
يعنى أن  $Q_L=1.25Q_{\max}$

**الحل:**

$$\text{من المعادلة : } Q_L = C_v \sqrt{\frac{P_1 - P_2}{G_L}}$$

$$\text{نحصل على } C_v = Q_L \sqrt{\frac{G_L}{P_1 - P_2}}$$

وبالتعويض عن  $P_1-P_2$  و  $Q_L$  نحصل على  $C_v=49.5$ ، ومن الجدول 5 - 1 يكون حجم الصمام يساوي 2 inches

#### 4-4. أنواع المتحكمات الصناعية Types of Industrial Controller

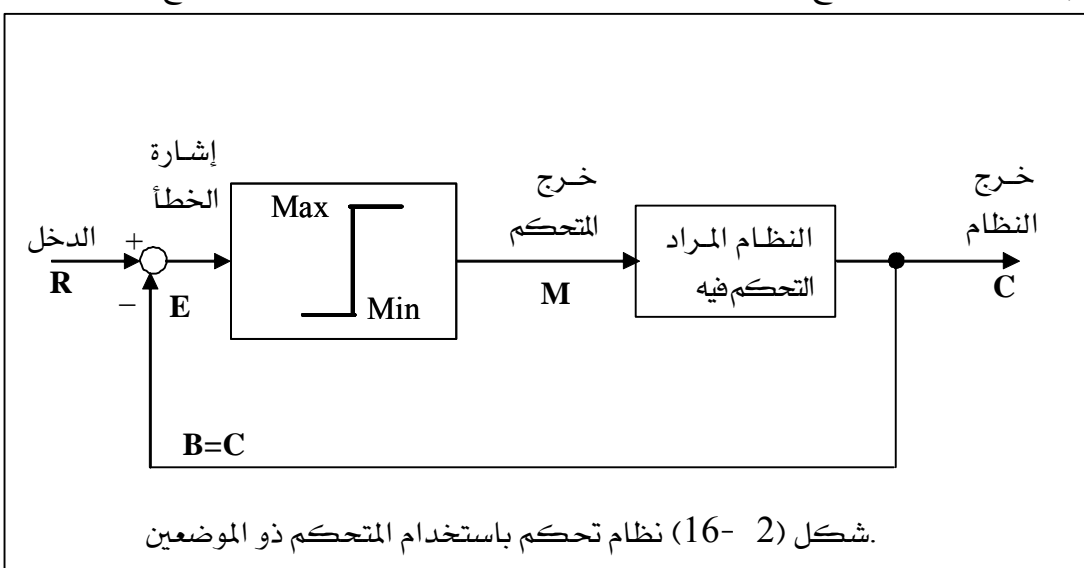
ولما كانت أهمية استخدام المتحكمات في الصناعة غير محدودة فإن هناك أنواع عديدة من هذه المتحكمات يمكن تصنيفها حسب فعل المتحكم وهي كالتالي:

- 1 - المتحكم ذو الموضعين (ON-OFF) Controller
- 2 - المتحكم التناصبي (P-Controller)
- 3 - المتحكم التكاملي (Integral Controller) (I-Controller)
- 4 - المتحكم التفاضلي (Differential Controller) (D-Controller)
- 5 - المتحكم التناصبي التكاملي (PI-Controller)
- 6 - المتحكم التناصبي التفاضلي (PD-Controller)
- 7 - المتحكم التناصبي التكاملي التفاضلي (PID-Controller)

وفيما يلي سوف ندرس كل نوع من هذه الأنواع من حيث نظرية عمله والمعادلات التي تصف عمله ودالة التحويل الخاصة به بالإضافة إلى رسم المخطط الصندوقي وكذلك علاقة إشارة دخل المتحكم بإشارة خرجه.

#### 4-1. المتحكم ذو الموضعين Two-position (ON-OFF) Controller

وتعتمد نظرية عمل هذا النوع كما هو مبين بالشكل (2-16) على أن يكون خرج المتحكم  $M$  في أحد موضعين ثابتين (قيمة عظمى أو قيمة صغرى) ولا يأخذ أي موضع آخر. ومثال لذلك عندما يمر بخار في صمام فإنه قد يكون مفتوح بالكامل ليمر منه البخار أو مغلق بالكامل ليمنع مرور البخار.



شكل (2-16) نظام تحكم باستخدام المتحكم ذو الموضعين.

ويمكن تمثيل عمل هذا المتحكم بالمعادلات الآتية:

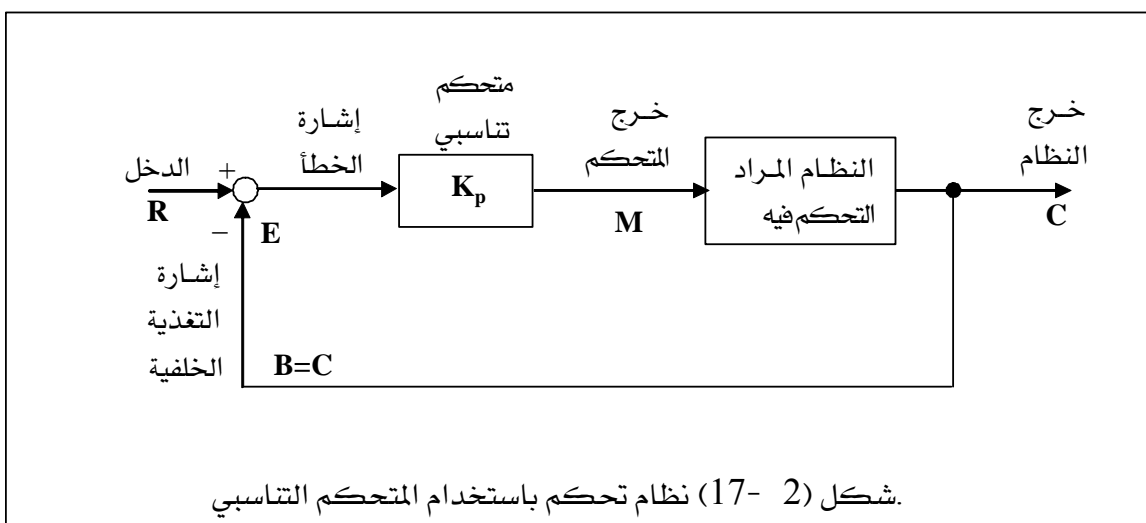
$$M = \text{Max} \quad \text{for } E > 0 \quad (25)$$

$$M = \text{Min} \quad \text{for } E < 0 \quad (26)$$

وهذا يعني أن خرج المتحكم  $M$  تكون قيمته عظمى (الوضع الأعلى) في حالة إذا كانت إشارة الخطأ موجبة، وتكون قيمتها صغرى في حالة إذا كانت إشارة الخطأ سالبة. ومن أحد التطبيقات التي تستخدم هذا النوع من التحكمات هو التحكم في مستوى المياه في خزان باستخدام عمامة والتي تسبب إغلاق أو فتح دائرة كهربائية كلما قل أو زاد مستوى المياه في الخزان على التوالي، حيث أن الدائرة الكهربائية تكون مسؤولة عن فتح أو قفل صمام دخول المياه للخزان.

## 2-4-2. المتحكم التناصبي (Proportional Controller (P-Controller

وتعتمد نظرية عمل هذا النوع كما هو مبين بالشكل (2-17) على قيام المتحكم بضرب إشارة الخطأ في مقدار ثابت  $K_p$  يسمى الكسب التناصبي.



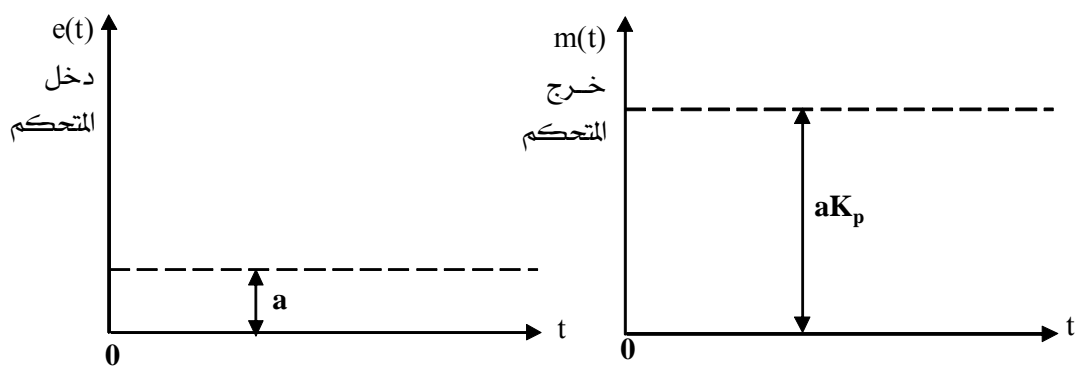
ومن خصائص هذا المتحكم أنه كلما زادت قيمة كسب المتحكم  $K_p$  تقل قيمة الخطأ أي أن التناوب بينهما عكسيًا. ولكن نجد أن زيادة  $K_p$  يمكن أن تسبب زيادة في عدد ترددات خرج النظام أو عدم استقرار النظام. لذا يجب اختيار قيمة  $K_p$  لتواءم متطلبات تقليل الخطأ (أي زيادة الدقة) ومتطلبات الاستقرار في نفس الوقت. والمعادلات التالية تبين العلاقة بين دخل المتحكم وخرجه كما يلى:

$$m(t) = K_p e(t) \quad (27-2)$$

$$M(s) = K_p E(s) \quad (28-2)$$

$$\frac{M(s)}{E(s)} = K_p \quad (29-2)$$

ويبين الشكل (2-18) العلاقة بين إشارتي الدخول والخروج للمتحكم التناصبي. فإذا كانت قيمة إشارة دخل المتحكم إشارة الخطأ (a) فولت مثلاً فإن قيمة إشارة خرج المتحكم هي حاصل ضرب كسب المتحكم  $K_p$  في قيمة الخطأ a.



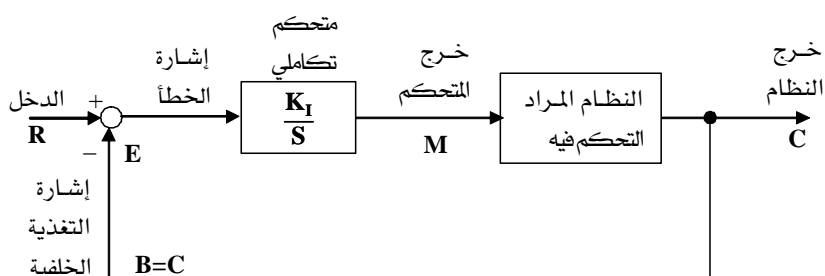
شكل (2-18) إشارتي دخل وخرج المتحكم التناصبي.

ويوضح من هذا أن عمل المتحكم التناصبي أساسا هو كمكرو وهناك أنواع كثيرة في الحياة العملية لهذا النوع من التحكم منها التي تعمل بالهواء المضغوط والتي تعمل بالزيت أو بالماء المضغوط بالإضافة إلى المكبرات الإلكترونية والمكبرات المغناطيسية والمكبرات الكهربائية.

### I-Controller 3-4-2

وتعتمد نظرية عمل هذا النوع على قيام هذا المتحكم بإجراء عملية تكامل لإشارة الخطأ كما هو مبين بالشكل (2-19) والمعادلات التالية. ويتميز هذا النوع من التحكم بأنه يلاشى الخطأ ويمكن توضيح ذلك من المعادلة الأولى بفرض أن النظام كان في حالة الاستقرار وأن الخرج يساوي الدخل أي أن ( $R=C$ ) وبذلك تكون إشارة الخطأ تساوى صفر أي أن:

$$E=R-C=0$$



شكل (2-19) نظام تحكم باستخدام المتحكم التكاملي.

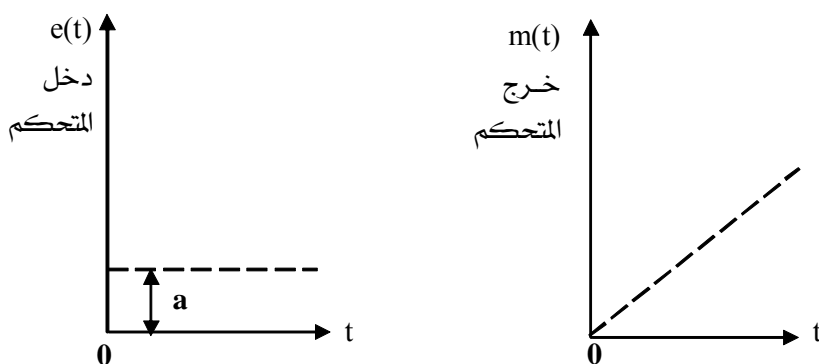
وتكون المعادلات التي توصف هذا النظام كالتالي :

$$m(t) = K_I \int_0^t e(t) dt \quad (30-2)$$

$$M(s) = K_I \frac{1}{s} E(s)$$

$$\frac{M(s)}{E(s)} = \frac{K_I}{s} \quad (31-2)$$

إذا حدث نقص مفاجئ في خرج النظام بحيث أصبح الفرق بين الدخول والخرج مقدار ثابت  $a$  كما هو مبين في الشكل (20) والذي يوضح العلاقة بين دخل وخرج المتحكم التكاملي في حالة استخدامه للتحكم في نظام ذو دائرة مغلقة أي أن الخطأ يصبح  $e(t) = a$ .



شكل (20) إشارتي دخل وخرج المتحكم التكاملي.

فيصبح خرج المتحكم طبقاً للمعادلة (30-2) كالتالي:

$$m(t) = K_I \int_0^t a dt$$

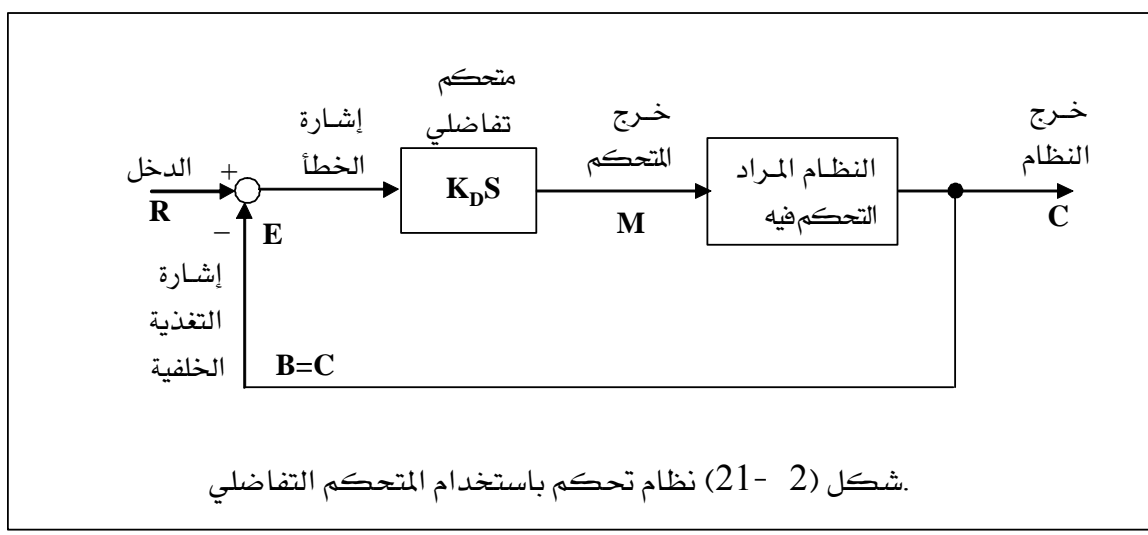
$$m(t) = K_I a t + C \quad (32-2)$$

من هذا يتضح أنه بزيادة الزمن  $t$  فإن خرج المتحكم  $m(t)$  يستمر في التزايد كما هو مبين في الشكل (20) وهذا التزايد يؤثر على النظام المراد التحكم فيه حتى يزداد الخرج ويتساوى مع الدخل وتصبح إشارة الخطأ صفر. وبذلك يلاشى المتحكم التكاملي الخطأ بين الدخل والخرج بتعديل قيمة الخرج حتى تتساوى تماماً مع قيمة الدخل . وهذا النوع من التحكم بالرغم من أنه يحقق الدقة المطلوبة ويؤدي إلى تلاشي الخطأ بين الدخل والخرج إلا أنه قد يؤدي إلى عدم استقرار النظام إذا كانت قيمة  $K_I$  عالية .

ويسمى الثابت  $K$ ، معدل إعادة الضبط reset rate أي المعدل الذي يعمل به المتحكم لإعادة ضبط الخرج  $C$  لتتساوى مع قيمة الدخل  $R$ . وكلما زادت قيمة هذا المعدل  $K$  كلما كانت عملية إعادة الضبط أسرع ، ولكن هذا قد يؤدي إلى وجود ترددات كثيرة في الخرج أو عدم الاستقرار لذا يجب اختيار القيمة المناسبة لهذا المعدل  $K$ . وكما هو الحال في المتحكمات التناوبية فإن المتحكمات التكاملية الصناعية تكون مزودة عادة بوسيلة لضبط  $K$  لتناسب التطبيق العلمي.

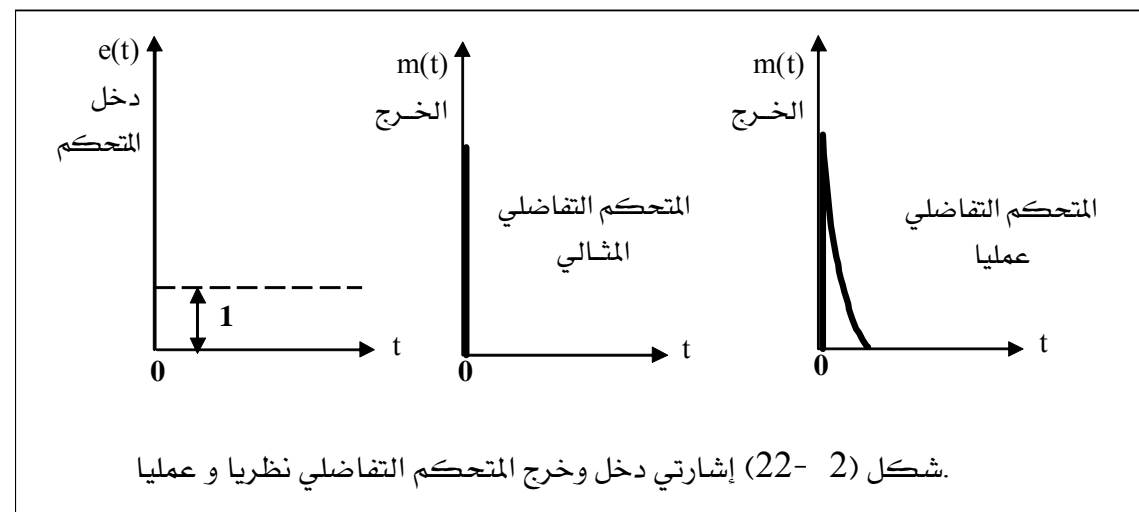
#### 4-4-2. المتحكم التفاضلي D-Controller

وتعتمد نظرية عمل هذا النوع على قيام هذا المتحكم بإجراء عملية تفاضل لإشارة الخطأ كما هو مبين بالشكل (2-21). والمتحكم التفاضلي يسمى في بعض الأحيان controller rate حيث إن المتحكم يعمل على أساس معدل تغير إشارة الخطأ بالنسبة للزمن.



شكل (2-21) نظام تحكم باستخدام المتحكم التفاضلي.

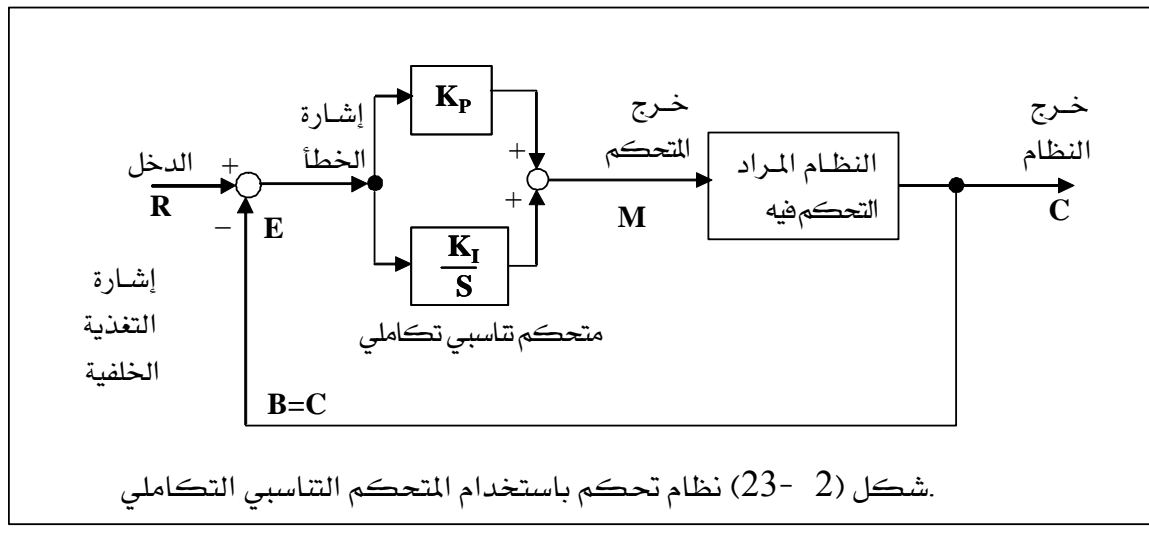
ويلاحظ أن في حالة ثبات قيمة دخل المتحكم التفاضلي (ثابت إشارة الخطأ) فإن خرج المتحكم التفاضلي يساوي صفرًا وذلك لأن تفاضل المقدار الثابت يساوي صفرًا. ولذا فإن المتحكم التفاضلي لا يستخدم بمفرده في الحياة العملية لأنه يعمل فقط في الحالات العابرة أي أثناء تغير إشارة الخطأ. ويبين شكل (2-22) العلاقة بين دخل وخرج المتحكم في حالة ما تكون إشارة دخل المتحكم عبارة عن حالة قفزة قدرها الوحدة unit step function.



ومن الملاحظ أن خرج المتحكم التفاضلي يساوي صفر عند ثبات قيمة إشارة الدخول أما في لحظة ( $t=0$ ) وأنباء تغيير إشارة دخل المتحكم من صفر إلى واحد فإن خرج المتحكم يكون عبارة عن نسبة لها قيمة مرتفعة وسرعان ما تصل إلى الصفر عند ثبات قيمة الدخول هذا من الناحية النظرية (متحكم تفاضلي مثالي). وعملياً فإن خرج المتحكم التفاضلي يأخذ بعض الوقت (زمن قليل جداً) للوصول إلى الصفر. وإذا كانت إشارة دخل المتحكم التفاضلي عبارة عن حالة انحدار  $X(t)=0$  فإن خرج المتحكم في هذه الحالة يساوي مقدار ثابت. والعيوب الرئيسي في المتحكم التفاضلي أنه يكبر إشارة الضوضاء فإذا كانت إشارة دخل المتحكم التفاضلي محملة ببعض الضوضاء فإن المتحكم سوف يكبر هذه الضوضاء وهذا قد يؤدي إلى مشاكل من الناحية العملية حيث أن معظم الإشارات في التطبيقات العملية تكون محملة بنسبة من الضوضاء.

#### 5-4-2. المتحكم التناصبي التكاملي PI-Controller

وتعتمد نظرية عمل هذا النوع على كل من فعل المتحكم التناصبي بالإضافة إلى فعل المتحكم التكاملي أي أنه يقوم بضرب إشارة الخطأ في رقم ثابت  $K_p$  بالإضافة إلى تكاملها كما هو موضح في المخطط الصندوقى المبين في الشكل (2-23) للمتحكم التناصبي التكاملي فإن المقدار الثابت  $K_p$  هو كسب الجزء التناصبي من المتحكم أما  $K_I$  فهو كسب الجزء التكاملي. وبعض الشركات الصناعية تستخدم معامل آخر للجزء التكاملي من المتحكم هو  $\frac{1}{K_I} = T_I$  وفي هذه الحالة يتم تمثيل الجزء التكاملي بالمقدار  $(\frac{1}{T_IS})$ . والمتحكمات الصناعية من هذا النوع تزود عادة بوسيلة لضبط كل من  $K_p$ ,  $K_I$ , or  $T_I$  للتمكن من اختيار القيم المناسبة حسب الاستخدامات والتطبيقات في الحياة العملية.



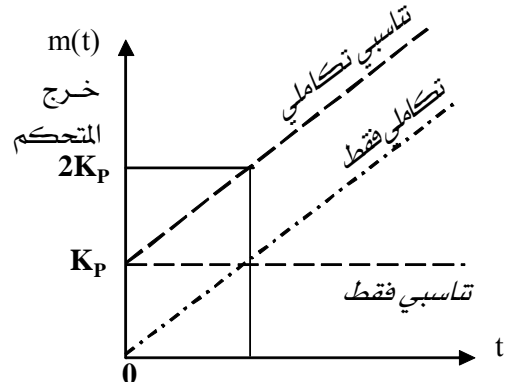
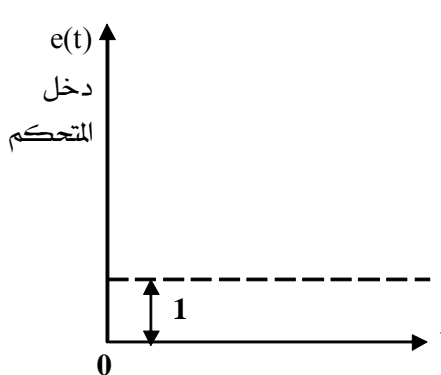
وينضح العمل الأساسي لهذا النوع من المتحكمات من المعادلات الآتية:

$$m(t) = K_p e(t) + K_i \int_0^t e(t) dt \quad (23-2)$$

$$M(s) = K_p E(s) + \frac{K_i}{s} E(s) = (K_p + \frac{K_i}{s}) E(s)$$

$$\frac{M(s)}{E(s)} = K_p + \frac{K_i}{s} \quad (24-2)$$

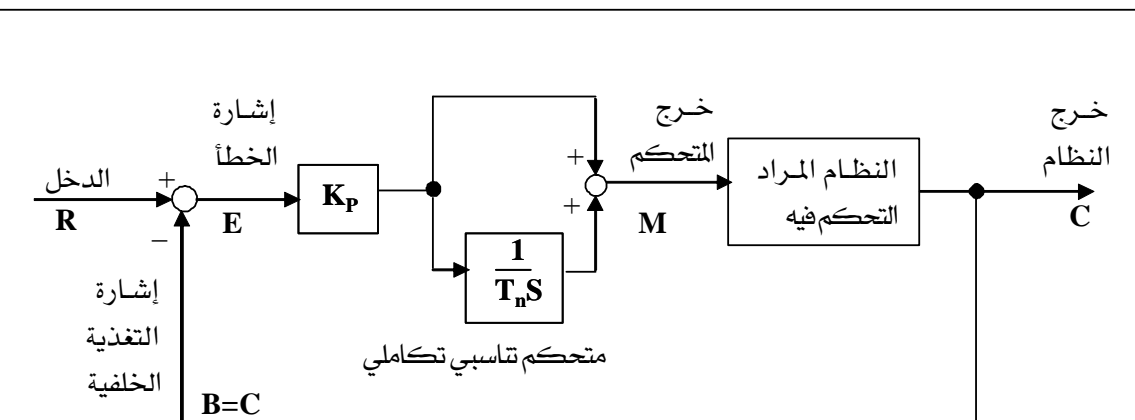
ويبي شكل (24) العلاقة بين دخل وخرج المتحكم. فإذا كانت قيمة إشارة الخطأ تساوي 1. فإن الخرج يكون كما هو موضح بالشكل. أما إذا كان المتحكم التابسي فقط يكون خرج المتحكم قيمة ثابتة  $K_p$  لا كما موضح بالخط الأفقي. أما في حالة المتحكم التابسي التكاملية تتزايد قيمة خرج المتحكم كما موضح بالخط المائل العلوي.



شكل (2-24) إشارتي دخل وخرج المتحكم التاسبي التكامل.

ويلاحظ أن الطريقة التي تم توصيل المتحكم التاسبي التكامل بـ شكل (2-23) تسمى طريقة تركيب التوازي.

ويوجد طريقة أخرى أكثر شيوعاً لتوصيل المتحكم التاسبي التكامل في الحياة العملية تسمى طريقة تركيب التوالى كما هو مبين بالشكل (2-25).



شكل (2-25) التركيب التوالى للمتحكم التاسبي التكامل.

وبإعادة كتابة المعادلة (2-34) السابقة بعد ضرب الجزء التكاملى في  $(\frac{K_p}{K_p})$  وتصبح المعادلة:

$$\frac{M(s)}{E(s)} = K_p + \frac{K_I}{s} \frac{K_p}{K_p}$$

$$\frac{M(s)}{E(s)} = K_p \left(1 + \frac{K_I}{K_p s}\right)$$

$$\frac{M(s)}{E(s)} = K_p \left(1 + \frac{1}{\frac{K_p}{K_I} s}\right)$$

$$\frac{M(s)}{E(s)} = K_p \left(1 + \frac{1}{T_n s}\right) \quad (35-2)$$

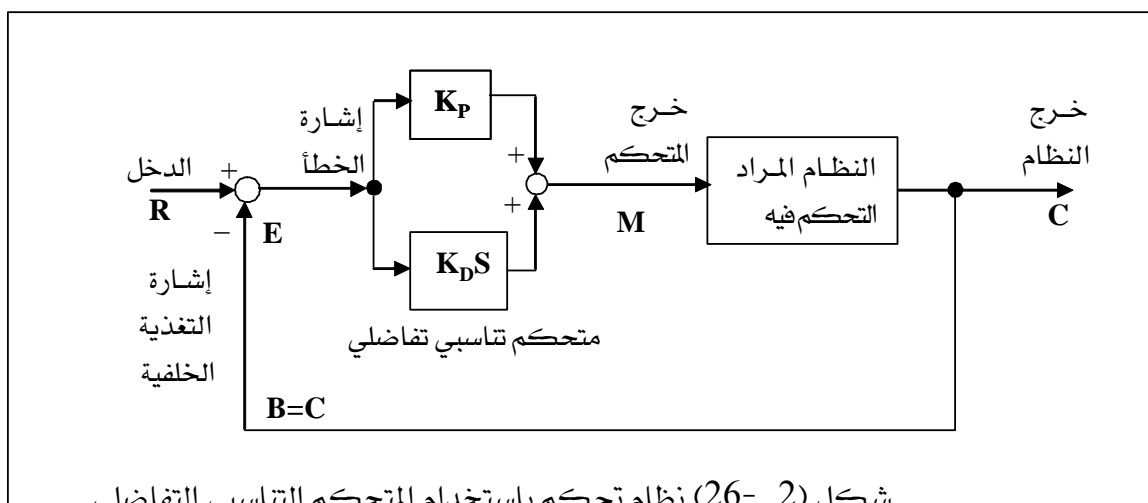
حيث إن:

$$T_n = \frac{K_p}{K_I} = K_p T_I$$

وتزود هذه المتحكمات أيضاً في الحياة العملية بوسيلة لضبط قيم كل من  $K_p$ ,  $T_n$  ويتبين من شكل (7-8) أن تغيير  $K_p$  يؤثر على الجزء التناصبي والجزء التكاملـي في نفس الوقت أما تغيير  $T_n$  فيؤثر على الجزء التكاملـي فقط.

#### 6-4-2. المتحكم التناصبي التفاضلي PD-Controller

وتعتمد نظرية عمله على كل من فعل المتحكم التناصبي وفعل المتحكم التفاضلي أي أنه يقوم بضرب إشارة الخطأ في رقم ثابت  $K_p$  بالإضافة إلى تفاضلها كما هو مبين بالشكل (26-).



شكل (26) نظام تحكم باستخدام المتحكم التناصبي التفاضلي.

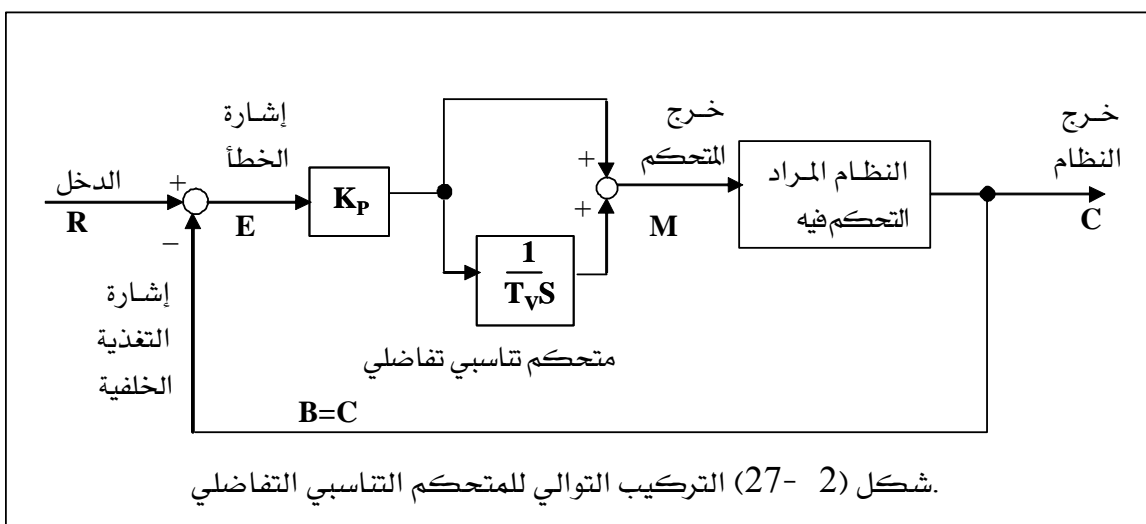
ويوضح العمل الأساسي لهذا المتحكم من المعادلات الآتية:

$$m(t) = K_p e(t) + K_D \frac{d}{dt} e(t) \quad (36-2)$$

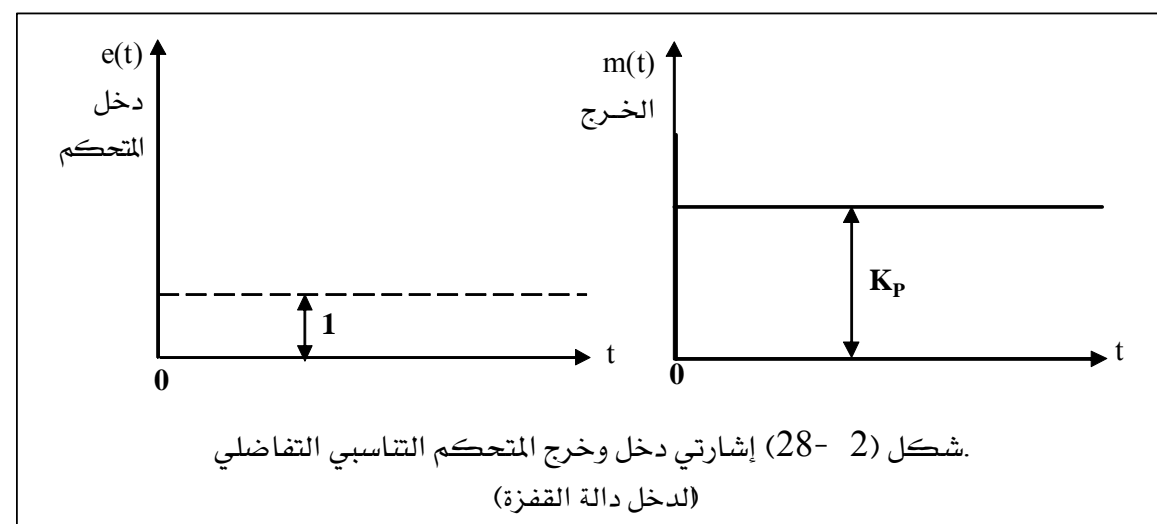
$$M(s) = K_p E(s) + K_D s E(s)$$

$$\frac{M(s)}{E(s)} = K_p + K_D s \quad (37-2)$$

ويبيّن شكل (2-27) المتحكم التناصبي التفاضلي في حالة التركيب التوالي. ويسمى  $T_v$  زمن التفاضلي. وفي الحياة العملية فإنه يمكن ضبط قيمة كل من  $K_p$ ،  $T_v$ ،  $K_D$ .



وبدراسة الشكل (2-28) الذي يوضح إشارات الدخول والخرج للمتحكم التناصبي التفاضلي نجد أنه عندما تكون إشارة دخل المتحكم (إشارة الخطأ) عبارة عن حالة قفزة قدرها وحدة نجد أن التأثير السائد هو فعل المتحكم التناصبي أما المتحكم التفاضلي فإن تأثيره يظهر فقط في البداية عند ( $t=0$ ) أي أثناء تغير إشارات الدخول للمتحكم.



أما إذا كانت إشارات دخل المتحكم التناصبي عبارة عن دالة انحدار قدرها الواحد فإن إشارة الخرج تكون:

$$m(t) = K_p t + K_D \frac{dt}{dt}$$

$$m(t) = K_p t + K_D \quad (38-2)$$

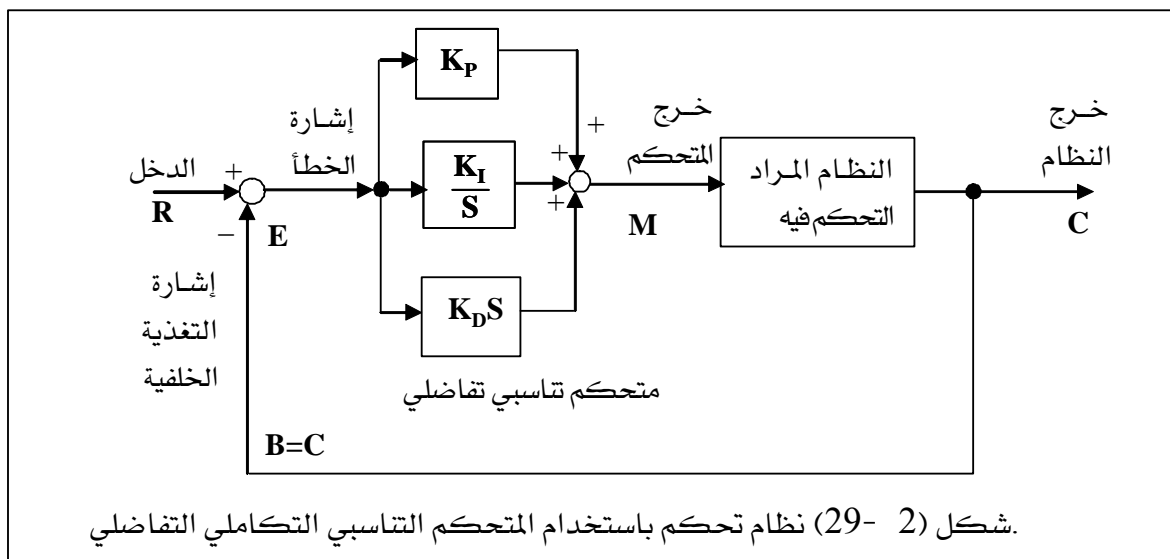
وعلى ذلك تكون إشارات دخل وخرج المتحكم كما مبين في الشكل (2-28) ويلاحظ أن فعل المتحكم التفاضلي يسبق فعل المتحكم التناصبي بالفترة الزمنية التي تسمى زمن التفاضل  $T_v$ .

#### 7-4-2. المتحكم التناصبي التكاملي التفاضلي PID-Controller

وتعتمد نظرية عمل هذا النوع على كل من فعل المتحكم التناصبي والمتحكم التكاملي والمتحكم التفاضلي وهذا النوع يجمع مزايا الثلاثة أنواع كما هو مبين بالشكل (2-29). ويوضح أساس عمله من المعادلة (2.39) التالية:

$$m(t) = K_p e(t) + K_I \int_0^t e(t) dt + K_D \frac{d}{dt} e(t) \quad (39-2)$$

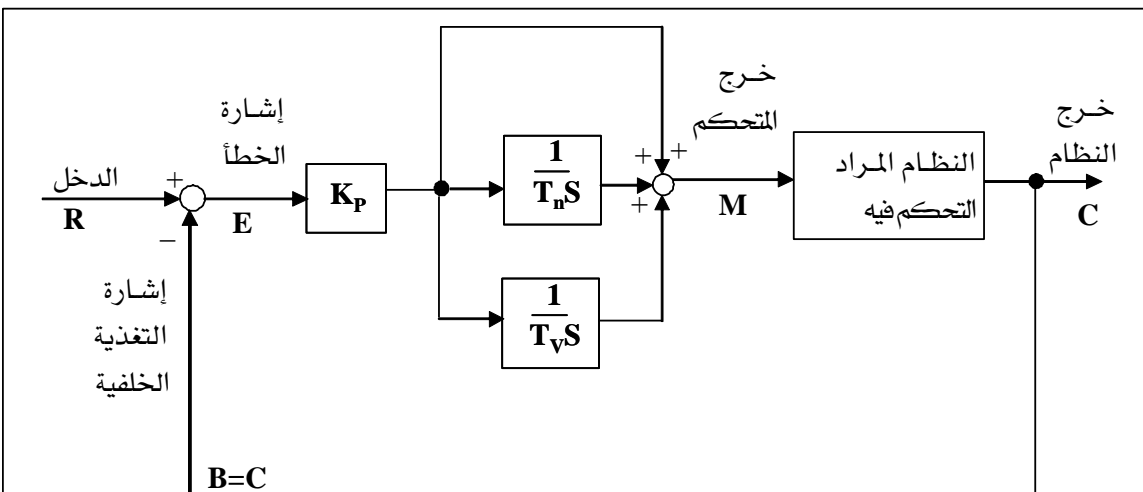
حيث إن ( $m(t)$ ) هي إشارة الخرج لمتحكم ، ( $e(t)$ ) هي إشارة دخل المتحكم (إشارة الخطأ).



ويلاحظ أن  $K_p$  هو كسب المتتحكم التابسي و  $K_i$  هو كسب المتتحكم التكاملي و  $K_d$  هو كسب المتتحكم التقاضلي ولإيجاد دالة التحويل لهذا المتتحكم نجري التحويل اللابلاسي لمعادلة السابقة (39-2) مع فرض أن جميع القيم الابتدائية تساوى الصفر فينتج أن:

$$\frac{M(s)}{E(s)} = K_p + \frac{K_i}{s} + K_d s \quad (40-2)$$

ويبيّن شكل (2-30) المتتحكم التابسي التكاملي التقاضلي في حالة التركيب التوالي والأكثر شيوعاً في الحياة العملية.



شكل (2-30) التركيب التوالي للمتحكم التابسي التكاملي التقاضلي

وبإعادة كتابة المعادلة (2-40) السابقة بد ضرب الحد الثاني والثالث للطرف الأيمن في  $(\frac{K_p}{K_p})$

ونختصر المعادلة ينتج التالي:

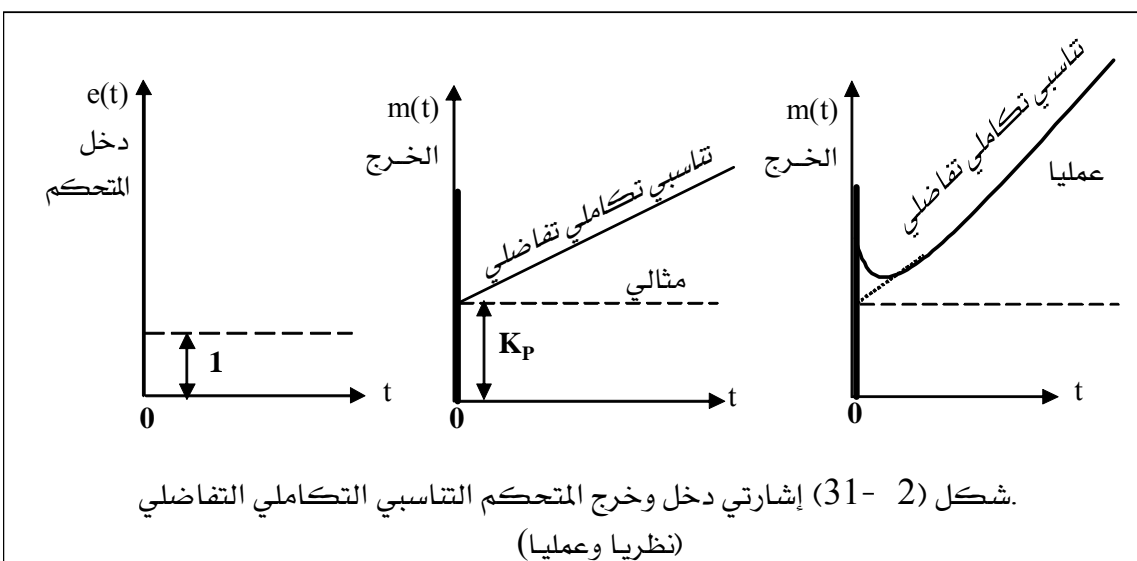
$$\frac{M(s)}{E(S)} = K_p + \frac{K_I}{s} \frac{K_p}{K_p} + K_D s \frac{K_p}{K_p}$$

$$\frac{M(s)}{E(S)} = K_p \left(1 + \frac{1}{T_n s} + T_v s\right) \quad (41-2)$$

حيث إن:

$$T_I = \frac{1}{K_I}, \quad T_n = T_I K_p, \quad T_v = \frac{K_D}{K_p}$$

وفي الحياة العملية تزود المتحكمات بوسيلة لضبط كل من  $K_p, T_v, T_n$  ويلاحظ أن قيمة  $K_p$  في هذا النوع من التركيب (تركيب التوالى) تؤثر على كل من المتحكم التناصي والمتحكم التكاملى والمتحكم التفاضلى. أما قيمة  $T_n$  فإنها تؤثر فقط عنى المتحكم التكاملى وقيمة  $T_v$  تؤثر فقط على المتحكم التفاضلى. ويبين الشكل (2-31) إشارات الدخل والخرج للمتحكم التناصي التكاملى التفاضلى في حالة ما تكون إشارة الدخل عبارة عن دالة قفزة قيمتها الوحدة.



وعلى ذلك فإن هذا النوع من المتحكمات يعتبر من أكثر المتحكمات استخداماً نظراً لجمعه لمزايا الثلاثة أنواع السابقة حيث أنه يعطى أداءً أكثر استقراراً.

## تمارين

- 1 - أوجد قيم الأقطاب والأصفار Poles and zeros للدوال التالية مع رسم هذه القيم على

المستوى المركب s-plane

$$(a) \quad G(s) = \frac{10(s+2)}{s^2(s+1)(s+10)}$$

$$(b) \quad G(s) = \frac{10s(s+1)}{(s+2)(s^2 + 3s + 2)}$$

$$(c) \quad G(s) = \frac{10(s+2)}{s(s^2 + 2s + 2)}$$

$$(d) \quad G(s) = \frac{e^{-2t}}{10s(s+1)(s+2)}$$

- 2 - أوجد التحويل اللابلاسي للدوال التالية:

$$(a) \quad g(t) = 5te^{-5t}u(t)$$

$$(b) \quad g(t) = (t \sin 2t + e^{-2t})u(t)$$

$$(c) \quad g(t) = 2e^{-2t} \sin 2tu(t)$$

$$(d) \quad g(t) = \sin 2t \cos 2tu(t)$$

- 3 - أوجد تحويل لابلاس العكسي للدوال التالية:

$$(a) \quad G(s) = \frac{1}{s(s+2)(s+3)}$$

$$(b) \quad G(s) = \frac{10}{(s+1)^2(s+3)}$$

$$(c) \quad G(s) = \frac{100(s+2)}{s(s^2 + 4)(s+1)}$$

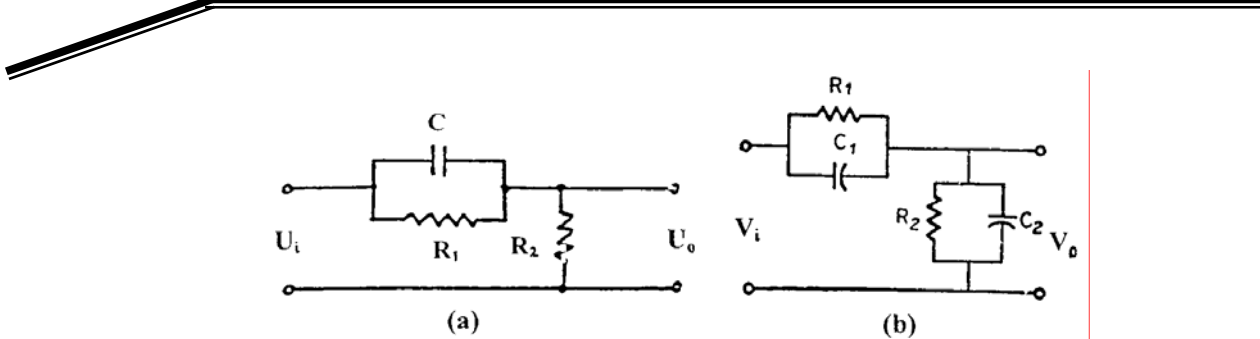
$$(d) \quad G(s) = \frac{2(s+1)}{s(s^2 + S + 2)}$$

$$(e) \quad G(s) = \frac{1}{(s+1)^3}$$

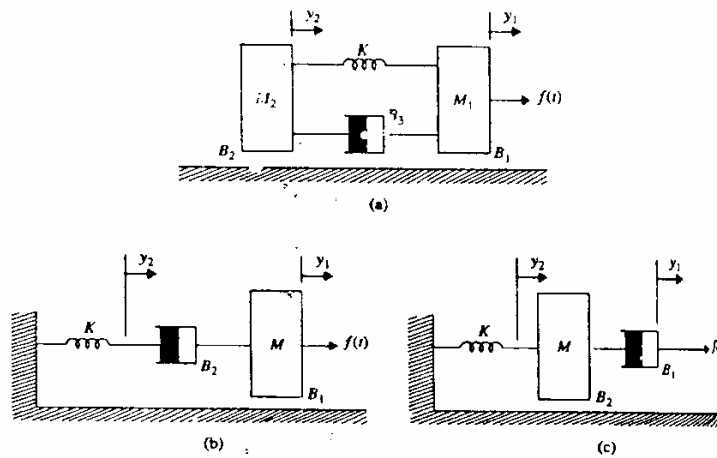
$$(f) \quad G(s) = \frac{2(s^2 + s + 1)}{s(s+1.5)(s^2 + 5s + 5)}$$

- 4 - أوجد دالة التحويل T.F للدوائر الكهربائية المبينة بالأشكال التالية عن طريق كتابة

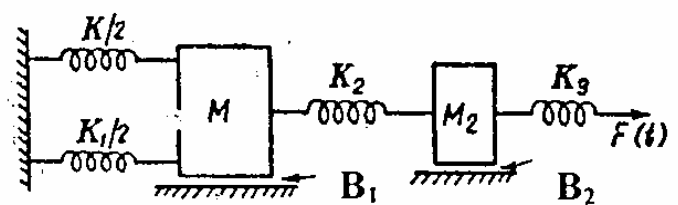
المعادلات التفاضلية ثم بطريقة المعاوقات المركبة ثم اختصرها إلى أبسط صورة.



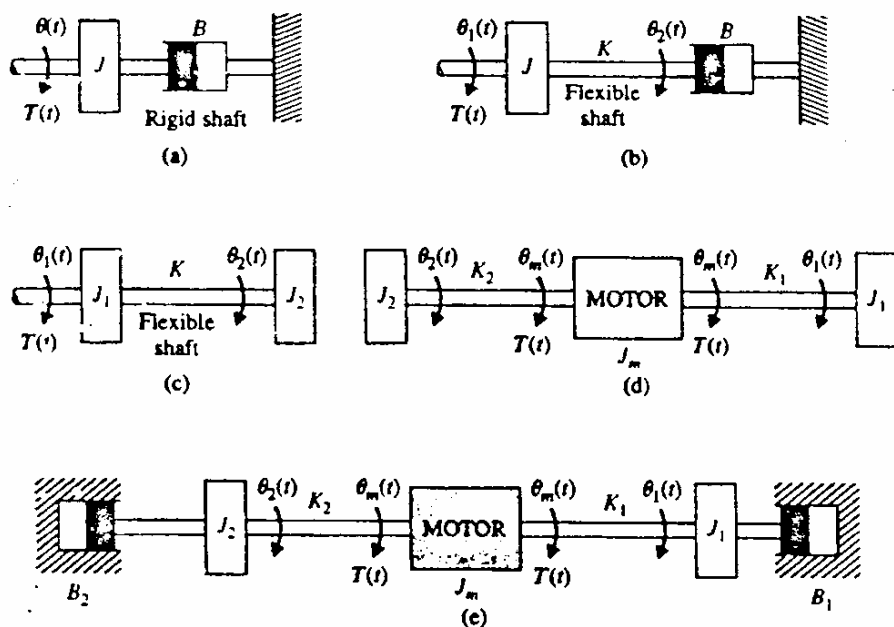
5 - ارسم الشبكة الميكانيكية mechanical network و اكتب معادلات القوة للأنظمة الميكانيكية الانتقالية المبينة بالشكل التالي مع رسم المخطط الصندوقي وحساب دالة التحويل لكل منها.



6 - اكتب المعادلات التفاضلية للنظام الميكانيكي المبين بالشكل بعد رسم الشبكة الميكانيكية.



- 7 - ارسم التمثيل الميكانيكي واكتب معادلات القوة للأنظمة الميكانيكية الدورانية الآتية.  
و كذلك ارسم المخطط الصندوقى وأحسب دالة التحويل لـ كل منهم.



- 8 - يتكون المتحكم التاسبي التكاملي من جزئين متتحكم تاسبي بالإضافة إلى متتحكم تكاملي.

- ا - اشرح فكرة عمل هذا المتحكم مع ذكر مميزاته وعيوبه إن وجدت.  
ب - اكتب المعادلات التفاضلية التي توصف هذا المتحكم مع توضيح المخطط الصندوقى لهذا المتحكم.  
ج - اشرح مع الرسم العلاقة بين دخل وخرج المتحكم في حالة ما يكون الدخل دالة القيمة قدرها الوحدة.

- 9 - يتكون المتحكم التاسبي التفاضل من جزئين متتحكم تاسبي بالإضافة إلى متتحكم تفاضل.

- أ - اشرح فكرة عمل هذا المتحكم مع ذكر مميزاته وعيوبه إن وجدت.
- ب - اكتب المعادلات التفاضلية التي توصف هذا المتحكم مع توضيح المخطط الصناعي لهذا المتحكم.
- ج - اشرح مع الرسم العلاقة بين دخل وخرج المتحكم في حالة ما يكون الدخل دالة القفزة قدرها الوحدة.
- 10 - يتكون المتحكم التناصبي التكامل التفاضلي من ثلاثة أجزاء متتحكم تناصبي بالإضافة إلى متتحكم تكامل و كذلك متتحكم تفاضلي.
- ا - اشرح فكرة عمل هذا المتحكم مع ذكر مميزاته وعيوبه إن وجدت.
- ب - اكتب المعادلات التفاضلية التي توصف هذا المتحكم مع توضيح المخطط الصناعي لهذا المتحكم.
- ج - اشرح مع الرسم العلاقة بين دخل وخرج المتحكم في حالة ما يكون الدخل دالة القفزة قدرها الوحدة.



## تقنية التحكم الآلي

### تحليل منظومة التحكم

## الوحدة الثالثة : تحليل منظومة التحكم

3- 1. دالة التحويل	3
3- 2. التحليل الزمني لأنظمة التحكم	3
2- 1- إشارات الدخل النموذجية	3
2- 2- تصنيف أنظمة التحكم	3
2- 3- خطأ حالة الاستقرار	3
2- 4- الاستجابة العابرة	3
2- 5- الاستجابة العابرة للأنظمة ذات الرتبة الثانية	3
2- 6- منحنى الخواص لأنظمة التحكم	3
تمارين	

### الأهداف :

بعد انتهاءك من دراسة هذه الوحدة تكون قادرا على:

- معرفة إيجاد دالة التحويل للنظم
- معرفة التحليل الزمني لأنظمة التحكم
- التعرف على إشارات الدخل النموذجية
- التعرف على أصناف نظم التحكم
- التعرف على إيجاد الخطأ
- تعريف الاستجابة الدائمة والعبارة لنظم الرتبة الأولى والثانية
- التعرف على منحنى الخواص لأنظمة التحكم

### 1-3. دالة التحويل Transfer Function

تعتمد نظرية التحكم في الأنظمة على تواجد دالة تستخدم لتحديد العلاقة بين دخل وخرج النظام والتي تسمى دالة التحويل transfer function. وعلى ذلك فإن دالة التحويل تعرف بأنها النسبة بين التحويل initial اللابلاسي للخرج إلى التحويل اللابلاسي للدخل في حالة ما تكون جميع القيم الابتدائية conditions مساوية للصفر. وبدراسة نظام يتغير خطياً مع الزمن والمعروف بالمعادلة التقاضية الآتية:

$$\begin{aligned} a_0 y^{(m)} + a_1 y^{(m-1)} + \dots + a_{n-1} y + a_n y \\ = b_0^{(m)} x + b_1^{(m-1)} x + \dots + b_{m-1} x + b_m x \quad (n \geq m) \end{aligned} \quad (1-3)$$

حيث إن:

y= output of the system خرج النظام

x=input of the system دخل النظام

وبأخذ التحويل اللابلاسي لـ كل من جانبي المعادلة (1-4) وبفرض أن جميع القيم الابتدائية مساوية للصفر فـ :

$$\text{Transfer Function} = G(s) = \frac{Y(s)}{X(s)} = \frac{b_0 s^m b_1 s^{m-1} + \dots + b_{m-1} s + b_m}{a_0 s^n + a_1 s^{n-1} + \dots + a_{n-1} s + a_n} \quad (2-3)$$

ويمكن تعريف دالة التحويل بالعلاقة بين تحويل لابلاس لخرج النظام ودخله وهي معرفة كـ الآتي:

تحويل لابلاس الخرج

= دالة التحويل

تحويل لابلاس الدخل

**مثال (3-1):**

أوجد دالة نقل النظام الذي يمثله النموذج الرياضي الآتي:

$$(y'(t) + y(t)) = 2x(t) \cdot 0.1$$

الخطوة الأولى:

قم بتحويل لابلاس لطريق معادلة النظام ليصبح المعادلة كالتالي

$$(sY(s) + Y(s)) = 2X(s) \cdot 0.1$$

الخطوة الثانية:

خذ  $(Y(s))$  كعامل مشترك في الطرف الأيسر من المعادلة ليصبح كالتالي

$$(s+1)Y(s) = 2X(s) \cdot 0.1$$

الخطوة الثالثة:

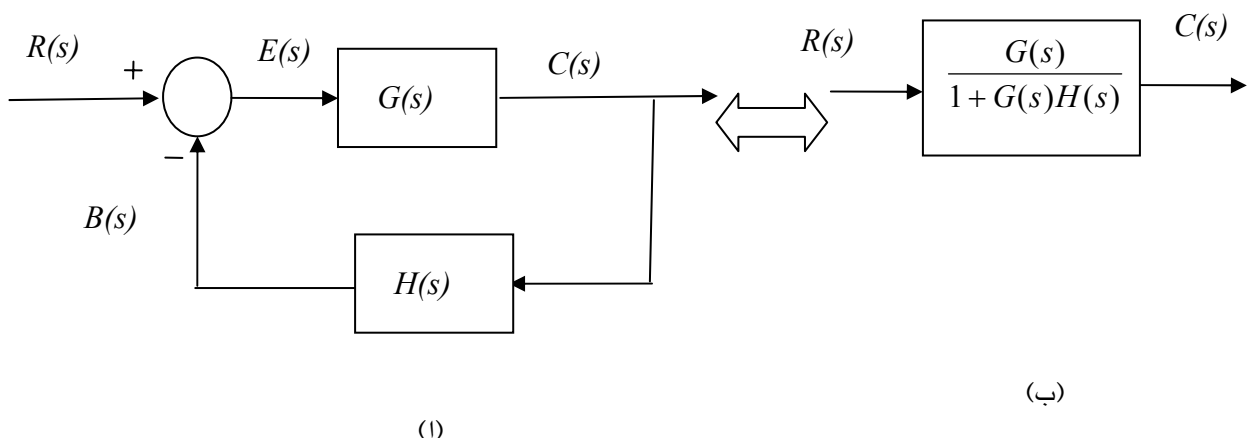
اقسم تحويل لابلاس الخرج على تحويل لابلاس الدخل لتحصل على دالة نقل النظام كالتالي:

$$G(s) = \frac{Y(s)}{X(s)} = \frac{2}{0.1s + 1}$$

**دالة تحويل حلقة تغذية خلفية نموذجية**

يوضح الشكل (3-1(a)) مخطط صندوقى لحلقة تغذية خلفية نموذجية.

للحصول على دالة التحويل لحلقة تغذية خلفية نموذجية نتبع الخطوات الآتية.



الشكل (3-1) حلقة تغذية خلفية نموذجية

من الشكل (3-1(a)) نكتب المعادلات الآتية



$$E(s) = R(s) - B(s)$$

علماً أن

$$B(s) = C(s)H(s)$$

ومن ثم

$$E(s) = R(s) - C(s)H(s)$$

وحيث إن

$$C(s) = E(s)G(s)$$

نحصل على

$$C(s) = [R(s) - C(s)H(s)]G(s)$$

بإعادة ترتيب المعادلة السابقة نحصل على

$$C(s)[(1 + G(s)H(s))] = R(s)G(s)$$

ومن ثم نحصل على دالة نقل الحلقة المغلقة كالتالي

$$T(s) \frac{C(s)}{R(s)} = \frac{G(s)}{1 + G(s)H(s)}$$

وذلك ما تم تمثيله من خلال الشكل 1- 10 (ب) المكافئ للحلقة المغلقة

في حالة التغذية الأحادية (unity feedback)

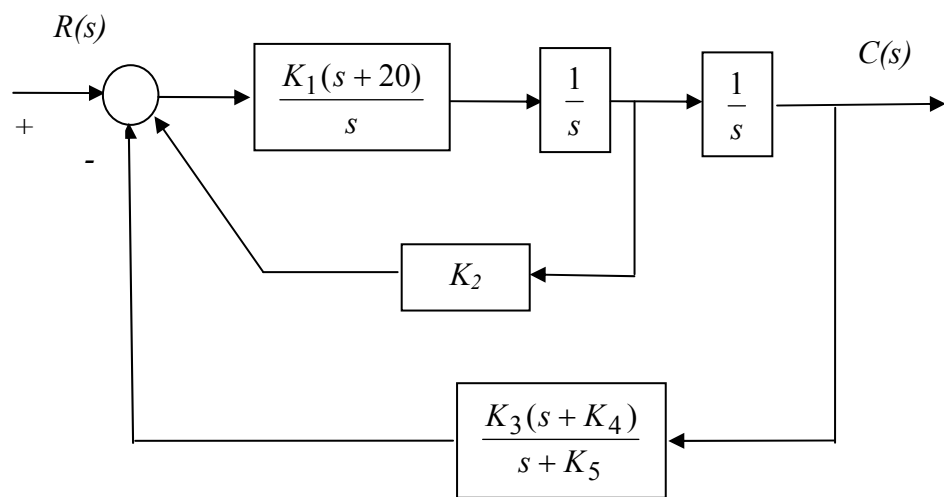
$$H(s) = 1$$

فإن دالة نقل الحلقة المغلقة تصبح كالتالي:

$$T(s) = \frac{G(s)}{1 + G(s)}$$

**مثال (3-2):**

أوجد دالة التحويل للمخطط الصندوقي الموضح في الشكل (3-2) مستخدما طرق التبسيط السابقة



الشكل (3-2) المخطط الصندوقي لنظام المثال (3-2)

**الحل:**

1. ابدأ بتحويل وصلة التجميع إلى وصلي تجميع على التوالي، ثم ادمج دالة التحويل  $\frac{K_1(s+20)}{s}$  و  $\frac{1}{s}$  في صندوق واحد.
2. استبدل الحلقة المغلقة الداخلية بصندوق واحد مستخدما قانون التغذية الخلفية ثم قم بإدماج الناتج مع دالة التحويل  $\frac{1}{s}$  كونها توالي معه.
3. من الخطوات الأولى والثانية نحصل على الحلقة المغلقة المبسطة المبينة في الشكل (3-3)



الشكل (3-3) المخطط الصندوقى المبسط لمثال (3-2)

4. من الشكل (3-3) نحصل على دالة نقل النظام الإجمالي  $T(s)$

$$T(s) = \frac{C(s)}{R(s)} = \frac{K_1(s+20)(s+k_5)}{s[(s^2 + K_1K_2(s+20)][s+K_5] + K_1K_3(s+20)(s+K_4)}$$

### 2-3. التحليل الزمني لأنظمة التحكم Time Domain Analysis of Control Systems

في أنظمة التحكم والتي تكون دوال في الزمن فإن دراسة الاستجابة الزمنية تكون عاملاً مهماً في تحليل وتصميم الأنظمة. وتكون الاستجابة الزمنية للنظام من جزئين أولهما الاستجابة العابرة transient والآخر استجابة مستقرة الحالة steady state response ويعبر عنها بخرج النظام كالتالي:

$$C(t) = C_t(t) + C_{ss}(t)$$

حيث إن:

$C_t(t)$  = transient response      الاستجابة العابرة

$C_{ss}(t)$  = steady state response      الاستجابة المستقرة

ويكون حل معادلة النظام بالنسبة لدخل وخرج النظام بدلالة الزمن من جزئين يمثلان بالاستجابة العابرة المستقرة للنظام. والفرق بين الاستجابة المستقرة الحالة والدخل المقارن Reference input يعرف بالخطأ المستقر steady state error.



### 3-2-1. الإشارات الدخل النموذجية Typical Input Signals

إن إشارات الدخل لأنظمة التحكم غالبا تكون غير معروفة مسبقا وفي تحليل ودراسة أنظمة التحكم لابد من توافر قاعدة معروفة لمقارنة خصائص أنظمة التحكم المختلفة. وتعتمد هذه القاعدة على اختيار إشارات اختبار معينة (إشارات دخل). هذه الإشارات يتم مقارنة استجابة الأنظمة المختلفة لها عند إدخالها لأنظمة. ومن أهم الدوال شائعة الاستخدام دالة الخطوة step ودالة الانحدار ramp ودالة acceleration و كذلك دالة الدفعه impulse وغيرها من الدوال. وكما ذكرنا عن بعض هذه الدوال في الفصل الثاني فسوف ندرسها هنا بطريقة مشابهة نظرا لأهميتها في دراسة الاستجابة الزمنية لأنظمة التحكم.

#### أ - الدخل كدالة الخطوة Step Function Input

كما هو مبين بالشكل (5-أ) فإن قيمة  $r(t)$  تبقى صفر عند  $t < 0$  ثم تزداد لحظيا من الصفر إلى  $R$  عند  $t = 0$  ويمكن التعبير عنها كالتالي:

$$r(t) = 0 \quad t < 0 \quad (3-3)$$

$$r(t) = R \quad t > 0 \quad (3-3)$$

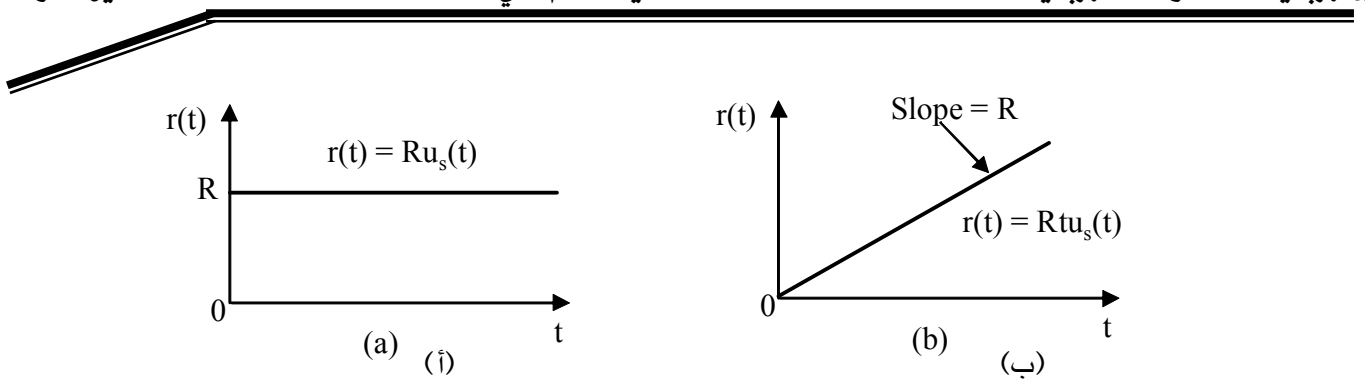
$$\text{Or,} \quad r(t) = Ru_s(t) \quad (4-3)$$

حيث  $Y$ :

$R$ =real constant

ثابت حقيقي

$u_s(t)$  = the unit step function دالة خطوة تيمتها الوحدة



الشكل (3-4) دوال الخطوة والانحدار والعجلة.

### ب - الدخل كدالة انحدار Ramp Function Input

كما هو مبين بالشكل (3-5) ب فإن قيمة  $r(t)$  تبقى صفر عند  $t < 0$  ثم تزداد خطياً مع زيادة الزمن

عند  $t > 0$ . ويمكن التعبير عنها كالتالي:

$$\begin{aligned} r(t) &= 0 & t < 0 \\ \text{Or,} \quad r(t) &= Rt & t > 0 \end{aligned} \quad (5-3)$$

$$r(t) = Rt u_s(t) \quad (6-3)$$

### ج - الدخل كدالة العجلة Acceleration Function Input

كما هو مبين بالشكل (3-4) ج فإن قيمة  $r(t)$  تبقى صفر عند  $t < 0$  ثم تكون دالة تربيعية عند  $t > 0$ .

ويمكن التعبير عنها كالتالي:

$$\begin{aligned} r(t) &= 0 & t < 0 \\ \text{Or,} \quad r(t) &= Rt^2 & t > 0 \end{aligned} \quad (7-3)$$

$$r(t) = \left(\frac{1}{2}\right)Rt^2 u_s(t) \quad (8-3)$$

## 2-2-3. تصنيف أنظمة التحكم Classification of Control Systems

### أ - رتبة النظام Order of System

تعرف رتبة النظام بأنها أعلى درجة للمتغير  $S$  في مقام دالة التحويل الكلية. معادلة المقام هذه تسمى معادلة الخواص Characteristic equation وعندما يكون البسط والمقام لدالة التحويل كثيرة الحدود في  $S$  وفيما يلى سوف نستعرض الخطوات الالزمة لحساب رتبة النظام :

- 1 - يتم كتابة المعادلات التي تربط دخل وخرج النظام.
- 2 - يتم إجراء التحويل اللابلاس لالمعادلة مع فرض أن القيم الابتدائية تساوى الصفر.
- 3 - يتم حساب دالة التحويل للنظام وتحويلها إلى دالة كثيرة الحدود في  $S$ .
- 4 - أعلى درجة للمتغير  $S$  في مقام دالة التحويل يدل على رتبة النظام.

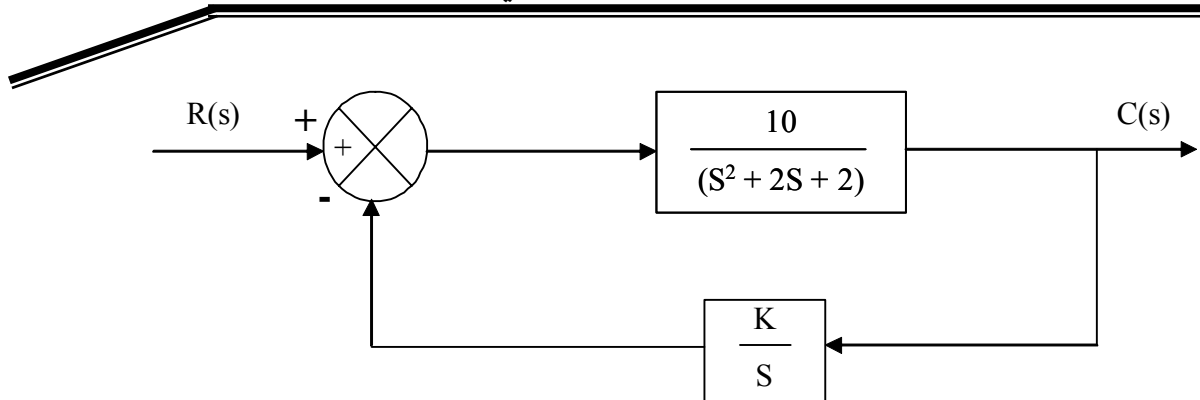
### ب - نوع النظام Type of System

طريقة أخرى لتصنيف أنظمة التحكم هي تقسيمها طبقا لنوع النظم ولتحديد نوع النظم نتبع الخطوات التالية :

- 1 - يتم تحديد دالة التحويل الامامية  $G(S)$  وكذلك دالة التحويل الخلفية  $H(S)$  للنظام.
- 2 - يتم حساب دالة التحويل  $GH(S)$  للدانرة المفتوحة.
- 3 - يتم ترتيب مقام دالة التحويل  $S$   $GH(S)$  تنازلياً لدرجة المتغير  $S$ .
- 4 - أعلى درجة للمتغير  $S$  في المقام تدل على نوع النظم.

مثال (3-3) :

احسب الرتبة والنوع لنظام التحكم المبين في الشكل (3-5)



الشكل (3-5) مخطط صندوقي لنظام تحكم.

**الحل:**

دالة التحويل الكلية لهذا النظام تكون كالتالي:

$$\begin{aligned} G(s) &= \frac{10s}{s(s^2 + 2s + 2) + 10K} \\ &= \frac{10s}{s^3 + 2s^2 + 2s + 10K} \end{aligned}$$

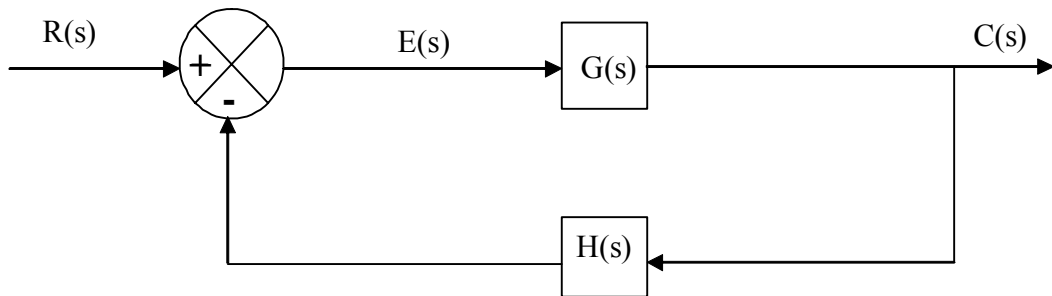
وبالنظر إلى أعلى رتبة للمتغير  $S$  في المقام نجد أنه 3 ولذلك يكون هذا النظام من الرتبة الثالثة. أما دالة التحويل للدائرة المفتوحة لهذا النظام فتكون كالتالي:

$$\begin{aligned} G(s)H(s) &= \frac{10K}{s(s^2 + 2s + 2)} \\ &= \frac{10K}{s(s+1+j)(s+1-j)} \end{aligned}$$

وبالنظر إلى أعلى درجة في المقام نجد أنه 1 ولذلك يكون هذا النظام من النوع (أ).

### 3-2-3. خطأ حالة الاستقرار Steady State Error

بدراسة نظام التحكم المبين بالشكل (5-3) نجد أن دالة التحويل الكلية تكون كالتالي:



الشكل (3-6) نظام تحكم.

$$\frac{C(s)}{R(s)} = \frac{G(s)}{1 + G(s)H(s)}$$

وبدراسة المخطط الصندوقي لهذا النظام نجد أن إشارة الخطأ هي:

$$E(s) = R(s) - C(s)$$

$$E(s) = R(s) - E(s)G(s)H(s)$$

$$E(s) + E(s)G(s)H(s) = R(s)$$

$$E(s)(1 + G(s)H(s)) = R(s)$$

فتقون دالة التحويل بين إشارة الخطأ  $E(s)$  وإشارة الدخل  $R(s)$  كالتالي:

$$\frac{E(s)}{R(s)} = 1 - \frac{G(s)H(s)}{R(s)} = \frac{1}{1 + G(s)H(s)}$$

حيث إن إشارة الخطأ  $E(s)$  هي الفرق بين إشارة الدخل وإشارة التغذية الخلفية وعلى ذلك فإن :

$$E(s) = \frac{1}{1 + G(s)H(s)} R(s)$$

أي أن خطأ حالة الاستقرار الفعلي هو:

$$e_{ss} = \lim_{t \rightarrow \infty} e(t) = \lim_{s \rightarrow 0} E(s) = \lim_{s \rightarrow 0} \frac{sR(s)}{1 + G(s)H(s)} \quad (9-3)$$

### A - خطأ حالة الاستقرار في حالة دخل دالة الخطوة

بتطبيق المعادلة (9) مع دخل دالة خطوة قيمتها الوحدة فإن خطأ حالة الاستقرار يكون كالتالي:

$$\begin{aligned} e_{ss} &= \lim_{s \rightarrow 0} \frac{s}{1 + G(s)H(s)} \cdot \frac{1}{s} \\ &= \frac{1}{1 + G(0)H(0)} \end{aligned}$$

فيكون  $K_p$  معامل خطأ الوضع Position error constant وخطأ حالة الاستقرار كالتالي:

$$K_p = \lim_{s \rightarrow 0} G(s)H(s) = G(0)H(0)$$

$$e_{ss} = \frac{1}{1 + K_p}$$

### B - خطأ حالة الاستقرار في حالة دخل دالة الانحدار

Input

بتطبيق المعادلة (9) مع دخل دالة الانحدار قيمتها الواحد فإن خطأ حالة الاستقرار يكون كالتالي:

$$\begin{aligned} e_{ss} &= \lim_{s \rightarrow 0} \frac{s}{1 + G(s)H(s)} \cdot \frac{1}{s^2} \\ &= \lim_{s \rightarrow 0} \frac{1}{sG(s)H(s)} \end{aligned}$$

فيكون  $K_v$  معامل خطأ السرعة velocity error constant كالتالي:

$$K_v = \lim_{s \rightarrow 0} sG(s)H(s) \quad (10-3)$$

أما خطأ حالة الاستقرار بدلالة معامل خطأ السرعة فيكون:

$$e_{ss} = \frac{1}{K_v} \quad (11-3)$$

## ج - خطأ حالة الاستقرار في حالة دخل دالة العجلة Acceleration Input

بتطبيق المعادلة (3-9) مع دخل دالة عجلة قيمتها الوحدة فإن خطأ حالة الاستقرار يكون كالتالي:

$$\begin{aligned} e_{ss} &= \lim_{s \rightarrow 0} \frac{s}{1 + G(s)H(s)} \frac{1}{s^3} \\ &= \frac{1}{\lim s^2 G(s)H(s)} \end{aligned}$$

فيكون  $K_a$  معامل خطأ العجلة acceleration error constant كالتالي:

$$K_a = \lim_{s \rightarrow 0} s^2 G(s) H(s) \quad (12-3)$$

أما خطأ حالة الاستقرار بدلالة معامل خطأ العجلة فيكون:

$$e_{ss} = \frac{1}{K_a} \quad (13-3)$$

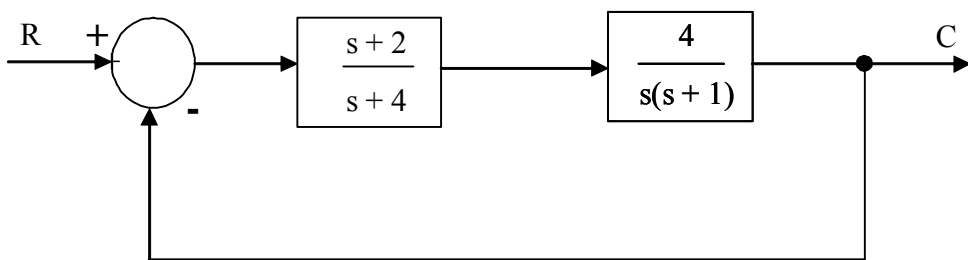
الجدول (3-1) يلخص خطأ حالة الاستقرار لكل الأنظمة ذات الأنواع (and 2, 0, 1) عندما تغذى من إشارات دخل مختلفة .

دخل دالة العجلة $r(t) = t^2$	دخل دالة الانحدار $r(t) = t$	دخل دالة الخطوة $r(t) = 1$	
$\infty$	$\infty$	$1 / (1 + K)$	نظام Type 0
$\infty$	$1 / K$	0	نظام Type 1
$1 / K$	0	0	نظام Type 2

جدول (3-1) خطأ حالة الاستقرار بدلالة K.

**مثال (3-4):**

أُوجِدَ مُعَامِلَاتُ الْخَطَا المُخْتَلِفَةُ (الْوَضْعُ  $K_p$  - السُّرْعَةُ  $K_v$  العَجْلَةُ  $K_a$ ) لِنَظَامِ التَّحْكُمِ المُتَزَنِ الْمُبَيَّنِ فِي الشَّكْلِ (3-7). ثُمَّ أُوجِدَ خَطَا حَالَةُ الْاسْتَقْرَارِ  $e_{ss}$  فِي كُلِّ مِنْ حَالَةِ دُخُولِ دَالَّةِ الْخَطُوطِ وَدَالَّةِ الْانْهَادِ وَدَالَّةِ الْعَجْلَةِ.



الشكل (3-7) نظام تحكم متزن.

**الحل:**

باستخدام المعادلات (3-10) و (3-12) ينتج التالي:

$$\text{Position error constant} \quad K_p = \lim_{s \rightarrow 0} G(s) = \lim_{s \rightarrow 0} \frac{4(s+2)}{s(s+1)(s+4)} = \infty$$

$$\text{Velocity error constant} \quad K_v = \lim_{s \rightarrow 0} sG(s) = \lim_{s \rightarrow 0} \frac{4(s+2)}{s(s+1)(s+4)} = 2$$

$$\text{Acceleration error constant} \quad K_a = \lim_{s \rightarrow 0} s^2 G(s) = \lim_{s \rightarrow 0} \frac{S4(s+2)}{s(s+1)(s+4)} = 0$$

أ - خطأ حالة الاستقرار  $e_{ss}$  مع دخل دالة الخطوة قيمتها الوحدة من معادلة (3-9) كالتالي:

$$e_{ss} = 1/(1 + K_p)$$

$$e_{ss} = 1/(1 + \infty) = 0$$



ب - خطأ حالة الاستقرار  $e_{ss}$  مع دخل دالة الانحدار قيمتها الوحدة من معادلة (3-11)

كالتالي:

$$e_{ss} = 1/K_v$$

$$e_{ss} = 1/2.$$

خطأ حالة الاستقرار  $e_{ss}$  مع دخل دالة العجلة قيمتها الوحدة من معاملة (3-13) كالتالي:

$$e_{ss} = 1/K_a$$

$$e_{ss} = 1/0 = \infty$$

### مثال (3-5):

أوجد خطأ حالة الاستقرار  $e_{ss}$  في كل حالة من الحالات الآتية :

أ - نظام من Type 0 بدخل دالة الخطوة ومعامل خطأ الوضع  $K_p = 1/19$

ب - نظام من Type 1 بدخل دالة الانحدار ومعامل خطأ السرعة  $K_v = 0.2$

ج - نظام من Type 2 بدخل دالة العجلة ومعامل خطأ العجلة  $K_a = 0.5$

الحل:

أ - خطأ حالة الاستقرار  $e_{ss}$  مع دالة الخطوة لنظام Type 0 ومعامل خطأ الوضع  $K_p = 1/19$  يكون

كالتالي:

$$e_{ss} = 1/(1 + K_p) = 1/[1 + (1/19)] = 0.95$$

ب - خطأ حالة الاستقرار  $e_{ss}$  مع دالة الانحدار لنظام Type 0 ومعامل خطأ السرعة  $K_v = 0.2$  يكون

كالتالي:

$$e_{ss} = 1/K_v = 1/0.2 = 0.95$$

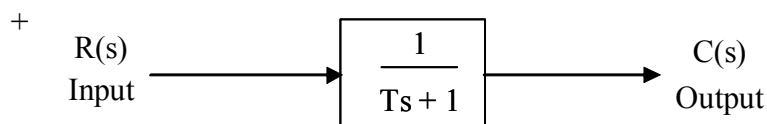
ج - خطأ حالة الاستقرار  $e_{ss}$  مع دالة العجلة لنظام Type 0 ومعامل خطأ العجلة  $K_a = 0.5$  ويكون

كالتالي:

$$e_{ss} = 1/K_a = 1/0.5 = 2$$

### 4-2-3. الاستجابة العابرة لأنظمة ذات الرتبة الأولى Systems

لدراسة الاستجابة العابرة لنظام تحكم من الرتبة الأولى كما هو مبين بالشكل (3 - 8) حيث إن درجة S في المقام هي واحد.



الشكل (3 - 8) نظام من الرتبة الأولى.

وسوف ندرس استجابة هذا النظام  $C(t)$  عندما يكون الدخل دالة الخطوة بقيمة الواحدة أي أن:

$$\begin{aligned} r(t) &= 0 & t < 0 \\ r(t) &= 1 & t \geq 0 \\ R(s) &= 1/s \end{aligned} \quad (14-3)$$

وكما يبيه المخطط الصندوقي المبين بالشكل (5 - 5) والذي يوضح العلاقة بين الدخل والخرج، نجد أن الخرج هو:

$$C(s) = \frac{1}{Ts + 1} R(s) \quad (15-3)$$

وبالتعويض من معادلة (14-3) في (15-3) ينتج:

$$C(s) = \frac{1}{s(Ts + 1)} \quad (16-3)$$

حيث إن T يعرف بأنه مقدار ثابت يسمى الثابت الزمني ولإيجاد الاستجابة  $C(t)$  نستخدم طريقة الكسور الجزئية inverse laplace وتحويل الابلاسي العكسي partial fraction كالتالي:

$$\frac{1}{s(Ts + 1)} = \frac{A_1}{s} + \frac{A_2}{Ts + 1}$$



ونحسب قيم الثوابت  $A_1, A_2$  كالتالي:

$$A_1 = \left| s \frac{1}{s(Ts + 1)} \right|_{s=0} = \frac{1}{1} = 1$$

$$A_2 = \left| (Ts + 1) \frac{1}{s(Ts + 1)} \right|_{s=-\frac{1}{T}} = \frac{1}{\frac{1}{T}} = -T$$

و بالتعويض عن هذه الثوابت في المعادلة الأولى نحصل على:

$$C(s) = \frac{1}{s} + \frac{-T}{Ts + 1}$$

$$C(s) = \frac{1}{s} - \frac{1}{s + (\frac{1}{T})}$$

وباستخدام التحويل العكسي للابلاس تكون الاستجابة لأنظمة ذات الرتبة الأولى هي:

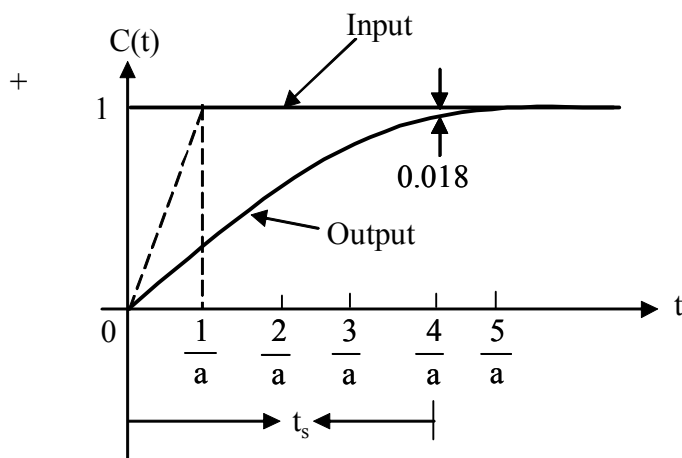
$$C(t) = L^{-1}[C(s)] = L^{-1}\left[\frac{1}{s}\right] - L^{-1}\left[\frac{1}{s + (\frac{1}{T})}\right]$$

$$C(t) = 1 - e^{-\frac{t}{T}} \quad t \geq 0$$

وبفرض ان  $a = \frac{1}{T}$

$$C(t) = 1 - e^{-at} \quad t \geq 0 \quad (17-3)$$

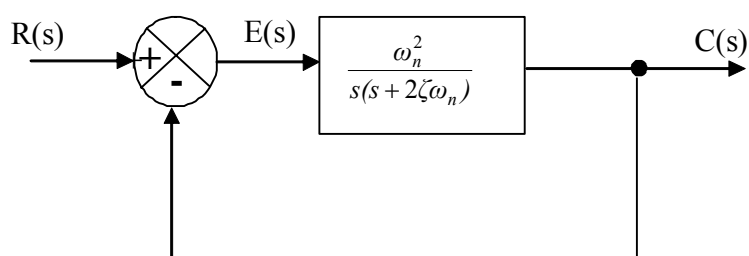
الشكل (5-6) يوضح الاستجابة العابرة لنظام من الرتبة الأولى مع دخل دالة الخطوة والتي تم رسمها من المعادلة (3-17).



الشكل (3) - 9) استجابة نظام من الرتبة الأولى.

### 5-2-3. الاستجابة العابرة لأنظمة ذات الرتبة الثانية Systems

لدراسة الاستجابة العابرة لنظام من الرتبة الثانية كما هو مبين بالشكل (3-10) حيث إن درجة  $S$  فيه المقام هو 2.



الشكل (3) - 10) نظام من الرتبة الثانية.

نجد أن دالة التحويل لهذا النظام تكون:

$$\frac{C(s)}{R(s)} = \frac{\omega_n^2}{s^2 + 2\zeta\omega_n s + \omega_n^2} \quad (18-3)$$

حيث إن:

$\omega_n$  is the undamped natural frequency  
 $\zeta$  is the damping ratio of the system

التردد الطبيعي غير المضائـل  
 نسبة المضائـل

وبفرض أن دخل النظام عبارة عن دالة الخطوة وقيمتها الواحد فإن استجابة النظام أي الخرج  $C(t)$  تتوقف على قيمة نسبة المضائـل  $damping ratio$  فيكون خرج هذا النظام باستخدام المعادلة (3-7) كالتالي:

$$C(s) = \frac{R(s)\omega_n^2}{s^2 + 2\zeta\omega_n s + \omega_n^2}$$

وبالتعويض عن  $R(s) = \frac{1}{s}$  نجد أن:

$$C(s) = \frac{\omega_n^2}{s(s^2 + 2\zeta\omega_n s + \omega_n^2)} \quad (19-3)$$

وبإجراء التحويل اللا بلاس العكسي للمعادلة (3-18) ينـتج التالـي:

$$C(s) = \frac{1}{s} + \frac{A_1}{s - P_1} + \frac{A_2}{s - P_2}$$

حيث إن:

$A_1, A_2$ constants of partial fraction	= ثوابـت الكسور الجزئـية
$P_1, P_2$ roots of the second order equation	= جذور معادلة الـدرجـة الثـانـيـة

وعلى ذلك فإن استجابة النظام أي خرجـه تكون كالتـالـي:

$$C(t) = 1 + A_1 e^{P_1 t} + A_2 e^{P_2 t} \quad (20-3)$$

حيث ان:

$$\begin{aligned} A_1 &= -\frac{1}{2} - \frac{\zeta}{2\sqrt{\zeta^2 - 1}} & P_1 &= -\zeta\omega_n + \omega_n\sqrt{\zeta^2 - 1} \\ A_2 &= -\frac{1}{2} + \frac{\zeta}{2\sqrt{\zeta^2 - 1}} & P_2 &= -\zeta\omega_n - \omega_n\sqrt{\zeta^2 - 1} \end{aligned}$$

مما سبق يتضح أن السلوك الديناميكي للأنظمة ذات الرتبة الثانية يعتمد على المتغيرات  $(A_1, A_2, P_1, P_2)$  والتي بدورها تتعلق بكل من  $(\omega_n, \zeta)$  كما في الحالات التالية:

### أ - إذا كانت $\zeta < 1$ under damped system

يكون الجذران  $(P_1, P_2)$  مركبين ومترافقان ويعقلا في الجانب الأيسر من المستوى المركب S وتكون الثوابت  $(A_1, A_2)$  مركبين في هذه الحالة يسمى النظام المضائل under damped system حيث إن :

$$P_1, P_2 = -\zeta\omega_n \pm j\omega_n\sqrt{1 - \zeta^2}$$

وتكون الاستجابة العابرة له من معادلة الخرج هي:

$$c(t) = 1 - \frac{e^{-\zeta\omega_n t}}{\sqrt{\zeta^2 - 1}} \sin(\omega_d t + \beta) \quad (21-3)$$

حيث إن:

$$\omega_d = \omega_n\sqrt{1 - \zeta^2} \quad (22-3)$$

$$\beta = \tan^{-1}\left(\frac{\sqrt{\zeta^2 - 1}}{\zeta}\right) \quad (23-3)$$

حيث إن:

$\omega_d$  = damping natural frequency.  $\sqrt{1 - \zeta^2}$

### ب - إذا كانت $\zeta = 1$ Critically damped System

يكون الجذران  $(P_1, P_2)$  حقيقيان وسايلان ومتساويان negative real and equal roots ويعقلا في الجانب الأيسر من المستوى المركب S وتكون الثوابت  $(A_1, A_2)$  حقيقيان هذه الحالة يسمى نظام المضائل الحرجة critical damped system حيث إن:

$$P_1, P_2 = -\omega_n$$



وتكون الاستجابة العابرة له من معادلة الخرج هي:

$$c(t) = 1 - e^{-\omega_n t} (1 - \omega_0 t) \quad (24- 3)$$

### ج - إذا كانت $\zeta > 1$

يكون الجذران ( $P_1, P_2$ ) حقيقيان وسايلبان وغير متساويان ويقعان في الجانب الأيسر من المستوى المركب S و تكون الثوابت ( $A_1, A_2$ ) حقيقيان وفي هذه الحالة يسمى نظام المضانلة الزاندة Over damped system حيث أن:

$$P_1, P_2 = -\zeta \omega_n \pm \omega_n \sqrt{\zeta^2 - 1}$$

وتكون الاستجابة العابرة له من معادلة الخرج هي:

$$c(t) = 1 - \frac{\omega_n}{2\sqrt{\zeta^2 - 1}} \left( \frac{e^{-a_1 t}}{a_1} + \frac{e^{-a_2 t}}{a_2} \right) \quad (25- 3)$$

حيث إن:

$$a_1 = \omega_n (\zeta + \sqrt{1 - \zeta^2}) \quad a_2 = \omega_n (\zeta - \sqrt{1 - \zeta^2})$$

### د - إذا كانت $\zeta = 0$

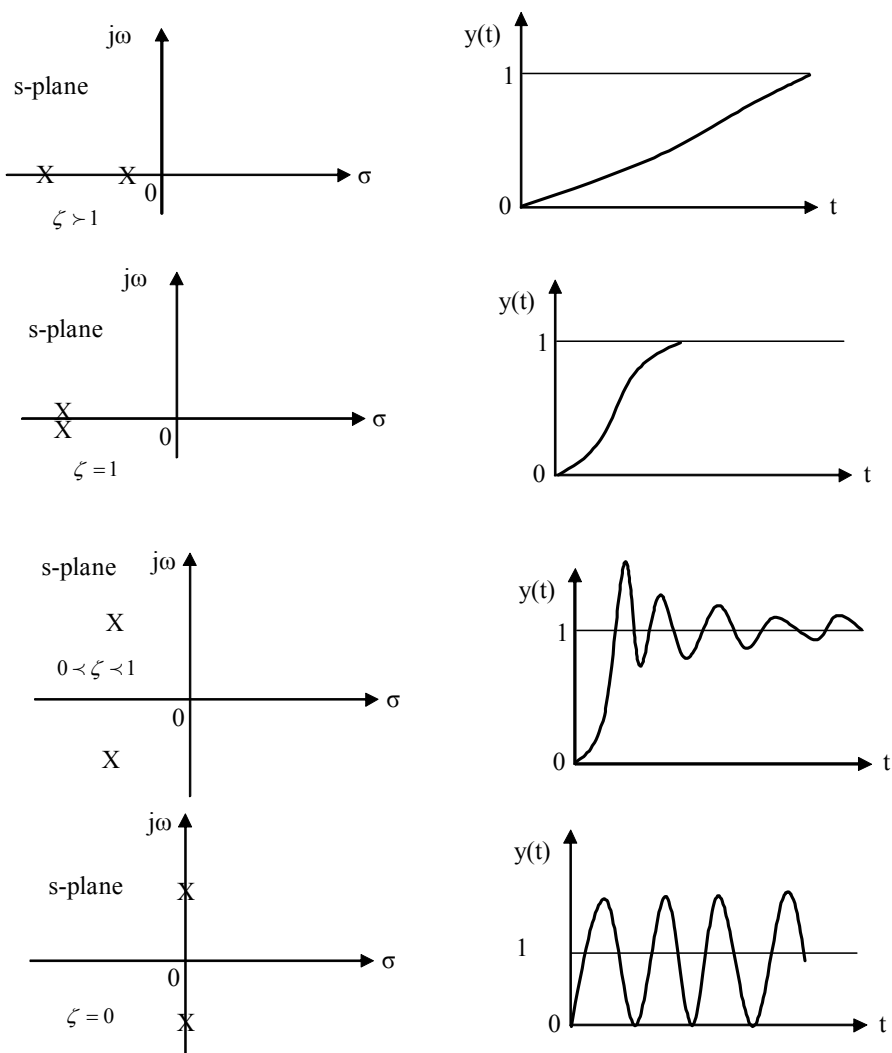
يكون الجذران ( $P_1, P_2$ ) تخيلييان وغير متساويان ويقعان على المحور الرأسي من المستوى المركب S وفي هذه الحالة يسمى نظام غير المضائق وتكون الاستجابة العابرة له متذبذبة باستمرار حيث إن:

$$P_1, P_2 = \pm j\omega_0$$

وتكون الاستجابة العابرة له من معادلة الخرج هي:

$$c(t) = 1 - \cos(\omega_0 t) \quad (26-3)$$

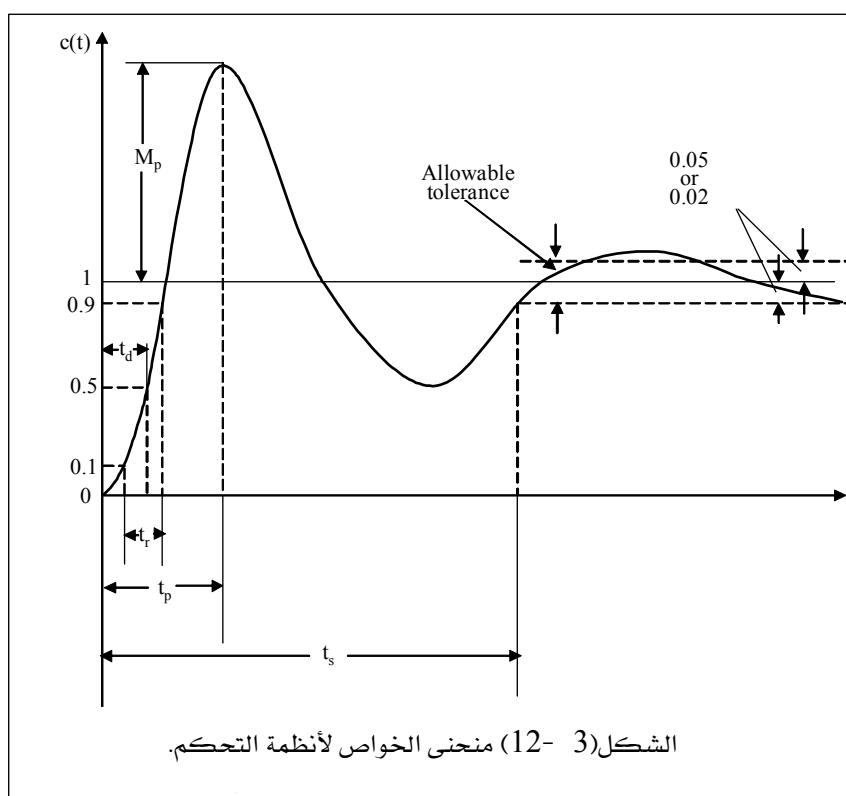
والشكل(3-11) يوضح تأثير جذور معادلة الخواص (مقام دالة التحويل الكلية) على مضائقه استجابة الانظمة ذات الرتبة الثانية عندما يكون الدخل دالة الخطوة وقيمتها الواحدة.



الشكل(3-11) استجابة نظام من الرتبة الثانية لعدة قيم  $\zeta$ .

### 6-2-3. منحنى الخواص لأنظمة التحكم Performance Characteristic of Control system

منحنى الأداء هو منحنى الاستجابة  $C(t)$  لنظام من الرتبة الثانية ويظهر فيه مواصفات الاستجابه العابرة عندما يكون الدخل دالة الخطوة وقيمتها الوحدة كما هو مبين بالشكل (3-12) ومبين عليه المواصفات المختلفة للاستجابة العابرة للنظام مثل (زمن التأخير - زمن الارتفاع - زمن القمة - أقصى تجاوز - زمن السكون).



أ - زمن التأخير ( $t_d$ ) Delay Time

ويعرف بأنه الزمن المطلوب لكي يصل الخرج إلى نصف قيمته النهائية لأول مرة.

ب - زمن الارتفاع ( $t_r$ ) Rise Time

ويعرف بأنه الزمن المطلوب لكي يزداد الخرج من 10% إلى 90% من قيمته النهائية . ويتم التعبير عنه كالتالي:



$$t_r = \frac{\pi - \beta}{\omega_d} (27- 3)$$

حيث إن  $\beta$  تفاصس من المستوى المركب S بالزوايا النصف قطرية (rad) و ( $\pi = 3.14$ ).

ويمكن حساب كل من  $\beta$  و  $\omega_d$  كالتالي:

$$\beta = \cos^{-1} \zeta = \tan^{-1} \left( \frac{\omega_d}{\sigma} \right) = \tan^{-1} \left( \frac{\sqrt{1-\zeta^2}}{\zeta} \right) \quad (28- 3)$$

$$\omega_d = \omega_n \sqrt{1-\zeta^2} \quad (29- 3)$$

وتعرف  $\sigma$  بأنها معامل المضائلة أو ثابت المضائلة ويتم حسابها من العلاقة:

$$\sigma = \zeta \omega_n \quad (30- 3)$$

ج - زمن القمة ( Peak Time  $t_p$  )

ويعرف بأنه الزمن المطلوب لكي يصل الخرج إلى أول قيمة قصوى للتجاوز عن القيمة النهائية ويتم التعبير عنه كالتالي:

$$t_p = \frac{\pi}{\omega_d} \quad (31- 3)$$

د - أقصى تجاوز ( $M_p$ )

ويعرف بأنه أقصى قيمة يصل إليها خرج النظام (الاستجابة العابرة) متجاوزا بها القيمة النهائية ويتم التعبير عنه كنسبة مئوية كالتالي:

$$M_p = e^{-\frac{\pi \zeta}{\sqrt{1-\zeta^2}}} \quad (32- 3)$$

هـ - زمن السكون ( $t_s$ )

ويعرف بأنه الزمن المطلوب لكي يصل الخرج (الاستجابة) ويبقى في حدود مدى معين عادة يكون (2%) إلى (5%) من القيمة النهاية. وهذه القيم تسمى معيار زمن السكون ويتم التعبير عنه في هذين كالتالي:

$$t_s = 4T = \frac{4}{\sigma} = \frac{4}{\zeta\omega_n} \quad \text{at 2% criterion (33- 3)}$$

$$t_s = 3T = \frac{3}{\sigma} = \frac{3}{\zeta\omega_n} \quad \text{at 5% criterion (34- 3)}$$

## مثال (3-6):

في نظام التحكم ذو الرتبة الثانية والمبين في الشكل (5-7) يحتوي على نسبة مضائلة (اخماد)  $\zeta = 0.6$  وتردد طبيعي  $\omega_n = 5 \text{ rad/sec}$  أوجد كل من:

أ - زمن الارتفاع ( $t_r$ )ب - زمن القمة ( $t_p$ )ج - زمن السكون ( $t_s$ )د - أقصى تجاوز ( $M_p$ )

## الحل:

يتم حساب التردد الطبيعي للمضائلة ومعامل المضائلة وكذلك الزاوية  $\beta$  كالتالي:

$$\omega_d = \omega_n \sqrt{1 - \xi^2} = 5\sqrt{1 - 0.6^2} = 4 \text{ rad/sec}$$

$$\sigma = \zeta\omega_n = 0.6 \times 5 = 3$$

$$\beta = \tan^{-1}\left(\frac{\omega_d}{\sigma}\right) = \tan^{-1}\left(\frac{4}{3}\right) = 53.13^\circ$$

$$\beta = 53.13^\circ \times \frac{3.14}{180} = 0.93 \text{ rad}$$

أ - زمن الارتفاع rise time

$$t_r = \frac{\pi - \beta}{\omega_d} = \frac{3.14 - 0.93}{4} = 0.55 \text{ sec}$$



ب - زمن القمة peak time

$$t_p = \frac{\pi}{\omega_d} = \frac{3.14}{4} = 0.785 \text{ sec}$$

ج - زمن السكون settling time

$$t_s = \frac{4}{\sigma} = \frac{4}{3} = 1.33 \text{ sec} \quad \text{for 2% criterion}$$

$$t_s = \frac{3}{\sigma} = \frac{3}{3} = 1 \text{ sec} \quad \text{for 5% criterion}$$

د - أقصى تجاوز maximum overshoot

$$M_p = e^{\left(-\frac{\sigma}{\omega_d}\right)\pi} = e^{-\left(\frac{3}{4}\right)3.14} = 0.095$$

وتكون النسبة المئوية لأقصى تجاوز هي:

$$M_p = 0.095 \times 100 = 9.5\%$$

## تمارين

١ - أوجد نوع النظام system type لكل من الأنظمة ذات التغذية الخلفية التي دالة التحويل الخلفية لها تساوي الواحد الواحد unity feedback systems ودوال التحويل الأمامية لكل من هذه الأنظمة كالتالي:

$$(a) G(s) = \frac{K}{(1+s)(1+10s)(1+20s)}$$

$$(b) G(s) = \frac{10e^{-0.2s}}{(1+s)(1+10s)(1+20s)}$$

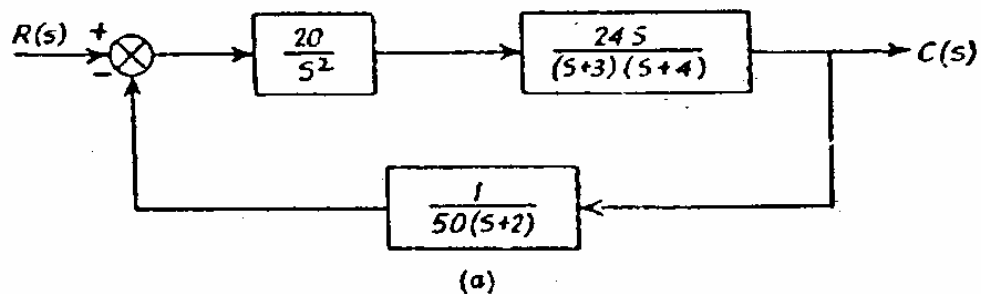
$$(c) G(s) = \frac{10(s+1)}{s(s+5)(s+6)}$$

$$(d) G(s) = \frac{100(s-1)}{s^2(s+5)(s+6)^2}$$

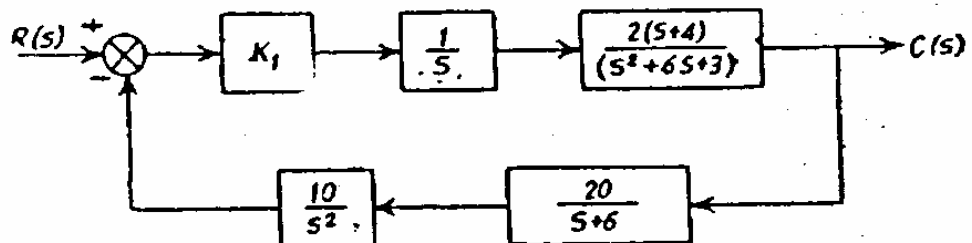
$$(e) G(s) = \frac{10(s+1)}{s^3(s^2+5s+5)}$$

$$(f) G(s) = \frac{100}{s^3(s+2)^2}$$

٢ - أوجد نوع ورتبة النظام type and order للأنظمة ذات التغذية الخلفية المبينة في المخططات الصندوقية التالية.



(a)



٣ - أوجد كل من المعاملات  $K_p, K_v$  and  $K_a$  (الوضع - والسرعة - والعجلة) لكل من الأنظمة ذات التغذية الخلفية التي دالة التحويل الخلفية لها تساوي الواحد الواحد unity feedback system ودوال التحويل الأمامية لكل من هذه الأنظمة كالتالي:

$$(a) G(s) = \frac{1000}{(1+0.1s)(1+10s)}$$

$$(c) G(s) = \frac{K}{s(1+0.1s)(1+0.5s)}$$

$$(e) G(s) = \frac{1000}{s(s+10)(s+100)}$$

$$(b) G(s) = \frac{100}{s(s^2 + 10s + 100)}$$

$$(d) G(s) = \frac{100}{s^2(s^2 + 10s + 100)}$$

$$(f) G(s) = \frac{K(1+2s)(1+4s)}{s^2(s^2 + s + 1)}$$

4 - أوجد خطأ حالة الاستقرار  $e_{ss}$  للأنظمة ذات التغذية الخلفية التالية .

$$(a) - G(s) = \frac{1}{s^2 + s + 2} \quad H(s) = \frac{1}{s+1}$$

$$(b) - G(s) = \frac{1}{s(s+5)} \quad H(s) = 5$$

$$(c) - G(s) = \frac{1}{s^2(s+10)} \quad H(s) = \frac{s+1}{s+5}$$

$$(d) - G(s) = \frac{1}{s^2(s+12)} \quad H(s) = 5(s+2)$$

في حالة ما يكون الدخل:

أ - وحدة دالة الخطوة unit step input

ب - وحدة دالة الانحدار unit ramp input

5 - احسب كل من  $t_s, \omega_n, \zeta, t_r, t_p, M_p$ , and  $t_p$  لنظام تحكم من الرتبة الثانية حيث أن دالة

التحويل الكلي لهذا النظام هي:

$$M(s) = \frac{K}{s^2 + 10s + (7 + K)}$$

عندما يكون الكسب الأمامي forward gain K هو:

$$(أ) K=18$$

$$(ب) K=218$$

$$(ج) K=618$$

ووضح تأثير زيادة K على استجابة هذا النظام.

6 - ليكن النظام التالي:

$$y'(t) + 10y(t) = 10x(t)$$

$$y(0) = 0$$

$$x(t) = \begin{cases} 5 & t \geq 0 \\ 0 & t < 0 \end{cases}$$

أوجد ما يلي

أ الثابت الزمني

ب كسب النظام

ج الاستجابة الزمنية

د أرسم منحنى الاستجابة

7 - لدينا نظام من الرتبة الأولى ممثل بالمعادلة الآتية

$$10y'(t) + y(t) = x(t)$$

$$y(0) = 0$$

$$x(t) = \begin{cases} 10 & t \geq 0 \\ 0 & t < 0 \end{cases}$$

أوجد ما يلي

أ الثابت الزمني

ب كسب النظام

ج الاستجابة الزمنية

د أرسم منحنى الاستجابة

8 - ليكن النظام التالي

$$y''(t) + 3y'(t) + 2y(t) = 2x(t)$$

$$y(0) = y'(0) = 0,$$

$$x(t) = \begin{cases} 1 & t \geq 0 \\ 0 & t < 0 \end{cases}$$

أوجد ما يلي

أ تردد الرنين ومعامل الإخماد ونوع الإخماد

ب كسب النظام

ج الاستجابة لخطوة ارتفاعها 1

د أرسم منحنى الاستجابة



9 - ليكن النظام التالي

$$y''(t) + 2y'(t) + y(t) = 10x(t)$$

$$y(0) = y'(0) = 0,$$

$$x(t) = \begin{cases} 1 & t \geq 0 \\ 0 & t < 0 \end{cases}$$

أوجد ما يلي

أ تردد الرنين ومعامل الإخماد ونوع الإخماد

ب كسب النظام

ج الاستجابة لخطوة ارتفاعها 1

د ارسم منحنى الاستجابة

10 - ليكن النظام التالي

$$y''(t) + 4y'(t) + 8y(t) = 16x(t)$$

$$y(0) = y'(0) = 0,$$

$$x(t) = \begin{cases} 5 & t \geq 0 \\ 0 & t < 0 \end{cases}$$

أوجد ما يلي

أ تردد الرنين ومعامل الإخماد ونوع الإخماد

ب الاستجابة لخطوة ارتفاعها 1

ج ارسم منحنى الاستجابة



## تقنية التحكم الآلي

### منظومة التحكم ذات الدائرة المغلقة

## الوحدة الرابعة : منظومة التحكم ذات الدائرة المغلقة

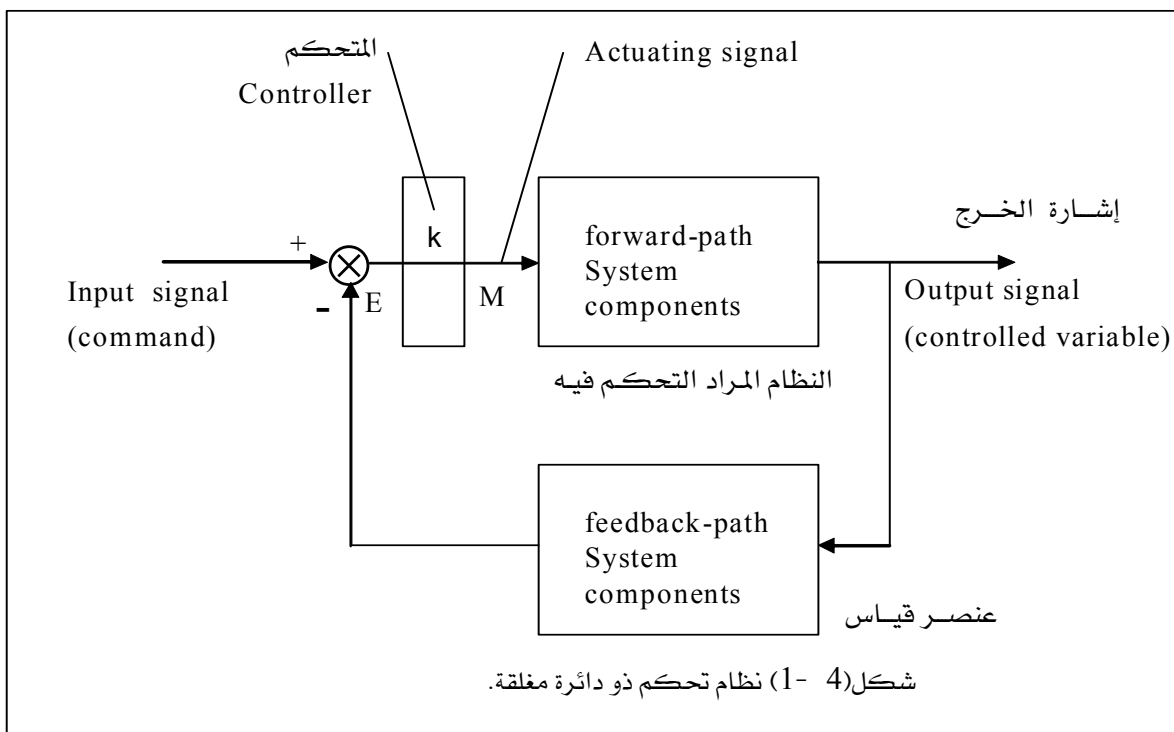
4-1. التحكم ذو الدائرة المغلقة	4
4-2. تحليل إشارة الخطأ في الحلقة المغلقة	4
4-3. تعريف إشارة الخطأ	4
4-4. تحليل إشارة الخطأ عند استعمال الحكم التناصبي	4
4-5. تحليل إشارة الخطأ عند استعمال الحكم التكامل	4
4-6. تحليل إشارة الخطأ عند استعمال الحكم التناصبي التكامل	4
4-7. تحليل إشارة الخطأ عند استعمال الحكم التناصبي التكامل التفاضلي	4
	تمارين

### الأهداف

- تعريف النظام المغلق
- معرفة مزايا النظام المغلق
- تعريف إشارة الخطأ في حلقة تحكم مغلقة
- تحليل إشارة الخطأ عند استعمال الحكم التناصبي
- تحليل إشارة الخطأ عند استعمال الحكم التكامل
- تحليل إشارة الخطأ عند استعمال الحكم التناصبي التكامل
- تحليل إشارة الخطأ عند استعمال الحكم التناصبي التفاضلي
- تحليل إشارة الخطأ عند استعمال الحكم التناصبي التكامل التفاضلي

#### 4-1 التحكم ذو الدائرة المغلقة Closed-loop Control

نظام التحكم ذو الدائرة المغلقة هو نظام تكون فيه إشارة الخرج لها تأثير مباشر على عملية التحكم. بمعنى أن أنظمة التحكم ذات الدائرة المغلقة هي أنظمة تحكم ذات تغذية خلفية.



ويبين شكل (4-1) الرسم التخطيطي block diagram لتمثيل نظام تحكم ذو دائرة مغلقة، وفيه فإن إشارة الفرق بين الدخل وإشارة التغذية الخلفية  $E$  تقوم بتشغيل المتحكم  $K$  ليؤثر على الوحدة أو النظام المراد التحكم فيه plant للعمل على تقليل الخطأ بين الدخل والخرج ضبط الخرج عند القيمة المطلوبة. ويجب ملاحظة أن عنصر القياس هنا (أو جهاز القياس) يقوم بقياس الخرج وتحويله إلى إشارة تماثل إشارة الدخل في الوحدات والكميات حتى يمكن مقارنة الدخل والخرج في عنصر المقارنة. ويسمى الدخل هنا عادة الدخل المقارن وذلك لأنه يتم مقارنته مع إشارة التغذية الخلفية التي هي الخرج بعد قياسه وتحويله إلى إشارة ممكناً مقارنتها بالدخل. ومن أمثلة عناصر المقارنة هو المكبر الإلكتروني operational amplifier وهناك عناصر مقارنة ميكانيكية وأجهزة الهواء المضغوط وخلافه.

ونظرا لأن إشارة التحكم  $M$  الخارجة من المتحكم تكون عادة قيمتها صفرية فإننا نستخدم مكبر قدرة (كهربائي أو ميكانيكي) للاستطاع التأثير على النظام المراد التحكم فيه  $plant$ . وهذا المكبر غير مبين في الرسم.

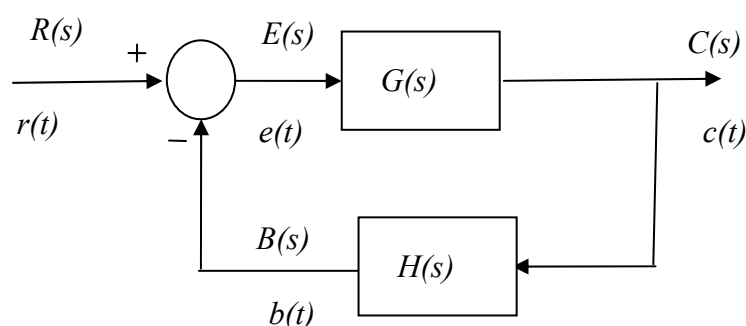
تميز أنظمة التحكم ذات الدائرة المغلقة باستخدام التغذية الخلفية التي تجعل النظام المتحكم فيه قليل الحساسية للاضطرابات الخارجية والتغيرات الداخلية في معاملات النظام. وعلى ذلك فإنه يمكن استخدام مكونات رخيصة وأقل دقة نسبياً للحصول على نظام تحكم دقيق، وهذا غير ممكناً في حالة التحكم ذو الدائرة المفتوحة.

#### 4-2 تحليل إشارة الخطأ في الحلقة المغلقة

درسنا في الوحدة السابقة الاستجابة الزمنية لنظم الرتبة الأولى والثانية، وسننطلق في هذه الوحدة إلى إشارة الخطأ التي تنشأ في حلقات التحكم المغلقة وسنقوم بتحليل إشارة الخطأ عند استعمال الحكم التناصي والحكم التكامل والحكم التناصي التكامل والحكم التفاضلي والحكم التفاضلي والحكم التناصي التكامل التفاضلي. وسيتم استخدام برنامج Simulink لعمل محاكاة للحكمات التي سيتم دراستها لتوضيح تأثير هذه الحكمات على استجابة الحلقات المغلقة.

#### 3-4 تعريف إشارة الخطأ

يمثل الشكل 3-1 حلقة تغذية خلفية نموذجية، ومنها تظهر إشارة الخطأ كفرق بين الإشارتين  $r(t)$  و  $b(t)$  حيث  $r(t)$  هي الدخل المرجعي و  $b(t)$  قياس لقيمة الواقعية للمتغير



الشكل 4-2 حلقة تغذية خلفية



المراد التحكم فيه  $c(t)$ .

$$e(t) = r(t) - b(t)$$

لتبسيط سندرس حالة التغذية الخلفية الأحادية ( $H(s) = I$ ) وعندئذ تكون معادلة إشارة الخطأ في المجال الزمني كما يلي

$$e(t) = r(t) - c(t) \quad (1-4)$$

ويمكن كتابتها في مجال المتغير المركب  $s$  كما يلي

$$E(s) = R(s) - C(s) \quad (2-4)$$

وعلمنا من الوحدة الأولى أن دالة التحويل للنظام المغلق في حالة التغذية الخلفية الأحادية كما يلي:

$$T(s) = \frac{C(s)}{R(s)} = \frac{G(s)}{1 + G(s)} \quad (3-4)$$

ومنها نستنتج أن:

$$C(s) = \frac{G(s)}{1 + G(s)} R(s) \quad (4-4)$$

وبالتعويض عن  $C(s)$  في المعادلة 3-2 نحصل على تحويل لابلاس لإشارة الخطأ كما يلي:

$$E(s) = \frac{1}{1 + G(s)} R(s) \quad (5-4)$$

1-1

2-1

يمثل الشكل 4-3 المخطط الصندوقى لحلقة تحكم ذات تغذية خلفية أحادية مع وجود حاكم في المسار الأمامي، حيث:

دالة تحويل النظام المراد التحكم فيه  $G_p(s)$

دالة تحويل الحاكم  $G_c(s)$



الشكل (4-3) حاكم في حلقة تحكم ذات تغذية خلفية أحادية

لاحظ أن المسار الأمامي يتكون من صندوقين ( $G_p(s)$ ) و( $G_c(s)$ ) موصلين على الت مقابل ومن ثم يمكن دمجهما في صندوق واحد دالة تحويله ( $G(s) = G_c(s) \cdot G_p(s)$ )

ومن ثم تكون دالة تحويل النظام المغلق كما يلي:

$$\frac{C(s)}{R(s)} = \frac{G_c(s)G_p(s)}{1 + G_c(s)G_p(s)} \quad (6-4)$$

ومن ثم يصبح تحويل لا بلاس لإشارة الخطأ على النحو التالي:

$$E(s) = \frac{1}{1 + G_c(s)G_p(s)} R(s) \quad (7-4)$$

#### 4-4 تحليل إشارة الخطأ عند استعمال الحاكم التناصبي

المعادلة الزمنية للحاكم التناصبي على النحو التالي:

$$p(t) = K_p e(t)$$

بإدخال تحويلات لا بلاس على طريق المعادلة الزمنية للحاكم نحصل على

$$P(s) = K_p E(s)$$

ومن ثم تكون دالة تحويل الحاكم التناصبي هي:

$$G_c(s) = K_p \quad (8-4)$$

لشرح تأثير الحكم التاسبي على استجابة الحلقة المغلقة نستخدم دخلاً مرجعياً على

هيئه إشارة خطوة ارتفاعها  $R_0$  ونظام يراد التحكم فيه من الرتبة الأولى:

$$r(t) = \begin{cases} R_0 & t \geq 0 \\ 0 & t < 0 \end{cases}$$

ومن ثم يكون تحويل لا بلاس لإشارة الدخل المرجعي

$$R(s) = \frac{R_0}{s}$$

الصيغة العامة لدالة تحويل نظم الرتبة الأولى على النحو التالي:

$$G_p(s) = \frac{1}{\tau s + 1}$$

بالتعمويض عن  $G_c(s)$  و  $R(s)$  في المعادلة 3-7 نحصل على تحويل لا بلاس

لإشارة الخطأ على النحو التالي:

$$E(s) = \frac{1}{1 + K_p \frac{1}{\tau s + 1}} \bullet \frac{R_0}{s} (9 - 4)$$

بتوحيد المقام في مقام المعادلة 3-9 نحصل على

$$E(s) = R_0 \frac{\tau s + 1}{s(\tau s + 1 + K_p)} (10 - 4)$$

باستخدام قانون القيمة النهائية نحصل على

$$e_{ss} = \lim_{s \rightarrow 0} s E(s) = \lim_{s \rightarrow 0} s R_0 \frac{\tau s + 1}{s(\tau s + 1 + K_p)} = \frac{R_0}{1 + K_p} (11 - 4)$$

تفيد المعادلة (4-11) أن القيمة النهائية لإشارة الخطأ ليست منعدمة، ومن ثم يتضح أن الحكم التناصبي لا يلغي إشارة الخطأ، غير أنه يمكن التقليل من إشارة الخطأ بزيادة معامل الحكم التناصبي  $K_p$ . لكن الزيادة المفرطة قد تؤدي إلى عدم الاستقرار.

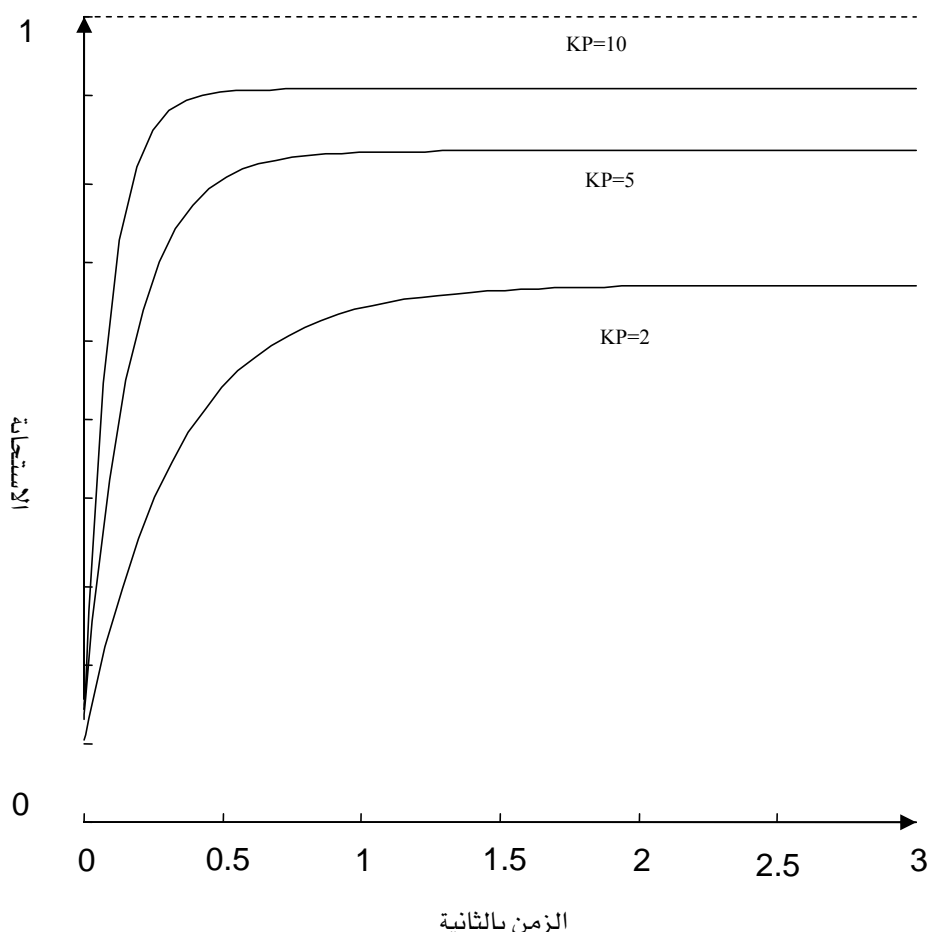
تم عمل محاكاة لحكم تناصبي في حلقة تغذية خلفية أحادية بواسطة برنامج Simulink

$$\text{حيث: } r(t) = \frac{1}{s+1} \text{ و الدخل المرجعي } G_p(s)$$

وباختيار معامل الحكم كما يلي

$$K_p = 2 \quad K_p = 5 \quad K_p = 10$$

والشكل 3-3 يوضح تأثير الحكم التناصبي على استجابة حلقة مغلقة ذات تغذية خلفية أحادية.



الشكل(4-4) تأثير الحكم التناصبي على استجابة نظام تحكم مغلق.

#### 4-5 تحليل إشارة الخطأ عند استعمال الحكم التكامل

المعادلة الزمنية للحكم التكامل على النحو التالي:

$$p(t) = K_I \int_0^t e(\tau) d\tau$$

و دالة تحويل الحكم التكامل هي:

$$G_c(s) = \frac{K_I}{s} (12-4)$$

لشرح تأثير الحكم التكامل على استجابة الحلقة المغلقة نستخدم دخلاً مرجعياً على

هيئه إشارة خطوة ارتفاعها  $R_0$  ونظام يراد التحكم فيه من الرتبة الأولى:

$$r(t) = \begin{cases} R_0 & t \geq 0 \\ 0 & t < 0 \end{cases}$$

ومن ثم يكون تحويل لابلاس لإشارة الدخل المرجعي

$$R(s) = \frac{R_0}{s}$$

الصيغة العامة لدالة تحويل نظم الرتبة الأولى على النحو التالي:

$$G_p(s) = \frac{1}{\tau s + 1}$$

بالتعمويض عن  $G_c(s)$  و  $G_p(s)$  في المعادلة (4-7) نحصل على تحويل لابلاس

لإشارة الخطأ على النحو التالي:

$$E(s) = \frac{1}{1 + \frac{K_I}{s} \bullet \frac{1}{\tau s + 1}} \bullet \frac{R_0}{s} (13-4)$$

بتوحيد المقام في مقام المعادلة 3-13 نحصل على

$$E(s) = \frac{s(\tau s + 1)}{(\tau s^2 + s + K_I)} \bullet \frac{R_0}{s} (14-4)$$

باستخدام قانون القيمة النهاية نحصل على

$$e_{ss} = \lim_{s \rightarrow 0} sE(s) = \lim_{s \rightarrow 0} s \cdot \frac{R_0}{s} \cdot \frac{s(\tau s + 1)}{(\tau s + 1 + K_I)} = 0(15 - 4)$$

يتضح من المعادلة (4-15) أن القيمة النهاية لإشارة الخطأ في حالة استخدام الحاكم التكاملی منعدمة، وهذا يعني أن القيمة النهاية للمتغير المراد التحكم فيه تساوي الدخل المرجعي.

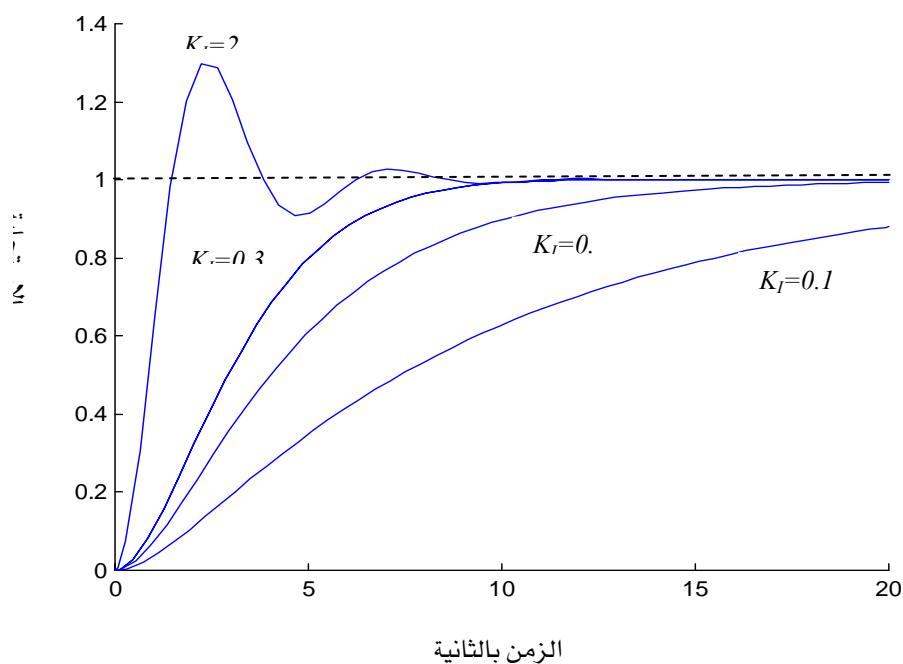
تم عمل محاکاة لحاکم تکاملی في حلقة تغذیة خلفیة أحادیة بواسطه برنامج Simulink

حيث

دالة تحويل النظام هي  $G_p(s) = \frac{1}{s+1}$  و الدخل المرجعي  $r(t) = 1$  وباختیار معامل الحاکم كما يلي:

$$K_I = 0.1 \quad K_I = 0.2 \quad K_I = 0.3 \quad K_I = 2$$

تم رسم منحنی الاستجابة بنفس البرنامج (Simulink) في الشکل (4-5) والذي يوضح تأثير الحاکم التکاملی على استجابة نظام تحکم مغلق ذي تغذیة خلفیة أحادیة.



الشكل (4-4) تأثير الحاکم التکاملی على استجابة نظام تحکم مغلق

الشكل (4-5) تأثير الحاکم التکاملی على استجابة نظام تحکم



#### 4-6 تحليل إشارة الخطأ عند استعمال الحكم التنسابي التكاملي

المعادلة الزمنية للحكم التنسابي التكاملي على النحو التالي:

$$p(t) = K_p e(t) + K_I \int_0^t e(\tau) d\tau$$

و دالة تحويل الحكم التنسابي التكاملي هي:

$$G_c(s) = \frac{K_p s + K_I}{s} \quad (16-4)$$

لشرح تأثير الحكم التنسابي التكاملي على استجابة الحلقة المغلقة نستخدم دخالا

مرجعيا على هيئة إشارة خطوة ارتفاعها  $r(t) = \begin{cases} R_0 & t \geq 0 \\ 0 & t < 0 \end{cases}$  ، ومن ثم تحويل لابلاس لإشارة

الدخل المرجعي هو  $R(s) = \frac{R_0}{s}$  ، والنظام المراد التحكم فيه من الرتبة الأولى، الصيغة العامة

لدالة تحويله على النحو التالي:

$$G_p(s) = \frac{1}{\tau s + 1}$$

وبالتعويض عن  $G_c(s)$  و  $G_p(s)$  و  $R(s)$  في المعادلة 3-7 نحصل على تحويل لابلاس

لإشارة الخطأ على النحو التالي:

$$E(s) = \frac{1}{1 + \frac{K_p s + K_I}{s} \bullet \frac{1}{\tau s + 1}} \bullet \frac{R_0}{s} \quad (17-4)$$

بتوحيد المقام في مقام المعادلة 3-16 نحصل على

$$E(s) = \frac{s(\tau s + 1)}{\tau^2 s^2 + s(K_p + 1) + K_I} \bullet \frac{R_0}{s} \quad (18-4)$$

باستخدام قانون القيمة النهائية نحصل على

$$e_{ss} = \lim_{s \rightarrow 0} sE(s) = \lim_{s \rightarrow 0} s \cdot \frac{R_0}{s} \cdot \frac{s(\tau s + 1)}{(\tau^2 + s(1 + K_p) + K_I)} = 0 (19 - 4)$$

يتضح من المعادلة (4-19) الحاكم التكامل التناصبي يلغى إشارة الخطأ، وهذا يعني أن القيمة النهائية للمتغير المراد التحكم فيه تساوي الدخل المرجعي.

تم عمل محاكاة لحاكم تكامل التناصبي في حلقة تغذية خلفية أحادية بواسطة برنامج Simulink حيث:

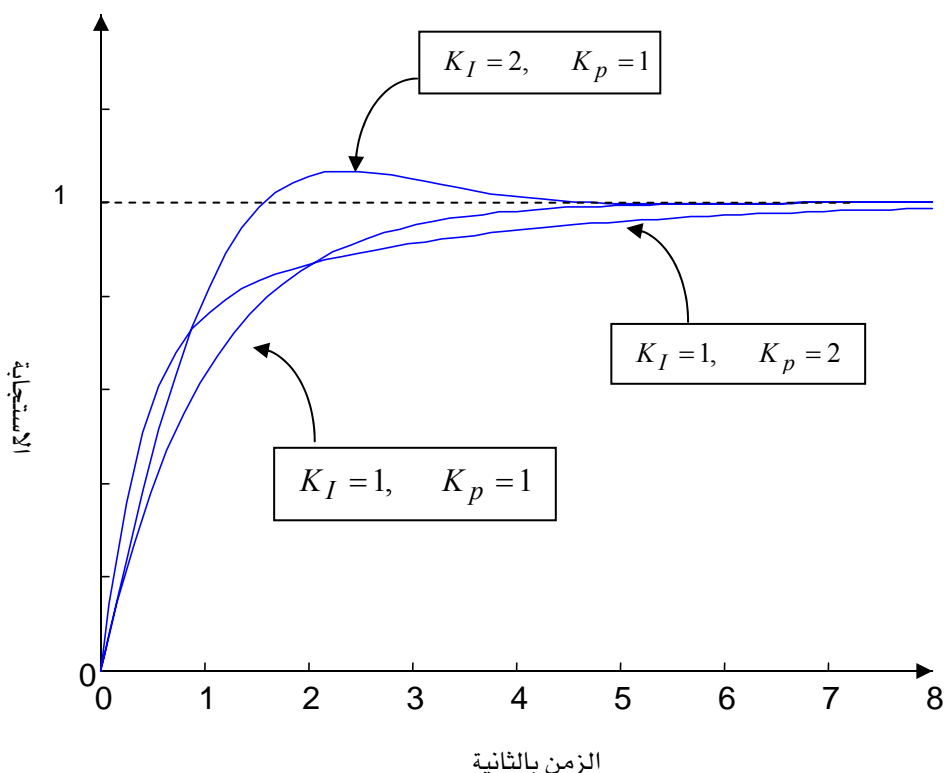
دالة تحويل النظام هي  $G_p(s) = \frac{1}{s+1}$  و الدخل المرجعي  $r(t) = 1$  وباختيار معامل الحكم كما يلي

$$K_I = 2, \quad K_p = 1$$

$$K_I = 1, \quad K_p = 1$$

$$K_I = 1, \quad K_p = 2$$

تم رسم منحنى الاستجابة بنفس البرنامج (Simulink) في الشكل (4-6) والذي يوضح تأثير الحكم التكامل التناصبي على استجابة نظام تحكم مغلق ذي تغذية خلفية أحادية.



الشكل 3-5 تأثير الحكم التكامل التناصبي على استجابة نظام تحكم

#### 7- تحويل إشارة الخطأ عند استعمال الحكم التناصي التكاملي التفاضلي

المعادلة الزمنية للحكم التناصي التكاملي التفاضلي على النحو التالي:

$$p(t) = K_p e(t) + K_I \int_0^t e(\tau) d\tau + K_D \frac{de(t)}{dt}$$

و دالة تحويلة هي:

$$G_c(s) = \frac{K_D s^2 + K_p s + K_I}{s} \quad (20-4)$$

لشرح تأثير الحكم التناصي التكاملي التفاضلي على استجابة الحلقة المغلقة نستخدم

دخلًا مرجعياً على هيئة إشارة خطوة ارتفاعها  $R_0$  ، ومن ثم تحويل لابلاس

لإشارة الدخل المرجعي هو  $R(s) = \frac{R_0}{s}$  ، والنظام المراد التحكم فيه من الرتبة الأولى، الصيغة

العامة لدالة تحويله على النحو التالي:

$$G_p(s) = \frac{1}{\tau s + 1}$$

وبالتقسيم عن  $G_c(s)$  و  $G_p(s)$  في المعادلة 3-7 نحصل على تحويل لابلاس

لإشارة الخطأ على النحو التالي:

$$E(s) = \frac{1}{1 + \frac{K_D s^2 + K_p s + K_I}{s} \bullet \frac{1}{\tau s + 1}} \bullet \frac{R_0}{s} \quad (21-4)$$

بتوحيد المقام في مقام المعادلة 3- 20 نحصل على

- 4)

$$E(s) = \frac{s(\tau s + 1)}{(\tau + K_D)s^2 + (K_p + 1)s + K_I} \bullet \frac{R_0}{s} \quad (22)$$

باستخدام قانون القيمة النهاية نحصل على

- 4)

$$e_{ss} = \lim_{s \rightarrow 0} sE(s) = \lim_{s \rightarrow 0} s \bullet \frac{R_0}{s} \bullet \frac{s(\tau s + 1)}{(\tau + K_D)s^2 + (K_p + 1)s + K_I} = 0 \quad (23)$$

يتضح من المعادلة (4-23) أن الحكم التكامل التفاضلي يلغى إشارة الخطأ، وهذا يعني أن القيمة النهاية للمتغير المراد التحكم فيه تساوى الدخل المرجعي.  
يوضح الشكل (4-7) مخطط محاكاة بواسطة برنامج Simulink لحكم تكامل التفاضلي في حلقة تغذية خلفية أحادية أحادية حيث

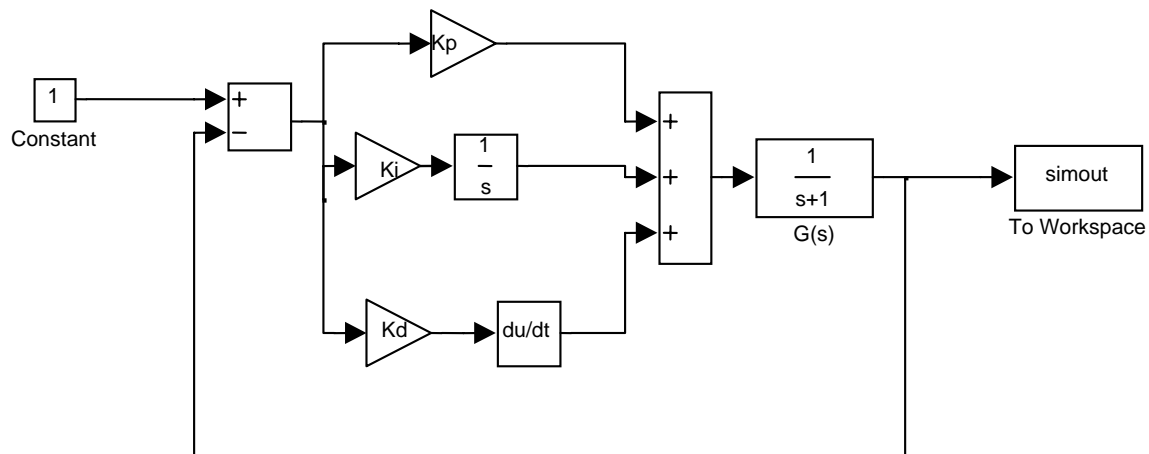
دالة تحويل النظام هي  $G_p(s) = \frac{1}{s+1}$  و الدخل المرجعي  $r(t) = 1$   
وباختيار معاملات الحكماء كما يأتي:

الحالة الأولى:  $K_I = 1, K_p = 1, K_D = 2$

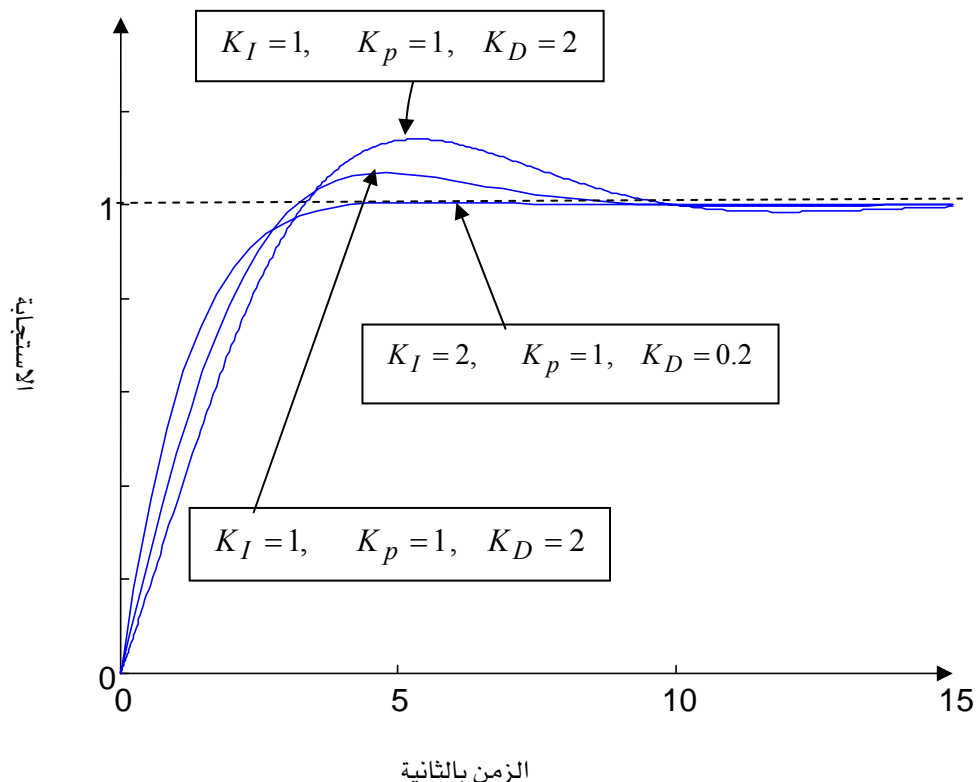
الحالة الثانية:  $K_I = 1, K_p = 1, K_D = 1$

الحالة الثالثة:  $K_I = 2, K_p = 1, K_D = 0.2$

والشكل(4-8) يوضح تأثير حاكم تكاملی تفاضلی (PID) على استجابة النظام.



الشكل 4-7 مخطط محاكاة Simulink لحاكم PID في حلقة مغلقة



الشكل(4-8) تأثير الحاكم التكاملی التفاضلی على استجابة نظام تحكم مغلق

## تمارين

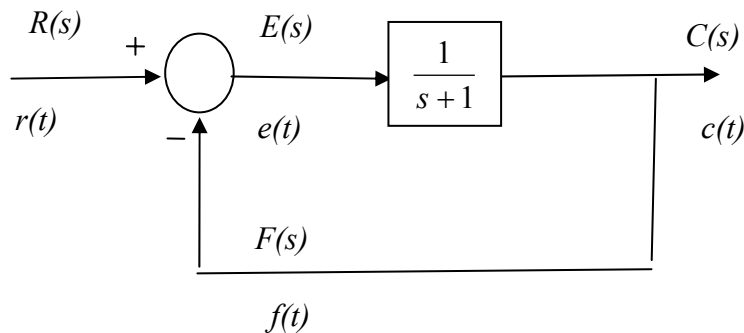
1 - لدينا حلقة تغذية خلفية أحادية كما هو موضح في الشكل أدناه

أوجد ما يلي:

دالة تحويل النظام المغلق

تحويل لا بلاس لإشارة الخطأ

القيمة النهائية لإشارة الخطأ



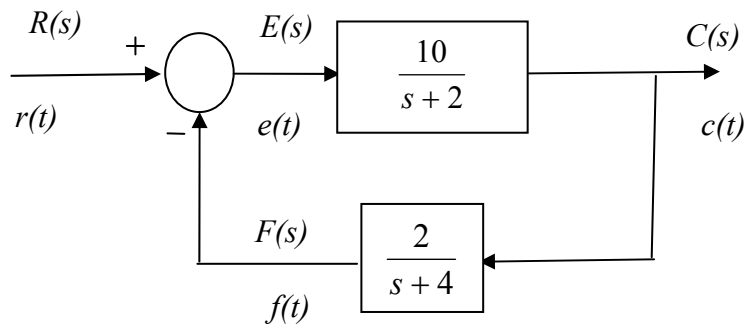
2 - لدينا حلقة تغذية خلفية موضحة بالشكل أدناه

أوجد ما يلي:

دالة تحويل النظام المغلق

تحويل لا بلاس لإشارة الخطأ

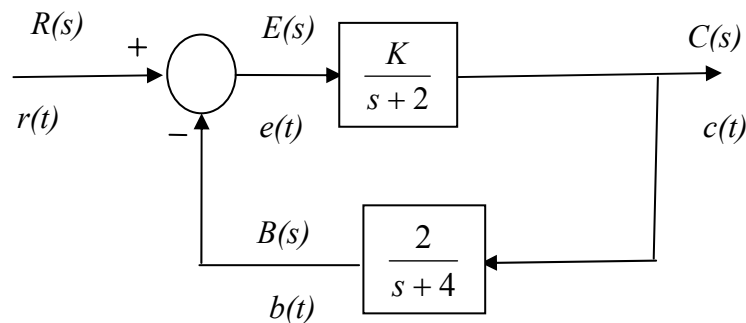
القيمة النهائية لإشارة الخطأ



3 - أثبت أن الحكم التناصي في حلقة تغذية خلفية لا يلغى إشارة الخطأ

4 - أثبت أن الحكم التكامل في حلقة تغذية خلفية يلغى إشارة الخطأ

- 5 - أوجد معامل الكسب  $K$  المناسب الذي سيلغي إشارة خطأ حالة الاستقرار عند استعمال دخل على هيئة خطوة الوحدة في النظام الموضح أدناه.



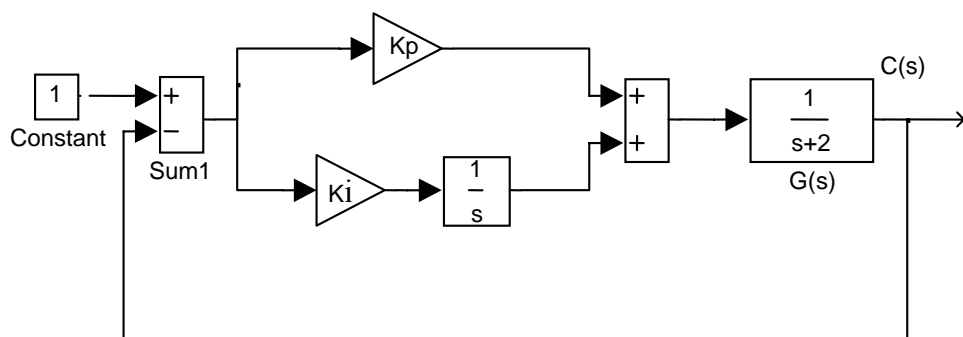
- 6 - في نظام التحكم الموضح أدناه حدد نوع الحاكم وأوجد الآتي:

دالة تحويل الحاكم

دالة تحويل النظام المغلق

تحويل لا بلاس لإشارة الخطأ

إشارة الخطأ عند حالة الاستقرار  $e_{ss}$



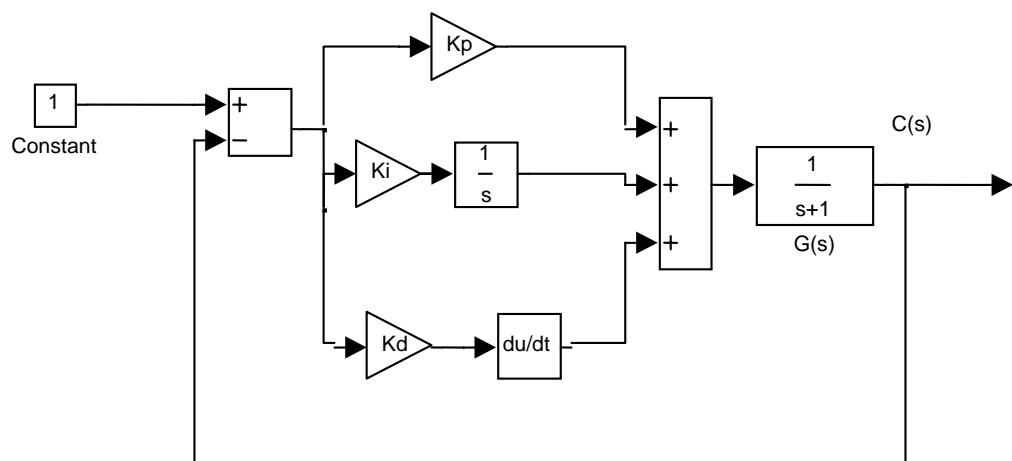
7 - في نظام التحكم الموضح أدناه حدد نوع الحكم وأوجد الآتي:

دالة تحويل الحاكم

دالة تحويل النظام المغلق

تحويل لا بلاس لإشارة الخطأ

إشارة الخطأ عند حالة الاستقرار  $e_{ss}$



## مصطلاحات

AC Motor	محرك تيار متعدد
Actuator	مشغل
Analog	تماثلي
Armature	عضو دوار
Automation	الآلية
Block Diagram	مخطط صندوقى
Bode Diagram	مخطط بودي
Cascade	تعاقب
Characteristic Equation	المعادلة المميزة
Characteristics	خصائص
Chart Recorder	مسجل
Closed Loop	حلقة مغلقة
Compensator	معوض
Control system	نظام تحكم
Control Valve	صمام تحكم
Controlled Variable	المتغير المراد التحكم فيه
Controller	حاكم
Critical Damping	إخماد حرج
Cutoff Frequency	تردد الانكسار
Damping	إخماد
DC Motor	محرك تيار مستمر
Delay Time	زمن التأخير
Derivative	تفاضلي
Derivative Controller	حاكم تفاضلي
Design	تصميم

Digital	رقمي
Disturbance	اضطراب
Dynamic	حركي، ديناميكي
Error	خطأ
Feedback	تغذية خلفية
Feedback Path	مسار خلفي
Final Control Element	عنصر التحكم النهائي
Flow Meter	مقياس معدل تدفق
Flow rate	معدل تدفق
Forward Path	مسار أمامي
Frequency Response	استجابة تردديّة
Gain	كسب
Gain Crossover	تردد عبور الكسب
Frequency	هامش الكسب
Gain Margin	هامش الكسب
Hydraulic	هيدروليكي
Input	دخل
Integral	تكاملي
Integral Controller	حاكم تكاملي
Lag Compensator	معوض تأخير
Laplace Transform	تحويل لا بلاس
Lead Compensator	معوض تقديم
Level	مستوى
Magnitude	قيمة
Manual Control	تحكم يدوي
Matrix	مصفوفة
Motor	محرك
Open Loop	حلقة مفتوحة

Oscilloscope	راسم ذبذبات
Output	خرج
Over Damping	إخماد زائد
Overshoot	تجاوز
Parallel	توازي
Peak Time	زمن الذروة
Performance	أداء
Permanent Response	استجابة دائمة
Phase Crossover	تردد عبور الطور
Frequency	
Phase Margin	هامش الطور
Phase Shift	إزاحة الطور
Pneumatic	هوائي، نوماتي
polynomial	كثير الحدود
Potentiometer	مجاز الجهد
Process	عملية
Programmable Logic Control	الحاكمات القابلة للبرمجة
Proportional	تناسبي
Proportional Controller	حاكم تناسبي
Reference Input	دخل مرجعي
Resonance Frequency	تردد الرنين
Response	استجابة
Response Curve	منحنى الاستجابة
Rise Time	زمن الصعود
Root	جذر
Sensor	حساس
Series	توالي

Set Point	نقطة الضبط، نقطة التشغيل
Settling Time	زمن الاستقرار
Signal Conditioning	معالج الإشارة
Signal Conversion	محول الإشارة
Simulation	محاكاة
Specification	مواصفات
Stability	استقرار
Stability Criteria	معايير الاستقرار
Step Input	دخل الخطوة
Stepper Motor	محرك الخطوة
Summing Junction	وصلة تجميع
System	نظام
Tachometer	مقياس دوران، تاكوميتر
Take off Point	نقطة تفريغ
Time Constant	الثابت الزمني
Time Domain Response	استجابة زمانية
Transducer	محول طاقة
Transfer Function	دالة نقل
Transient response	استجابة عابرة
Two Position Control	حاكم ذو الوضعين
Underdamping	إخماد ناقص
Unit step	خطوة الوحدة
Unity Feedback	تغذية خلفية أحادية

## المراجع

1. Modern Control System, R. C. Dorf, Edison Wesley, 1990
2. Control System Design, C. T. Chen, Saunders College Publishing, 1993.
3. Feedback Control System, John Van De Vegta, Prentice Hall, 1990.
4. Automatic Control Systems, B. Kuo, Prentice Hall.
5. Johnson, C. D. *Process Control Instrumentation Technology*, Prentice Hall, 2002
6. Bateson, R. N. *Introduction to Control Systems Technology*, Prentice Hall, 2002
7. Ogata, K. *Modern control Engineering*, Prentice Hall, 1997
8. Dorf, R. C. and Bishop, R. H. *Modern Control Systems*, Addison Wesley, 1998
9. أحمد فؤاد محمد عامر، هندسة التحكم الآلي، مطبوعات الأكاديمية العربية للعلوم والتكنولوجيا والنقل البحري، 1991

## المحتويات

	مقدمة
	تمهيد
1	الوحدة الأولى: أساسيات التحكم الآلي
2	الأهداف:
3	<b>1-1. مقدمة</b> - <b>Introduction</b> - 1
4	<b>1-2. مكونات منظومة التحكم الأساسية</b> : (Common Control System's Components)
4	<b>1-3. أمثلة توضيحية لأنظمة التحكم</b> <b>Illustrative Examples of Control Systems</b>
11	1-4. المخطط الصندوقي (Flow Graph) ومنحطة السريان (Block Diagram)
11	1-4-1. المخطط الصندوقي <b>Block Diagram</b>
14	4-2. كيفية بناء المخطط الصندوقي في أنظمة التحكم
14	<b>4-3. نظريات تحويل المخطط الصندوقي</b> <b>Block Diagram Transformation Theorems</b>
17	4-4. مخطط تدفق الإشارة <b>Signal Flow Graph</b> 4- 1
20	1-4-5. قاعدة ماسون لمحططات التدفق <b>Mason's Rule For Signal Flow Graphs</b>
23	1-5. <b>تصنيف أنظمة التحكم الآلي</b> <b>Classification of Control Systems</b>
23	5-1. أنظمة التحكم ذو الدائرة المفتوحة <b>Open Loop Control Systems</b>
24	5-2. أنظمة التحكم ذو الدائرة المغلقة <b>Closed-loop Control</b>
25	1-6. مقارنة بين أنظمة التحكم ذات الدائرة المفتوحة والمغلقة
25	6-1. التحكم ذو التغذية الخلفية (أو المرتدة) <b>Feedback Control</b>
25	6-2. أنظمة التحكم ذات التغذية الخلفية <b>Feedback Control Systems</b>
26	1-7. المخطط الصندوقي لنظام التحكم ذو الدائرة المغلقة
29	1-8. نظام التحكم ذو الدائرة المغلقة والمعرض لأضطراب
30	1-9. تبسيط المخططات الصندوقية المعقدة <b>Reduction of Complicated Block Diagrams</b> 1
36	تمارين
40	الوحدة الثانية: نظم التحكم الصناعية و خواصها
41	الأهداف :
42	<b>2-1. مقدمة</b> . 2
43	<b>2-2. تحويل لا بلس</b> <b>LAPLACE TRANSFORMATION</b>
43	<b>2-2-1. مقدمة</b> <b>Introduction</b> 2- 2

43 . . . . .	<b>12-2-2-2. المستوى المركبأس Complex S-plane</b>
46 . . . . .	<b>2- 2- 3. تحويل لا بلاس Laplace Transformation</b>
53 . . . . .	<b>2-2-4. نظريات التحويل الابلاسي Laplace Transform Theorems</b>
54 . . . . .	<b>2- 2- 5. تحويل لا بلاس العكسي Inverse Laplace Transformation</b>
58 . . . . .	<b>2- 2- 6. نمذجة الأنظمة الميكانيكية الانتقالية</b>
63 . . . . .	<b>2- 2- 7. نمذجة الأنظمة الميكانيكية الدورانية</b>
67 . . . . .	<b>2- 3. صمامات التحكم Control Valves</b>
70 . . . . .	<b>2- 4. أنواع المتحكمات الصناعية Types of Industrial Controller</b>
71 . . . . .	<b>4- 1. المتحكم ذو الموضعين Two-position (ON-OFF) Controller</b>
72 . . . . .	<b>4- 2. المتحكم التناسبي (P-Controller)</b>
73 . . . . .	<b>4- 3. المتحكم التكاملي I-Controller</b>
75 . . . . .	<b>4- 4. المتحكم التفاضلي D-Controller</b>
76 . . . . .	<b>4- 5. المتحكم التناسبي التكاملي PI-Controller</b>
79 . . . . .	<b>4- 6. المتحكم التناسبي التفاضلي PD-Controller</b>
81 . . . . .	<b>4- 7. المتحكم التناسبي التكاملي التفاضلي PID-Controller</b>
85 . . . . .	<b>تمارين</b>
89 . . . . .	<b>الوحدة الثالثة : تحليل منظومة التحكم</b>
89 . . . . .	<b>الأهداف :</b>
90 . . . . .	<b>3- 1. دالة التحويل Transfer Function</b>
94 . . . . .	<b>2-2-3-2-2-2. التحليل الزمني لأنظمة التحكم Time Domain Analysis of Control Systems</b>
95 . . . . .	<b>1-3-2-1. الإشارات الدخل النموذجية Typical Input Signals</b>
97 . . . . .	<b>2- 2- 2. تصنیف أنظمة التحكم Classification of Control Systems</b>
99 . . . . .	<b>2- 2- 3. خطأ حالة الاستقرار Steady State Error</b>
104 . . . . .	<b>2-2-4-3-2-2-4. الاستجابة العابرة لأنظمة ذات الرتبة الأولى Transient Response of First Order Systems</b>
106 . . . . .	<b>2-2-5-3-2-2-5. الاستجابة العابرة لأنظمة ذات الرتبة الثانية Transient Response of Second Order Systems</b>
111 . . . . .	<b>2- 2- 6-6-3-2-2-6. منحنى الخواص لأنظمة التحكم Performance Characteristic of Control system</b>
115 . . . . .	<b>تمارين</b>

119 . . . . .	<b>الوحدة الرابعة : منظومة التحكم ذات الدائرة المغلقة</b>
119 . . . . .	<b>الأهداف</b>
120 . . . . .	<b>4-1 التحكم ذو الدائرة المغلقة Closed-loop Control</b>
121 . . . . .	<b>4-2 تحليل إشارة الخطأ في الحلقة المغلقة</b>
121 . . . . .	<b>4-3 تعريف إشارة الخطأ</b>
123 . . . . .	<b>4-4 تحليل إشارة الخطأ عند استعمال الحكم التناسبي</b>
126 . . . . .	<b>5-4 تحليل إشارة الخطأ عند استعمال الحكم التكامل</b>
128 . . . . .	<b>6-4 تحليل إشارة الخطأ عند استعمال الحكم التناسبي التكامل</b>
130 . . . . .	<b>7-4 تحليل إشارة الخطأ عند استعمال الحكم التناسبي التفاضلي</b>
133 . . . . .	<b>تمارين</b>
136 . . . . .	<b>مصطلحات</b>
140 . . . . .	<b>المراجع</b>

تقدير المؤسسة العامة للتعليم الفني والتدريب المهني الدعم

المالي المقدم من شركة بي آيه إيه سيستمز (العمليات) المحدودة

GOTEVOT appreciates the financial support provided by BAE SYSTEMS

